

รหัสโครงการ SUT7-715-53-12-37



รายงานการวิจัย

การใช้ทังสเตนไตรออกไซด์ในการบำบัดคาร์บอนมอนอกไซด์ด้วย
ปฏิกิริยาโฟโตคะตะไลซิส
(Using of WO_3 in photocatalytic treatment of carbon monoxide)

ได้รับทุนอุดหนุนการวิจัยจาก
มหาวิทยาลัยเทคโนโลยีสุรนารี

ผลงานวิจัยเป็นความรับผิดชอบของหัวหน้าโครงการวิจัยแต่เพียงผู้เดียว



รายงานการวิจัย

**การใช้ทังสเตนไตรออกไซด์ในการบำบัดคาร์บอนมอนอกไซด์ด้วย
ปฏิกิริยาโฟโตคะตะไลซิส
(Using of WO_3 in photocatalytic treatment of carbon monoxide)**

คณะผู้วิจัย

หัวหน้าโครงการ

อาจารย์ ดร.อภิชน วัชรินทร์วงศ์
สาขาวิชาวิศวกรรมสิ่งแวดล้อม
สำนักวิชาวิศวกรรมศาสตร์
มหาวิทยาลัยเทคโนโลยีสุรนารี

ผู้ร่วมวิจัย

นางสาวอานันท์ปภา ชื่นทรัพย์

ได้รับทุนอุดหนุนการวิจัยจากมหาวิทยาลัยเทคโนโลยีสุรนารี ปีงบประมาณ พ.ศ. 2553

ผลงานวิจัยเป็นความรับผิดชอบของหัวหน้าโครงการวิจัยแต่เพียงผู้เดียว

กุมภาพันธ์ 2555

กิตติกรรมประกาศ

งานวิจัยนี้สำเร็จลุล่วงด้วยดี ผู้วิจัยขอขอบพระคุณบุคคล และกลุ่มบุคคลต่าง ๆ ดังต่อไปนี้
ขอขอบพระคุณมหาวิทยาลัยเทคโนโลยีสุรนารี และสำนักงานคณะกรรมการวิจัยแห่งชาติที่ให้
เงินสนับสนุนงานวิจัย

ขอขอบพระคุณเจ้าหน้าที่ห้องปฏิบัติการวิศวกรรมสิ่งแวดล้อม ที่ได้ให้ความช่วยเหลือด้านการ
ดำเนินการวิจัยเป็นอย่างดี

ขอขอบพระคุณนางสาวอานันท์ภา ชื่นทรัพย์ นักวิจัยร่วมที่ทุ่มเททำให้งานวิจัยนี้ประสบความสำเร็จ
ได้ด้วยดี

การวิจัยครั้งนี้ได้รับทุนอุดหนุนการวิจัยจากมหาวิทยาลัยเทคโนโลยีสุรนารี ปีงบประมาณ
2553 ทางคณะผู้วิจัยขอขอบพระคุณมา ณ โอกาสนี้

ดร. อภิชน วัชรนทร์วงศ์

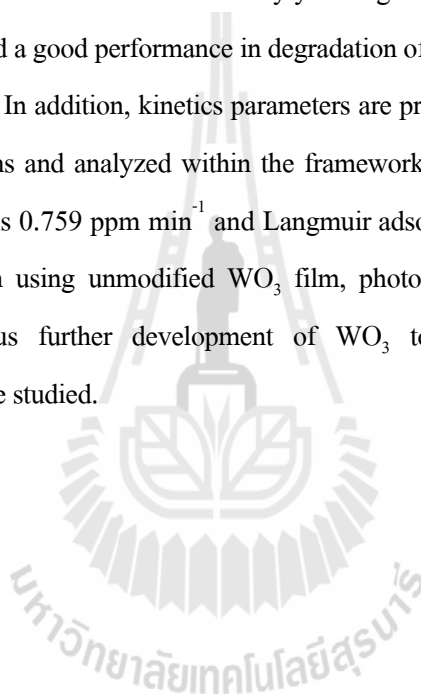


บทคัดย่อ

ก๊าซคาร์บอนมอนอกไซด์คือหนึ่งในมลพิษทางอากาศที่มีความเป็นพิษอย่างรุนแรง ซึ่งสามารถย่อยสลายได้ด้วยกระบวนการโฟโตคะตะไลซิส โดยใช้ทั้งสแตนไดรออกไซด์เป็นตัวเร่งปฏิกิริยา การศึกษาในครั้งนี้ทั้งสแตนไดรออกไซด์จะถูกเตรียมด้วยวิธีแอนโนไดเซชัน ซึ่งก่อให้เกิดชั้นออกไซด์บนพื้นผิวของวัสดุปลูกทั้งสแตนไดรออกไซด์และใช้กล้องจุลทรรศน์อิเล็กตรอนแบบส่องกราด วิเคราะห์ลักษณะพื้นผิวทั้งสแตนไดรออกไซด์ที่เกิดขึ้น ซึ่งมีลักษณะเป็น โครงสร้างพรุนขนาดนาโนเมตร โดยศึกษาระยะเวลาที่ใช้ในการสังเคราะห์ทั้งสแตนไดรออกไซด์ (1 2 4 และ 6 ชั่วโมง) พบว่าเมื่อสังเคราะห์ในสารละลายนำไฟฟ้าโซเดียมฟลูออไรด์ความเข้มข้น 0.15 โมลาร์ ที่ความต่างศักย์ 45 โวลต์ เป็นเวลา 2 ชั่วโมง ทำให้ได้ทั้งสแตนไดรออกไซด์ที่มีลักษณะ โครงสร้างพรุนขนาดนาโนเมตร ไม่เพียงแต่มีความสามารถในการตอบสนองปฏิกิริยาไฟฟ้าเคมีแสงได้ถึง 0.103 มิลลิแอมป์แปรต่อตารางเซนติเมตร แต่ยังมีศักยภาพในการย่อยสลายก๊าซคาร์บอนมอนอกไซด์ได้ถึง 45 % เมื่อใช้แสงยูวีเอ และ 31% เมื่อใช้แสงวิสิเบิล นอกจากนี้ค่าจลนพลศาสตร์ยังถูกนำมาใช้ในการอธิบายการย่อยสลายก๊าซคาร์บอนมอนอกไซด์ที่ค่าความเข้มข้นที่แตกต่างกัน โดยใช้สมการแลงเมียร์-ฮินเชลวูด พบว่ามีค่าคงที่ของอัตราการเกิดปฏิกิริยาเท่ากับ 0.759 พีพีเอ็มต่อนาที และค่าคงที่ของการดูดซับของสมการแลงเมียร์เท่ากับ 0.0079 ต่อพีพีเอ็ม การศึกษาในครั้งนี้แม้จะยังไม่ได้มีการปรับปรุงสภาพทั้งสแตนไดรออกไซด์ให้มีประสิทธิภาพมากขึ้น แต่ก็ยังคงมีความสามารถในการย่อยสลายก๊าซคาร์บอนมอนอกไซด์ได้ ดังนั้นจึงควรมีการศึกษาพัฒนาตัวเร่งปฏิกิริยาต่อไป เพื่อเพิ่มศักยภาพของกระบวนการโฟโตคะตะไลซิส

Abstract

Carbon monoxide is one of the most acutely toxic air pollution which can be decomposed by photocatalytic process using WO_3 catalyst. In the study, WO_3 was prepared by anodization technique. Oxide layers were grown on W foil substrates in corrosive media. The morphologies of nanoporous WO_3 structures were characterized by scanning electron microscope (SEM). Then, the effects of anodization times (1, 2, 4 and 6 h) were investigated. The result revealed that nanoporous WO_3 films grown in 0.15 M NaF electrolyte for 2 h at 45 V not only yield a good photoelectrochemical response of $0.103 \text{ mA}\cdot\text{cm}^{-2}$, but also yield a good performance in degradation of carbon monoxide up to 45% by UVA and 31% by visible light. In addition, kinetics parameters are presented from the data on variant carbon monoxide concentrations and analyzed within the framework of the Langmuir–Hinshelwood model. The reactivity constant is $0.759 \text{ ppm min}^{-1}$ and Langmuir adsorption constant is 0.0079 ppm^{-1} . This study indicated that even using unmodified WO_3 film, photocatalytic degradation of carbon monoxide can be achieved. Thus further development of WO_3 to have more performance in photocatalytic activity should be studied.



สารบัญ

หน้า

กิตติกรรมประกาศ.....	ก
บทคัดย่อภาษาไทย.....	ข
บทคัดย่อภาษาอังกฤษ.....	ค
สารบัญ	ง
สารบัญตาราง.....	ช
สารบัญภาพ	ซ
1 บทนำ	
1.1 ความสำคัญและที่มาของปัญหา.....	1
1.2 วัตถุประสงค์	3
1.3 ขอบเขตการศึกษา.....	3
1.4 วิธีการดำเนินงานวิจัยโดยย่อ	3
1.5 ประโยชน์ที่คาดว่าจะได้รับ	4
2 ปรักษนัวรรณกรรมและงานวิจัยที่เกี่ยวข้อง	
2.1 กั้ซคาร์บอนมอนอกไซด์.....	5
2.2 กระบวนการโฟโตคะตะไลซิส.....	5
2.2.1 การดูดติดผิว	7
2.2.2 การฉายแสง	7
2.2.3 กลไกของปฏิกิริยาโฟโตคะตะไลซิส	8
2.3 กระบวนการแอนโนไดเซชัน	9
2.4 การทบทวนวรรณกรรม.....	10
3 วิธีดำเนินการวิจัย	
3.1 สถานที่ทำการศึกษาวิจัย.....	13
3.2 ขั้นตอนการศึกษาวิจัย.....	13
3.3 การสังเคราะห์ตัวเร่งปฏิกิริยาทั้งสเดนไตรออกไซด์.....	14
3.4 วิธีการศึกษาการตอบสนองปฏิกิริยาไฟฟ้าเคมีแสง	17
3.5 การศึกษาปฏิกิริยาโฟโตคะตะไลซิส.....	18

สารบัญ (ต่อ)

หน้า

3.5.1	ชุดการทดลองโฟโตคะตะไลซิส	19
3.5.2	วิธีการศึกษาปฏิกิริยาโฟโตไลซิสในการบำบัดก๊าซคาร์บอนมอนอกไซด์	20
3.5.3	วิธีการศึกษาผลของระยะเวลาในการสังเคราะห์ทั้งสแตนไดรออกไซด์ที่มีต่อการบำบัดก๊าซคาร์บอนมอนอกไซด์ด้วยปฏิกิริยาโฟโตคะตะไลซิส	20
3.5.4	วิธีการศึกษาผลของแหล่งกำเนิดแสงที่มีต่อการบำบัดก๊าซคาร์บอนมอนอกไซด์ด้วยปฏิกิริยาโฟโตคะตะไลซิส	22
3.5.5	วิธีการศึกษาผลของความเข้มข้นเริ่มต้นของก๊าซคาร์บอนมอนอกไซด์ที่มีต่อประสิทธิภาพการบำบัดด้วยปฏิกิริยาโฟโตคะตะไลซิส	23
3.5.6	วิธีการศึกษาผลของจำนวนรอบที่ใช้ซ้ำของทั้งสแตนไดรออกไซด์ต่อประสิทธิภาพการบำบัดก๊าซคาร์บอนมอนอกไซด์ด้วยปฏิกิริยาโฟโตคะตะไลซิส	23
3.6	วิธีการวิเคราะห์ตัวอย่าง	25
4	ผลการวิเคราะห์ข้อมูล	
4.1	การสังเคราะห์ทั้งสแตนไดรออกไซด์ด้วยวิธีเอโนไคเซชัน	27
4.1.1	การวิเคราะห์ลักษณะพื้นผิวออกไซด์	27
4.1.2	วิเคราะห์การตอบสนองปฏิกิริยาไฟฟ้าเคมีแสง	28
4.2	ปฏิกิริยาโฟโตไลซิสเพื่อการบำบัดก๊าซคาร์บอนมอนอกไซด์	31
4.3	การศึกษาผลของระยะเวลาในการสังเคราะห์ทั้งสแตนไดรออกไซด์ที่มีต่อการบำบัดคาร์บอนมอนอกไซด์ด้วยปฏิกิริยาโฟโตคะตะไลซิส	32
4.4	การศึกษาผลของแหล่งกำเนิดแสงที่มีต่อการบำบัดก๊าซคาร์บอนมอนอกไซด์ด้วยปฏิกิริยาโฟโตคะตะไลซิส	34
4.5	การศึกษาผลของจำนวนรอบที่ใช้ซ้ำของตัวเร่งปฏิกิริยาทั้งสแตนไดรออกไซด์ต่อประสิทธิภาพการบำบัดก๊าซคาร์บอนมอนอกไซด์ด้วยปฏิกิริยาโฟโตคะตะไลซิส	35
4.6	ค่าจลนพลศาสตร์ของปฏิกิริยาโฟโตคะตะไลซิสเพื่อการย่อยสลายก๊าซคาร์บอนมอนอกไซด์ด้วยสมการแลงเมียร์-อินเซลวูด	36
5	สรุปผลการศึกษา และข้อเสนอแนะ	
5.1	สรุปผลการศึกษา	44
5.1.1	สรุปผลการสังเคราะห์ทั้งสแตนไดรออกไซด์ด้วยวิธีเอโนไคเซชัน	44

สารบัญ (ต่อ)

หน้า

5.1.2 สรุปผลการศึกษาปฏิกิริยาโฟโตคะตะไลซิสเพื่อการจัดก๊าซคาร์บอนมอนอกไซด์
โดยใช้ทั้งสแตนไดรออกไซด์เป็นตัวเร่งปฏิกิริยา.....44

5.1.3 สรุปผลค่าจลนพลศาสตร์ของปฏิกิริยาโฟโตคะตะไลซิสเพื่อการย่อยสลายก๊าซ
คาร์บอนมอนอกไซด์ด้วยสมการแลงเมียร์-ฮินเชลวูด.....45

5.2 ข้อเสนอแนะ.....45

บรรณานุกรม47

ประวัติผู้วิจัย.....51



สารบัญตาราง

หน้า

ตารางที่ 3.1	สภาวะการทดลองกระบวนการแอโนไดเซชัน	17
ตารางที่ 3.2	สภาวะการศึกษาผลของระยะเวลาในการสังเคราะห์ทั้งสเดนไตรออกไซด์ ที่มีต่อการบำบัดก๊าซคาร์บอนมอนอกไซด์ด้วยปฏิกิริยาโฟโตคะตะไลซิส	21
ตารางที่ 3.3	สภาวะการศึกษาผลของแหล่งกำเนิดแสงที่มีต่อการบำบัดก๊าซคาร์บอนมอนอกไซด์ ด้วยปฏิกิริยาโฟโตคะตะไลซิส.....	23
ตารางที่ 3.4	สภาวะการศึกษาผลของความเข้มข้นเริ่มต้นของก๊าซคาร์บอนมอนอกไซด์ ที่มีต่อประสิทธิภาพการบำบัดด้วยปฏิกิริยาโฟโตคะตะไลซิส.....	24
ตารางที่ 3.5	วิธีการวิเคราะห์ลักษณะสมบัติของทั้งสเดนไตรออกไซด์ ที่ผ่านการ สังเคราะห์ด้วยวิธีแอโนไดเซชัน และการตรวจวัดมลพิษอากาศ.....	26
ตารางที่ 4.1	ผลการวิเคราะห์การตอบสนองปฏิกิริยาไฟฟ้าเคมีแสงเพื่อวัดกระแสไฟฟ้าใน สารละลายโซเดียมซัลเฟตความเข้มข้น 0.5 โมลาร์ ที่ 1.2 โวลต์	30
ตารางที่ 4.2	ค่าจลนพลศาสตร์ที่ความเข้มข้นเริ่มต้นของก๊าซคาร์บอนมอนอกไซด์ ที่แตกต่างกัน	38
ตารางที่ 4.3	เปรียบเทียบค่าจลนพลศาสตร์ที่ได้จากการศึกษาครั้งนี้กับการศึกษาอื่นๆ.....	39
ตารางที่ 4.4	ค่าความเข้มข้นเริ่มต้นของก๊าซคาร์บอนมอนอกไซด์ ที่ส่งผลกระทบต่ออัตราการ เกิดปฏิกิริยาการย่อยสลายก๊าซคาร์บอนมอนอกไซด์	40
ตารางที่ 4.5	สภาวะการศึกษาผลของความเข้มข้นเริ่มต้นของก๊าซคาร์บอนมอนอกไซด์ ที่มีต่อประสิทธิภาพการบำบัดด้วยปฏิกิริยาโฟโตคะตะไลซิส.....	41

สารบัญภาพ

	หน้า
รูปที่ 2.1	กระบวนการโฟโตคะตะไลซิสเมื่อมีการฉายแสงลงบนอนุภาคตัวกลาง.....6
รูปที่ 2.2	ค่าช่องว่างของพลังงานของตัวกลางชนิดต่าง ๆ ที่พีเอช 1.....7
รูปที่ 2.3	โครงสร้างหกเหลี่ยมของชั้นอะลูมิเนียมออกไซด์.....10
รูปที่ 3.1	ขั้นตอนการศึกษาวิจัย14
รูปที่ 3.2	ลักษณะการทดลองกระบวนการแอนโนไดเซชัน.....15
รูปที่ 3.3	ขั้นตอนการสังเคราะห์ทั้งสแตนไดรออกไซด์เป็นตัวเร่งปฏิกิริยาคู่ด้วย วิธีแอนโนไดเซชัน.....16
รูปที่ 3.4	ลักษณะการทดลองการตอบสนองปฏิกิริยาไฟฟ้าเคมีแสง.....18
รูปที่ 3.5	ชุดการทดลองโฟโตคะตะไลซิส.....19
รูปที่ 3.6	ขั้นตอนการศึกษาปฏิกิริยาโฟโตไลซิสในการบำบัดก๊าซคาร์บอนมอนอกไซด์.....20
รูปที่ 3.7	ขั้นตอนการศึกษาผลของระยะเวลาในการสังเคราะห์ทั้งสแตนไดรออกไซด์ที่มีต่อการ บำบัดก๊าซคาร์บอนมอนอกไซด์ด้วยปฏิกิริยาโฟโตคะตะไลซิส.....21
รูปที่ 3.8	ขั้นตอนวิธีการศึกษาผลของแหล่งกำเนิดแสงที่มีต่อการบำบัด ก๊าซคาร์บอนมอนอกไซด์ด้วยปฏิกิริยาโฟโตคะตะไลซิส.....22
รูปที่ 3.9	ขั้นตอนการศึกษาผลของความเข้มข้นเริ่มต้นของก๊าซคาร์บอนมอนอกไซด์ ที่มีต่อประสิทธิภาพการบำบัดด้วยปฏิกิริยาโฟโตคะตะไลซิส.....24
รูปที่ 3.10	ขั้นตอนวิธีการศึกษาผลของจำนวนรอบที่ใช้ซ้ำของตัวเร่งปฏิกิริยา ทั้งสแตนไดรออกไซด์ต่อประสิทธิภาพการบำบัดก๊าซ คาร์บอนมอนอกไซด์ด้วยปฏิกิริยาโฟโตคะตะไลซิส.....25
รูปที่ 4.1	ภาพถ่าย SEM ของพื้นผิวทั้งสแตนไดรออกไซด์ผ่านการแอนโนไดเซชัน ในสารละลายโซเดียมฟลูออไรด์ 0.15 โมลาร์ ที่ 45 โวลต์ เป็นเวลา; ก) 1 ข) 2 ค) 4 และ ง) 6 ชั่วโมง.....29
รูปที่ 4.2	ค่า Photocurrent density ที่เกิดจากทั้งสแตนไดรออกไซด์ที่ผ่านการแอนโนไดเซชัน ในสารละลายโซเดียมฟลูออไรด์ความเข้มข้น 0.15 โมลาร์ ที่ 45 โวลต์ เป็นเวลา; ก) 1 ข) 2 ค) 4 และ ง) 6 ชั่วโมง.....30
รูปที่ 4.3	ปฏิกิริยาโฟโตไลซิสเพื่อการบำบัดก๊าซคาร์บอนมอนอกไซด์.....32

สารบัญภาพ (ต่อ)

หน้า

รูปที่ 4.4	ปฏิกิริยาโฟโตคะตะไลซิสเพื่อการบำบัดก๊าซคาร์บอนมอนอกไซด์โดยใช้ ทั้งสแตนไดรออกไซด์ที่ถูกเตรียมด้วยระยะเวลาที่แตกต่างกัน 1 2 4 และ 6 ชั่วโมง.....	33
รูปที่ 4.5	ปฏิกิริยาโฟโตคะตะไลซิสเพื่อการบำบัดก๊าซคาร์บอนมอนอกไซด์ โดยใช้แหล่งกำเนิดที่แตกต่างกัน	35
รูปที่ 4.6	ผลของจำนวนรอบที่ใช้ซ้ำของตัวเร่งปฏิกิริยาทั้งสแตนไดรออกไซด์ ต่อประสิทธิภาพการบำบัดก๊าซคาร์บอนมอนอกไซด์ด้วย ปฏิกิริยาโฟโตคะตะไลซิส	36
รูปที่ 4.7	ปฏิกิริยาโฟโตคะตะไลซิสเพื่อการบำบัดก๊าซคาร์บอนมอนอกไซด์ โดยกำหนดค่าความเข้มข้นของก๊าซคาร์บอนมอนอกไซด์ที่ แตกต่างกัน 50 100 200 300 400 และ 500 พีพีเอ็ม	37
รูปที่ 4.8	ความสัมพันธ์ระหว่าง $\ln ([CO]_0/[CO])$ และระยะเวลาฉายแสงในการเกิดปฏิกิริยา โฟโตคะตะไลซิสของก๊าซคาร์บอนมอนอกไซด์ที่ความเข้มข้นต่างๆ กัน.....	38
รูปที่ 4.9	ความสัมพันธ์ระหว่าง $1/C_0$ และค่า $1/r_0$	40
รูปที่ 4.10	ความสัมพันธ์ระหว่างค่าความเข้มข้นเริ่มต้นของก๊าซคาร์บอนมอนอกไซด์ ต่ออัตราการย่อยสลายปฏิกิริยาโฟโตคะตะไลซิส	41
รูปที่ 4.11	ความสัมพันธ์ระหว่างค่าความเข้มข้นเริ่มต้นของก๊าซคาร์บอนมอนอกไซด์ ต่อระยะเวลาครึ่งชีวิตของปฏิกิริยา	43

บทที่ 1

บทนำ

1.1 ความสำคัญและที่มาของปัญหา

จากการพัฒนาที่มุ่งเน้นการเพิ่มสมรรถนะ และขีดความสามารถในการแข่งขันระหว่างประเทศต่างๆ ทั่วโลกตามกระแสโลกาภิวัตน์ ส่งผลให้เกิดการเปลี่ยนแปลงของสภาพแวดล้อม ระบบเศรษฐกิจ และสังคมต่อประเทศไทยอย่างหลีกเลี่ยงไม่ได้ ก่อให้เกิดการเพิ่มขึ้นของจำนวนประชากร และโครงสร้างประชากรที่มีแนวโน้มเปลี่ยนแปลงไป ตลอดจนรูปแบบค่านิยมทางความเชื่อ และพฤติกรรมกรรมการบริโภคสินค้าฟุ่มเฟือยที่เพิ่มขึ้น ส่งผลให้เกิดการใช้ทรัพยากรธรรมชาติอย่างรวดเร็ว ซึ่งก่อให้เกิดปัญหาสิ่งแวดล้อมเพิ่มมากขึ้น โดยเฉพาะอย่างยิ่งมลพิษทางอากาศทั้งภายใน และภายนอกอาคาร ที่เกิดจากการดำเนินกิจกรรมต่างๆ ของมนุษย์ เช่น การปลดปล่อยก๊าซพิษจากรถยนต์ รถจักรยานยนต์ และโรงงานอุตสาหกรรม โดยเมื่อประสิทธิภาพของเครื่องยนต์ หรือเครื่องจักรกลลดลง จะก่อให้เกิดปฏิกิริยาการเผาไหม้ที่ไม่สมบูรณ์ ได้ก๊าซพิษปลดปล่อยออกมาทางท่อไอเสีย ซึ่งล้วนเป็นแหล่งกำเนิดมลพิษทางอากาศที่สำคัญทั้งสิ้น โดยเฉพาะอย่างยิ่งก๊าซคาร์บอนมอนอกไซด์ (Carbon monoxide, CO) ซึ่งเป็นตัวการสำคัญที่ก่อให้เกิดผลกระทบต่อสุขภาพอนามัยของมนุษย์ โดยเมื่อหายใจเข้าไปในร่างกาย จะไปรวมตัวกับเฮโมโกลบิน (Haemoglobin) ในเม็ดเลือดแดงได้ดีกว่า ออกซิเจน 200-250 เท่า เกิดเป็นคาร์บอกซีเฮโมโกลบิน (Carboxyhaemoglobin, COHb) ซึ่งจะลดความสามารถของเลือดในการเป็นตัวนำออกซิเจนจากปอดไปยังเนื้อเยื่อต่าง ๆ ส่งผลให้เกิดอาการปวดศีรษะ คลื่นไส้ อาเจียน หงุดหงิด และอาจถึงตายได้ ในกรณีที่ได้รับก๊าซพิษเข้าไปในปริมาณมาก จึงจำเป็นต้องมีการควบคุมก่อนปล่อยออกสู่ชั้นบรรยากาศ (ศิริกัลยา, 2542; กรมโรงงานอุตสาหกรรม, 2550)

เทคโนโลยีการดัดแปลงสภาพการเผาไหม้เชื้อเพลิง และการบำบัดไอเสียจึงถูกนำมาใช้ในการควบคุมก๊าซคาร์บอนมอนอกไซด์ ซึ่งเกิดขึ้นได้จากการเผาไหม้ที่ไม่สมบูรณ์ของสารประกอบคาร์บอน โดยวิธีที่ได้รับความนิยมใช้กันอย่างแพร่หลาย และถูกนำมาพัฒนาอย่างต่อเนื่อง ได้แก่ วิธีคะตะไลติกคอนเวอร์เตอร์ (Catalytic converter) ซึ่งจะทำหน้าที่ช่วยในการออกซิเดชัน (Oxidation) ของไฮโดรคาร์บอน (Hydrocarbon, HC) และก๊าซคาร์บอนมอนอกไซด์กลายเป็นก๊าซคาร์บอนไดออกไซด์ (Carbon dioxide, CO₂) และน้ำ ซึ่งอยู่ในรูปที่ไม่เป็นอันตรายต่อสุขภาพของมนุษย์ โดยจะต้องควบคุมให้มีอุณหภูมิที่สม่ำเสมอ อัตราการไหลลงที่ และตัวทำปฏิกิริยาต้องมีความเข้มข้นสม่ำเสมอ (วงศ์พันธ์ และคณะ, 2543) แต่อย่างไรก็ตามด้วยปัจจัยหลายอย่างที่จำเป็นต้องควบคุม ทำให้มีข้อจำกัดจำนวนมากที่ทำให้ไม่สามารถควบคุมสภาพการเผาไหม้ได้ตั้งแต่ต้นทางของการเกิดมลพิษ

กระบวนการโฟโตคะตะไลซิส (Photocatalysis process) จึงถือเป็นอีกหนึ่งเทคโนโลยีทางเลือกที่ถูกนำมาพิจารณา ซึ่งมีการศึกษากันอย่างแพร่หลาย เพื่อนำมาใช้ในการบำบัดมลพิษทางอากาศ

กระบวนการโฟโตคะตะไลซิสเป็นหนึ่งในเทคโนโลยีออกซิเดชันขั้นสูง (Advance oxidation technology) (Litter, 1999) มีหลักการเบื้องต้นคือ เมื่อมีการกระตุ้นปฏิกิริยาโดยการฉายแสงไปที่ตัวเร่งปฏิกิริยา (Catalyst) จะทำให้เกิดปฏิกิริยาออกซิเดชัน และรีดักชันได้อย่างรวดเร็ว (Fujishima *et al.*, 2000) ซึ่งสามารถทำให้เกิดการเปลี่ยนแปลงของสาร จากที่มีความเป็นพิษให้เกิดเป็นสารใหม่ที่มีความเป็นพิษน้อยลง หรือไม่มีความเป็นพิษเลย โดยสามารถนำหลักการนี้มาประยุกต์ใช้ให้เกิดประโยชน์เกี่ยวกับงานด้านการกำจัดมลพิษทางสิ่งแวดล้อม ซึ่งปฏิกิริยาโฟโตคะตะไลซิสจะประกอบด้วยส่วนสำคัญ 2 ส่วนได้แก่ ส่วนที่หนึ่งพลังงานแสง ซึ่งต้องมีพลังงานมากพอที่จะกระตุ้นให้ตัวเร่งปฏิกิริยาเกิดการปลดปล่อยอิเล็กตรอน (Electron, e⁻) ออกมา โดยส่วนใหญ่จะศึกษาโดยใช้พลังงานแสงที่อยู่ในช่วงยูวี (Ultraviolet, UV) ต่อมาเริ่มมีการศึกษาเพิ่มเติม เพื่อพัฒนาให้สามารถนำมาใช้กับพลังงานแสงในช่วงวิสิเบิล (Visible) ด้วย เนื่องจากเป็นส่วนประกอบของแสงอาทิตย์มากถึง 46 % ซึ่งมากกว่าแสงยูวีที่มีเพียงแค่ 4% เท่านั้น โดยแสงอาทิตย์มีข้อดีมากมาย เช่น เป็นพลังงานทดแทนประเภทหมุนเวียนที่ใช้แล้วเกิดขึ้นใหม่ได้ตามธรรมชาติ ปราศจากมลพิษ และมีศักยภาพสูง (Hamilton *et al.*, 2008) ส่วนที่สองคือตัวเร่งปฏิกิริยา ซึ่งเป็นสารกึ่งตัวนำ (Semiconductor) ที่สามารถปล่อยอิเล็กตรอนออกมา เมื่อมีพลังงานมากระตุ้น โดยตัวเร่งปฏิกิริยาที่นิยมใช้ในการศึกษามีมากมาย ยกตัวอย่างเช่น ไทเทเนียมไดออกไซด์ (Titanium dioxide, TiO₂) ซิงค์ออกไซด์ (Zinc oxide, ZnO) แคดเมียมซัลไฟด์ (Cadmium sulfide, CdS) และทังสเตนไตรออกไซด์ (Tungsten trioxide, WO₃) (Herrmann *et al.*, 1999) เป็นต้น

ทังสเตนไตรออกไซด์เป็นสารกึ่งตัวนำที่สำคัญ มีคุณสมบัติเป็นตัวเร่งปฏิกิริยาในกระบวนการโฟโตคะตะไลซิสคล้ายกับไทเทเนียมไดออกไซด์ แต่มีความสามารถในการตอบสนองช่วงความยาวคลื่นแสงได้กว้างกว่า และครอบคลุมพลังงานแสงทั้งในช่วงยูวี และช่วงวิสิเบิล ซึ่งที่ผ่านมาได้มีการศึกษาเกี่ยวกับวิธีการสังเคราะห์ทังสเตนไตรออกไซด์ด้วยกันหลายวิธี เช่น โซเจล (So-gel) (Patraa *et al.*, 2004) การระเหยด้วยความร้อน (Thermal evaporation) (Antonaia *et al.*, 2001) และการแอนโนไดเซชัน (Anodization) (Tsuchiya *et al.*, 2005; Tacconi *et al.*, 2006; Guo *et al.*, 2007; Watcharenwong *et al.*, 2008) เป็นต้น ซึ่งในบรรดาวิธีการเหล่านี้จะใช้เทคนิคในการสังเคราะห์สารกึ่งตัวนำที่แตกต่างกันออกไป โดยทังสเตนไตรออกไซด์ที่ถูกเตรียมด้วยวิธีการแอนโนไดเซชันได้ถูกรายงานออกมาเป็นครั้งแรกโดย Grimes *et al.* (2003) ซึ่งใช้ทังสเตน (Tungsten, W) เป็นวัสดุปลูก (Substrate) ทดลองในสารละลายน้ำไฟฟ้ากรดออกซาลิก (Oxalic acid) โดยใช้หลักการของเซลล์เคมีไฟฟ้า (Electrodechemical cell) เพื่อก่อให้เกิดสารกึ่งตัวนำที่มีชั้นออกไซด์เกิดขึ้นบนพื้นผิว

ของโลหะที่มีลักษณะเป็นโครงสร้างพรุนขนาดนาโนเมตร (Nanoporous) ที่สามารถควบคุมความสม่ำเสมอได้ดี ไม่ยุ่งยากซับซ้อน และไม่ต้องใช้ความร้อนสูง (Oishi and Matsubara, 2000)

ดังนั้นเพื่อเป็นการพัฒนาเทคโนโลยีในการบำบัดมลพิษอากาศ โดยการประยุกต์ใช้กระบวนการโฟโตคะตะไลซิส การศึกษาในครั้งนี้จึงนำทั้งสแตนไดรออกไซด์ที่ผ่านการสังเคราะห์ด้วยวิธีการแอนโอดิเซชัน จนมีคุณลักษณะเป็นโครงสร้างพรุนขนาดนาโนเมตรมาเป็นตัวเร่งปฏิกิริยาในกระบวนการโฟโตคะตะไลซิส เพื่อศึกษาประสิทธิภาพในการกำจัดก๊าซคาร์บอนมอนอกไซด์ ซึ่งเป็นมลพิษทางอากาศที่สำคัญ เนื่องจากเป็นอันตรายต่อสุขภาพอนามัยของมนุษย์

1.2 วัตถุประสงค์

เพื่อศึกษาปัจจัยต่างๆ (ตัวเร่งปฏิกิริยาทั้งสแตนไดรออกไซด์ แหล่งกำเนิดแสง และความเข้มข้นเริ่มต้นต่างๆ กันของก๊าซคาร์บอนมอนอกไซด์) ที่ส่งผลต่อประสิทธิภาพการกำจัดก๊าซคาร์บอนมอนอกไซด์ด้วยกระบวนการโฟโตคะตะไลซิสโดยใช้ทั้งสแตนไดรออกไซด์เป็นตัวเร่งปฏิกิริยา

1.3 ขอบเขตการศึกษา

1.3.1 การศึกษาลักษณะโครงสร้างของทั้งสแตนไดรออกไซด์ หลังผ่านกระบวนการแอนโอดิเซชันที่ค่าความต่างศักย์ 45 โวลต์ โดยศึกษาระยะเวลาที่เหมาะสมในการสังเคราะห์ทั้งสแตนไดรออกไซด์ที่ 1 2 4 และ 6 ชั่วโมง เพื่อตรวจสอบลักษณะพื้นผิวด้วยกล้องจุลทรรศน์อิเล็กตรอนแบบส่องกราด (Field emission scanning electron microscope, FESEM) และวิเคราะห์การตอบสนองปฏิกิริยาไฟฟ้าเคมีแสง (Photoelectrochemistry)

1.3.2 ก๊าซมลพิษที่ใช้ในการศึกษาเป็นก๊าซมลพิษมาตรฐานที่ได้จากตัวแทนจำหน่าย ซึ่งเป็นก๊าซผสมที่ประกอบด้วยก๊าซคาร์บอนมอนอกไซด์ โดยศึกษาการบำบัดก๊าซคาร์บอนมอนอกไซด์ด้วยกระบวนการโฟโตคะตะไลซิสด้วยแหล่งกำเนิดแสงยูวีเอชนิด Mercury lamp ขนาด 250 วัตต์ ที่ความยาวคลื่น 365 นาโนเมตร และแสงวิธีเบิลชนิด Halogen lamp ขนาด 150 วัตต์ ที่มีความยาวคลื่นมากกว่า 400 นาโนเมตร โดยทำการทดลองซ้ำอย่างละ 2 ชั่วโมงในการทดลองที่อุณหภูมิห้อง แล้วหาค่าเฉลี่ยในการวิเคราะห์ และสรุปผลการศึกษา

1.3.3 การตรวจวัดค่าความเข้มข้นของก๊าซคาร์บอนมอนอกไซด์ตลอดการทดลองจะใช้เครื่องวิเคราะห์ก๊าซมลพิษ (Gas analyzer, Testo 950) ที่ผ่านทำการสอบเทียบ (Calibration) แล้วก่อนการเริ่มต้นใช้งาน

1.4 วิธีการดำเนินงานวิจัยโดยย่อ

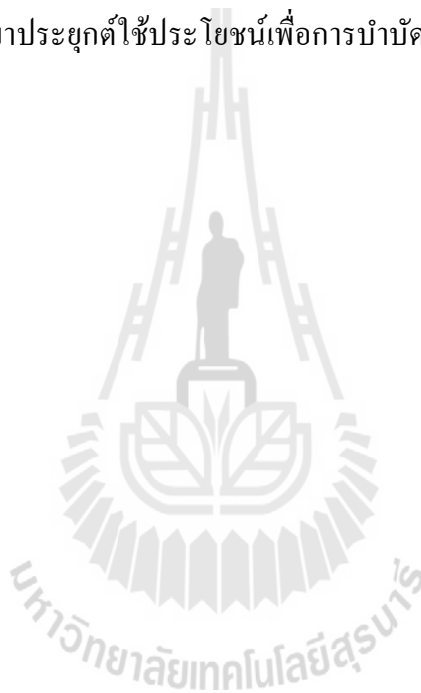
ดำเนินการศึกษาระยะเวลาที่เหมาะสมในการสังเคราะห์ทั้งสแตนไดรออกไซด์ด้วยวิธีแอนโอดิเซชัน เพื่อวิเคราะห์ลักษณะพื้นผิวออกไซด์ที่เกิดขึ้น แล้วนำมาใช้เป็นตัวเร่งปฏิกิริยาในกระบวนการโฟโตคะตะไลซิส โดยพิจารณาถึงประสิทธิภาพการบำบัดก๊าซคาร์บอนมอนอกไซด์ที่

เกิดจากผลกระทบของปัจจัยต่างๆ ได้แก่ ตัวเร่งปฏิกิริยาที่ถูกเตรียมที่ระยะเวลาที่แตกต่างกัน (1 2 4 และ 6 ชั่วโมง) แหล่งกำเนิดแสง (ยูวีเอ และ วิสิเบิล) และค่าความเข้มข้นเริ่มต้นของก๊าซคาร์บอนมอนอกไซด์ (50 100 200 300 400 และ 500 พีพีเอ็ม) เป็นต้น รวมทั้งศึกษาค่าจลนพลศาสตร์โดยใช้สมการแลงเมียร์-ฮินเชลวูดในการอธิบายการย่อยสลายก๊าซคาร์บอนมอนอกไซด์

1.5 ประโยชน์ที่คาดว่าจะได้รับ

1.5.1 เข้าใจวิธีการสังเคราะห์ทั้งสแตนด์ตรอก๊าซด้วยวิธีแอโนไลเซชัน เพื่อนำมาใช้เป็นตัวเร่งปฏิกิริยาในกระบวนการโฟโตคะตะไลซิส

1.5.2 ทราบค่าจลนพลศาสตร์จากสมการแลงเมียร์-ฮินเชลวูดของการบำบัดก๊าซคาร์บอนมอนอกไซด์ และนำมาประยุกต์ใช้ประโยชน์เพื่อการบำบัดมลพิษอากาศด้วยกระบวนการโฟโตคะตะไลซิส



บทที่ 2

ปริทัศน์วรรณกรรมและงานวิจัยที่เกี่ยวข้อง

2.1 ก๊าซคาร์บอนมอนอกไซด์

ก๊าซคาร์บอนมอนอกไซด์มีสูตรโมเลกุลคือ CO เป็นก๊าซที่ไม่มีสี ไม่มีกลิ่น ไม่มีรส เกิดจากการสันดาปที่ไม่สมบูรณ์ของสารประกอบคาร์บอน มีน้ำหนักเบากว่าอากาศเล็กน้อย และสามารถละลายน้ำได้บ้างเล็กน้อย แต่จะละลายได้ดีในแอลกอฮอล์และเป็นก๊าซเฉื่อยในสภาพอุณหภูมิและความดันอากาศปกติ (25 องศาเซลเซียส; ที่ 1 หนึ่งบรรยากาศ) แต่ไวต่อปฏิกิริยาที่อุณหภูมิสูง

สำหรับแหล่งกำเนิดที่เกิดจากการกระทำของมนุษย์ ได้แก่ ยานยนต์ต่างๆเมื่อมีการสันดาปน้ำมันเชื้อเพลิงที่ใช้ในเครื่องยนต์ และที่เกิดจากอุตสาหกรรมต่างๆ ด้วยกระบวนการสองลักษณะคือกรรมวิธีการผลิต และการเผาผลาญเชื้อเพลิงของโรงกลั่นปิโตรเลียม โรงหล่อเหล็ก โรงงานเยื่อกระดาษคราฟท์ และโรงงานผลิตผงคาร์บอน เป็นต้น เนื่องจากกระบวนการผลิต เช่น การใช้น้ำมันเตา ถ่านหิน หรือเชื้อเพลิงต่างๆ เพื่อให้ได้พลังงาน นอกจากนั้นยังเกิดจากการดำรงชีวิตในบ้าน เช่น การประกอบอาหารในครัว การใช้เครื่องทำความร้อนในฤดูหนาว การจราจร หรือจากรถยนต์ที่มีระบบท่อไอเสียชำรุด และมีการรั่วไหลเข้าสู่บริเวณตัวถังรถยนต์ ทำให้เกิดผลเสียต่อผู้โดยสารภายในรถยนต์ เนื่องจากบริเวณที่มีการจราจรหนาแน่น บางครั้งระดับความเข้มข้นของก๊าซภายในรถอาจสูงกว่าภายนอก หรือแม้กระทั่งการสูบบุหรี่ ซึ่งอาจมีผลกระทบต่อผู้ที่อยู่ใกล้เคียงได้ไม่น้อยกว่าผู้สูบบุหรี่เอง ถ้าอยู่ในสถานที่ซึ่งไม่มีการระบายอากาศที่ดีเพียงพอ (วงศ์พันธ์ และคณะ, 2543)

มีผลกระทบต่อสุขภาพอนามัยของมนุษย์คือ เมื่อหายใจเข้าไปจะรวมตัวกับเฮโมโกลบินในเม็ดเลือดแดงได้มากกว่าออกซิเจนถึง 200-250 เท่า เกิดเป็นคาร์บอกซีเฮโมโกลบิน ซึ่งลดความสามารถของเลือดในการเป็นตัวนำออกซิเจนจากปอดไปยังเนื้อเยื่อต่างๆ โดยทั่วไปองค์ประกอบสำคัญที่ทำให้เกิดคาร์บอกซีเฮโมโกลบินในเลือดมากหรือน้อยขึ้นอยู่กับ ความเข้มข้นของก๊าซคาร์บอนมอนอกไซด์ในอากาศที่สูดหายใจเข้าไป และระยะเวลาที่อยู่ในสภาวะนั้น (กรมโรงงานอุตสาหกรรม, 2550)

2.2 กระบวนการโฟโตคะตะไลซิส

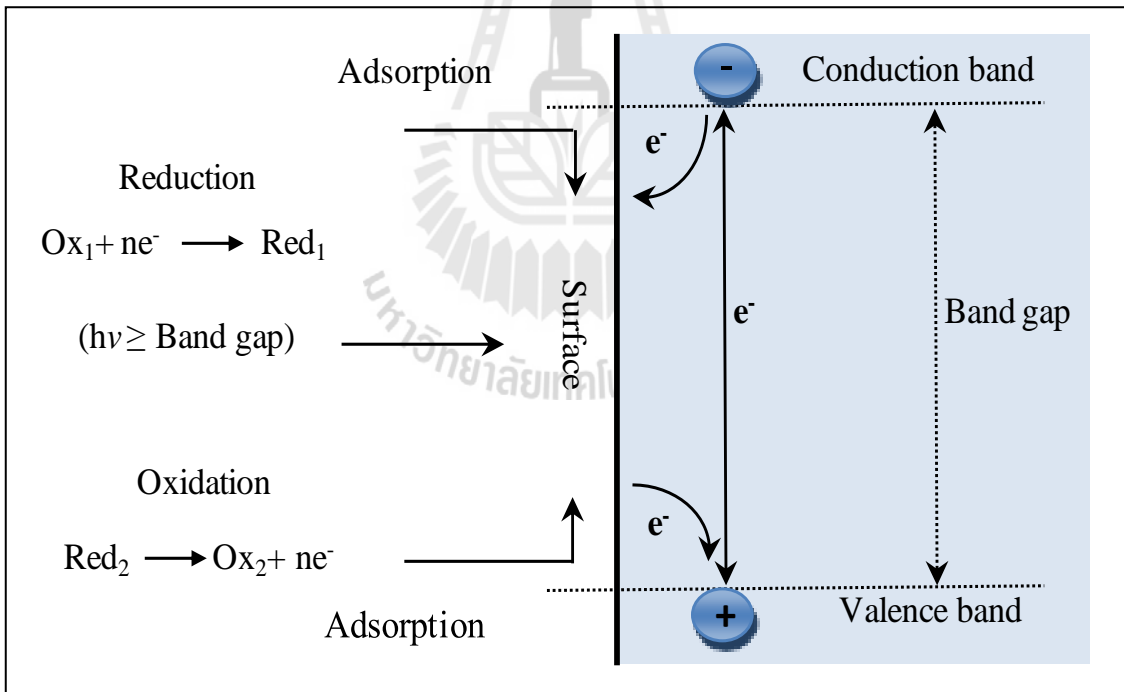
กระบวนการโฟโตคะตะไลซิสเป็นหนึ่งในเทคโนโลยีออกซิเดชันขั้นสูง (Litter, 1999) มีหลักการเบื้องต้นคือ เมื่อมีการกระตุ้นปฏิกิริยาโดยการฉายแสงไปที่ตัวเร่งปฏิกิริยาจะทำให้เกิดปฏิกิริยาออกซิเดชันและรีดักชันได้อย่างรวดเร็ว (Fujishima *et al.*, 2000) ซึ่งสามารถทำให้เกิดการเปลี่ยนแปลงของสารจากที่มีความเป็นพิษให้เกิดเป็นสารใหม่ที่มีความเป็นพิษน้อยลง หรือไม่มีความเป็นพิษเลย

โดยสามารถนำหลักการนี้มาประยุกต์ใช้ให้เกิดประโยชน์เกี่ยวกับงานด้านการบำบัด หรือทำให้น้ำและอากาศบริสุทธิ์ สามารถจำแนกตามสถานะของสารที่ทำปฏิกิริยาร่วมกันได้ 2 ประเภท คือ

(1) Homogeneous photocatalysis คือ ลักษณะสารที่ต้องการบำบัดกับตัวเร่งปฏิกิริยาอยู่ในสถานะเดียวกัน เช่น ของเหลวกับของเหลว เป็นต้น

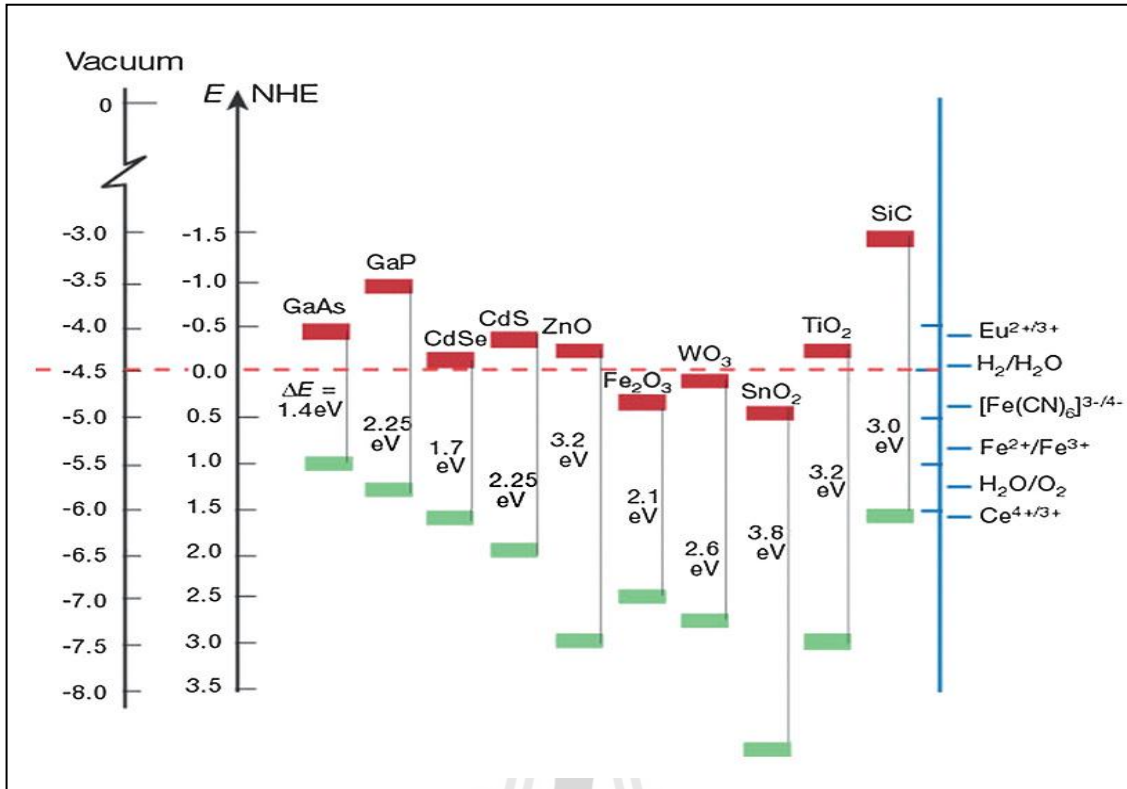
(2) Heterogeneous photocatalysis คือ ลักษณะสารที่ต้องการบำบัดกับตัวเร่งปฏิกิริยาอยู่ในสถานะที่แตกต่างกัน เช่น ของเหลวกับของแข็ง เป็นต้น

โครงสร้างของตัวกลางที่จะใช้เป็นตัวเร่งปฏิกิริยา อนุภาคของตัวกลางจะสามารถแบ่งออกตามโครงสร้างพลังงานของอิเล็กตรอนได้ 2 แถบพลังงาน คือ วาเลนซ์แบนด์ (Valence band) เป็นแถบพลังงานที่มีพลังงานอิเล็กตรอนสูง และคอนดักชันแบนด์ (Conduction band) เป็นแถบพลังงานที่ไม่มีพลังงานอิเล็กตรอน โดยแถบพลังงานทั้งสองจะถูกแยกออกจากกันด้วยระยะห่างที่เรียกว่า แบนด์แกป (Band gap) โดยโครงสร้างอนุภาคตัวกลางแสดงดังรูปที่ 2.1 ซึ่งค่าของช่องว่างของพลังงานระหว่างแถบวาเลนซ์ และแถบคอนดักชันจะขึ้นอยู่กับชนิดของตัวกลาง โดยตัวกลางแต่ละชนิดจะมีค่าช่องว่างของพลังงานแตกต่างกันออกไป สามารถแสดงได้ดังรูปที่ 2.2



รูปที่ 2.1 กระบวนการโฟโตคะตะไลซิสเมื่อมีการฉายแสงลงบนอนุภาคตัวกลาง

ที่มา : Herrmann, 2010



รูปที่ 2.2 ค่าช่องว่างของพลังงานของตัวกลางชนิดต่าง ๆ ที่พีเอช 1

ที่มา: Gratzel, 2001

กระบวนการโฟโตคะตะไลซิสประกอบด้วย 2 ขั้นตอน คือ การดูดซับ (Adsorption) และการฉายแสง (Irradiation process)

2.3.1 การดูดซับ

โมเลกุลหรือคอลลอยด์ซึ่งเรียกว่า ตัวดูดซับที่อยู่ในรูปของเหลว หรือก๊าซจะถูกดึงให้มาเกาะจับ หรือติดบนผิวของตัวเร่งปฏิกิริยา ปรากฏการณ์เช่นนี้เป็นการเคลื่อนย้ายจากของเหลวหรือก๊าซ มายังพื้นที่ผิวของของแข็ง เรียกว่าตัวดูดซับ การเกาะจับของโมเลกุลบนสารอาจเกิดขึ้นด้วยแรงทางกายภาพ และแรงทางเคมี หรือทั้งสองอย่างรวมกัน ซึ่งในกระบวนการโฟโตคะตะไลซิสการดูดซับจะเกิดจากแรงทางเคมีเป็นหลัก

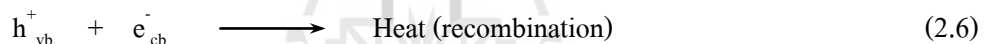
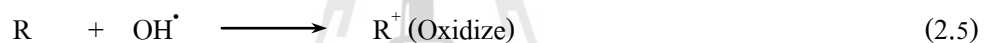
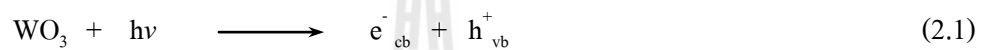
2.3.2 การฉายแสง

เมื่ออนุภาคของสารกึ่งตัวนำได้รับพลังงานจากแสง ซึ่งมีพลังงานเท่ากับหรือสูงกว่าช่องว่างแถบพลังงาน หรือแบนด์แกป จะทำให้อิเล็กตรอนที่อยู่ในวาเลนซ์แบนด์ถูกกระตุ้นให้เคลื่อนที่ไปยังคอนดักชันแบนด์ ทำให้เกิดสถานะขาดแคลนอิเล็กตรอนที่วาเลนซ์แบนด์ หรือช่องว่าง

ของอิเล็กตรอน เรียกว่า โฮล (Hole) แทนด้วยสัญลักษณ์ h^+_{vb} ส่วนอิเล็กตรอนที่ถูกกระตุ้นไปยังคอนดักชันแบนด์แทนด้วยสัญลักษณ์ e^-_{cb} ทำให้เกิดอิเล็กตรอน และโฮลวิ่งกระจายอยู่ที่ผิวของสารกึ่งตัวนำโฮลที่เกิดขึ้นในวาเลนซ์แบนด์จะเป็นตัวออกซิไดส์ หรือตัวรับอิเล็กตรอนที่ดี (Strong Oxidant) และอิเล็กตรอนในคอนดักชันแบนด์ จะเป็นตัวรีดิวซ์หรือตัวให้อิเล็กตรอนที่ดี (Hoffman *et al.*, 1995) แสดงดังรูปที่ 2.1

2.3.3 กลไกของปฏิกิริยาโฟโตคะตะไลซิส

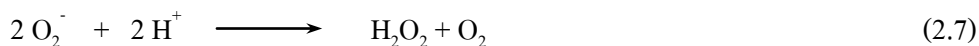
หลักการของกระบวนการโฟโตคะตะไลซิสโดยใช้ทังสเตนไดรอกไซด์เป็นตัวเร่งปฏิกิริยาสามารถแสดงได้ดังสมการที่ 2.1-2.6 (Liu *et al.*, 2007)



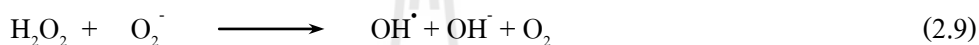
โฮลที่วาเลนซ์แบนด์ (h^+_{vb}) จะทำปฏิกิริยาออกซิเดชันกับไฮดรอกซิลไอออน (Hydroxyl ions, OH^-) ทำให้เกิดไฮดรอกซิลเรดิคัล (OH^\bullet) ดังสมการที่ 2.2 และยังทำให้โมเลกุลของน้ำ (H_2O) ที่ดูดซับผิวทังสเตนไดรอกไซด์เปลี่ยนเป็นไฮดรอกซิลเรดิคัลด้วยเช่นกัน ดังสมการที่ 2.3 ส่วนอิเล็กตรอนที่คอนดักชันแบนด์ (e^-_{cb}) จะทำปฏิกิริยารีดักชันกับโมเลกุลออกซิเจน (O_2) ที่ดูดซับผิวทังสเตนไดรอกไซด์ทำให้โมเลกุลออกซิเจนเปลี่ยนไปเป็นซูเปอร์ออกไซด์ไอออนเรดิคัล (O_2^-) ดังสมการที่ 2.4

สำหรับการบำบัดมลพิษไฮดรอกซิลเรดิคัล (OH^\bullet) เป็นตัวรับอิเล็กตรอนที่แรง (Strong oxidizing agent) มีความว่องไวในการทำปฏิกิริยาสูง (Highly reactive) จะทำหน้าที่สลายโมเลกุลของมลพิษ (R) ที่ดูดซับผิว หรืออยู่ใกล้ผิวของตัวเร่งปฏิกิริยา ดังสมการที่ 2.5 และโฮลที่วาเลนซ์แบนด์ (h^+_{vb}) ก็สามารถรับอิเล็กตรอน (Oxidized) จากโมเลกุลของมลพิษ (R) ได้โดยตรง แต่ในกระบวนการโฟโตคะตะไลซิสแบบใช้ทังสเตนไดรอกไซด์เป็นตัวเร่งปฏิกิริยานั้น การเกิดปฏิกิริยาระหว่างไฮดรอกซิลเรดิคัล และมลพิษเป็นปฏิกิริยาหลักที่เกิดขึ้น ส่วนการเกิดปฏิกิริยาระหว่างโฮลและมลพิษเป็น

ปฏิกิริยารองซึ่งเกิดขึ้นได้น้อยกว่า (Matthews, 1990; Kwaguchi, 1994) ส่วนซูปเปอร์ออกไซด์ไอออนเรดิคัล สามารถที่จะทำปฏิกิริยาต่อไปได้เป็นไฮโดรเจนเปอร์ออกไซด์ (H_2O_2) ดังสมการที่ 2.7 (Al-Ekabi *et al.*, 1991)



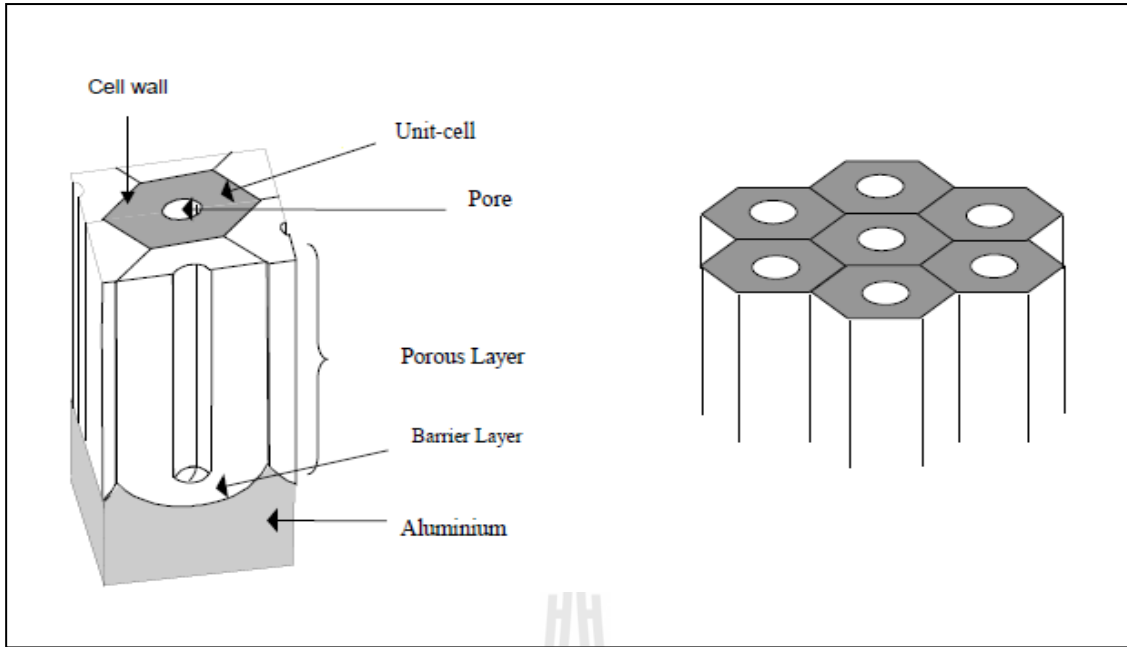
ไฮโดรเจนเปอร์ออกไซด์ที่เกิดขึ้นเป็นตัวรับอิเล็กตรอนที่ดี และไฮโดรเจนเปอร์ออกไซด์ยังสามารถทำปฏิกิริยาต่อไปได้อีก โดยจะทำปฏิกิริยากับอิเล็กตรอนที่คอนดักชันแบนด์ (e_{cb}^-) ทำให้เกิดไฮดรอกซิลเรดิคัล ดังสมการ 2.8-2.9



2.3 กระบวนการแอนโนไดเซชัน

กระบวนการแอนโนไดเซชันเป็นเทคนิคการทำให้เกิดออกไซด์บนพื้นผิวหน้าของโลหะ เพื่อให้เกิดลักษณะเฉพาะบนสารกึ่งตัวนำ โดยการให้ความต่างศักย์ไฟฟ้าแก่โลหะที่มีผิวสัมผัสกับสารละลายนำไฟฟ้า กระบวนการนี้ถูกคิดค้นโดย Bengough-Stuart ในปี 1923 (Wernick *et al.*, 1987) เริ่มจากการใช้อะลูมิเนียมเป็นวัสดุปลูกประกอบด้วย ชั้นออกไซด์ที่มีความบางมีลักษณะเนื้อแน่น (Compact) เรียกว่าชั้น Barrier ซึ่งมีความหนาประมาณ 0.1-2.0 ไมครอนของความหนาทั้งหมดที่ชั้นออกไซด์ ขึ้นอยู่กับความเข้มข้นของสารละลายนำไฟฟ้า และค่าความต่างศักย์ไฟฟ้าที่ใช้ และชั้นออกไซด์ที่มีรูพรุนเส้นผ่านศูนย์กลางขนาดเล็ก และจะมีการก่อตัวเป็นท่อซึ่งมีผนังท่อ (Cell wall) แสดงดังรูปที่ 2.3

ต่อมาวัสดุปลูกอีกมากมายที่ถูกนำมาใช้ในการศึกษาเพื่อพัฒนาวัสดุต่างๆ เช่น นีโอบียม (Niobium, Nb) (Sieber *et al.*, 2005) แทนทาลัม (Tantalum, Ta) (Wei *et al.*, 2008) ไทเทเนียม (Titanium, Ti) (Tacconi *et al.*, 2006; Chanmanee *et al.*, 2007; Sadek *et al.*, 2008) แฮฟเนียม (Hafnium, Hf) (Tsuchiya *et al.*, 2005) เซอร์โคเนียม (Zirconium, Zr) (Tsuchiya *et al.*, 2004) และทังสแตน (Tsuchiya *et al.*, 2005; Watcharenwong *et al.*, 2008) เป็นต้น โดยสามารถนำไปประยุกต์ใช้งานได้กับหลากหลายสายงาน เช่น ปฏิกิริยาโฟโตคะตะไลซิส เซลล์แสงอาทิตย์ ก๊าซเซนเซอร์ และอิเล็กทรอนิกส์ เป็นต้น



รูปที่ 2.3 โครงสร้างหกเหลี่ยมของชั้นอะลูมิเนียมออกไซด์

ที่มา: *Wernick et al., 1987*

2.4 การทบทวนวรรณกรรม

จากการศึกษาของ *Tsuchiya et al. (2005)* เสนอวิธีการแอนโนไดเซชัน โดยใช้ทั้งสแตนเป็นวัสดุปลูกในสารละลายนำไฟฟ้าโซเดียมฟลูออไรด์ พบว่าพื้นผิวออกไซด์ที่เกิดขึ้น จะขึ้นอยู่กับความเข้มข้นของโซเดียมฟลูออไรด์ (0.1 0.2 0.5 และ 1 เปอร์เซ็นต์โดยน้ำหนัก) และค่าความต่างศักย์ (20 40 และ 60 โวลต์) ที่ใช้ในกระบวนการแอนโนไดเซชันพบว่า ที่ค่าความต่างศักย์ 20 โวลต์ จะยังไม่ก่อให้เกิดความพรุนที่พื้นผิว แต่หากมีการเพิ่มค่าความต่างศักย์เป็น 40 และ 60 โวลต์ จะก่อให้เกิดโครงสร้างที่มีความพรุนที่มีการจัดเรียงอย่างเป็นระเบียบ และมีขนาดความพรุนเฉลี่ยประมาณ 100 นาโนเมตร ซึ่งจะมีโครงสร้างที่ใหญ่ขึ้น เมื่อเพิ่มความเข้มข้นของโซเดียมฟลูออไรด์ เช่นเดียวกันกับรายงานการศึกษาของ *Watcharenwong et al. (2008)* พบว่าพื้นผิวของทั้งสแตนไดรออกไซด์ จะมีลักษณะเป็นรูพรุนขนาดนาโนเมตรเช่นกัน เมื่อผ่านการสังเคราะห์ด้วยวิธีแอนโนไดเซชันที่ค่าความต่างศักย์ 20-80 โวลต์ ที่ระยะเวลา 1-6 ชั่วโมง ด้วยชนิดของสารละลายนำไฟฟ้าที่แตกต่างกัน คือโซเดียมฟลูออไรด์ กรดออกซาลิก (Oxalic acid) โพลีเอทิลีนไกลคอล (Poly ethylene glycol, PEG) และเอทิลีนไกลคอล (Ethylene glycol, EG) พบว่าเมื่อใช้สารละลายโซเดียมฟลูออไรด์ที่ความเข้มข้น 0.15 โมล ที่ความต่างศักย์ 60 โวลต์ เป็นระยะเวลา 2 ชั่วโมง จะมีค่ากระแสไฟฟ้ามากที่สุดคือ 4 มิลลิแอมแปร์ต่อตารางเซนติเมตร จะเห็นว่าทั้งสแตนไดรออกไซด์สามารถเกิดความพรุนได้มากขึ้น เมื่อดำเนินการที่

ความต่างศักย์สูงๆ ซึ่งจะใช้เวลาเพียงเล็กน้อยเท่านั้นในการก่อให้เกิดออกไซด์ที่ความพรุนบนพื้นผิวหน้า (Hahn *et al.*, 2007)

และจากการทบทวนวรรณกรรมที่เกี่ยวกับปฏิกิริยาโฟโตคะตะไลซิสที่ใช้ในการบำบัดมลพิษทางอากาศพบว่า Gondol *et al.* (2004) ศึกษาการบำบัดมีเทน โดยเปลี่ยนรูปไปเป็นเมทานอล และไฮโดรเจน โดยปฏิกิริยาโฟโตคะตะไลซิส ซึ่งใช้ทั้งสแตนไดรออกไซด์ ไทเทเนียมไดออกไซด์ และนิกเกิลออกไซด์เป็นตัวเร่งปฏิกิริยา เคนระบบที่อุณหภูมิห้อง ภายใต้การฉายแสงในช่วงยูวีที่มีความยาวคลื่นเท่ากับ 355 นาโนเมตร พบว่าเกิดการเปลี่ยนแปลงของปฏิกิริยาเท่ากับ 29% 21% และ 20% ตามลำดับ

Pucher *et al.* (2008) ใช้กระบวนการโฟโตคะตะไลซิสในการบำบัดไตรคลอโรเอทีลีน (Trichloroethylene) ในบรรยากาศโดยใช้ไทเทเนียมไดออกไซด์ เป็นตัวเร่งปฏิกิริยาที่ผ่านการสังเคราะห์ด้วยวิธีการ โซเจล ในช่วงความยาวคลื่นแสงยูวีพบว่าสามารถนำไปประยุกต์ใช้ได้กับมลพิษที่มีความเข้มข้นต่ำๆ และมีอัตราการไหลน้อยๆ

Hwang *et al.* (2003) ศึกษาผลกระทบที่เกิดจากการผสมแพลทินัมร่วมกับไทเทเนียมไดออกไซด์ ที่เคลือบอยู่บนผิวของแก้ว ด้วยวิธีจุ่มเคลือบ (Dip-coating) โดยใช้ไทเทเนียมไดออกไซด์ที่มีชื่อทางการค้าแตกต่างกันทั้งหมด 3 ชนิด คือ Degussa P25, ISK STS-01 และ Hombikat UV-100 พบว่าการเพิ่มแพลทินัมประมาณ 3 เปอร์เซ็นต์โดยน้ำหนัก ที่ผสมร่วมกับไทเทเนียมไดออกไซด์ ชนิด Hombikat UV-100 จะส่งผลดีมากที่สุด ในการเกิดปฏิกิริยาการกำจัดคาร์บอนมอนอกไซด์ ที่ความเข้มข้น 30-500 พีพีเอ็ม โดยจะย่อยสลายกลายเป็นคาร์บอนไดออกไซด์

Wang *et al.* (2007) ศึกษากระบวนการโฟโตคะตะไลซิสในการย่อยสลายออกไซด์ของไนโตรเจน ที่ค่าความเข้มข้นเริ่มต้น 168 พีพีเอ็ม โดยใช้ไทเทเนียมไดออกไซด์ Degussa P25 ที่ผ่านวิธีการจุ่มเคลือบลงบนแผ่นกระจก พบว่ามีความสามารถในการย่อยสลายก๊าซไนตริกออกไซด์ให้กลายเป็นก๊าซไนโตรเจนไดออกไซด์ และกรดไนตริก โดยมีประสิทธิภาพการบำบัดถึง 27% ซึ่งจะสังเกตเห็นว่าตัวเร่งปฏิกิริยาจะเกิดการสะสมของกรดไนตริก และกรดไนตริกบนพื้นผิวหน้าของไทเทเนียมไดออกไซด์ เมื่อผ่านการใช้งานมาเป็นเวลานาน แต่สามารถคืนสภาพให้สามารถนำกลับมาใช้ใหม่ได้ โดยการล้างน้ำแล้วนำไปเผาที่อุณหภูมิ 500 องศาเซลเซียสเป็นระยะเวลา 30 นาที นอกจากนั้นยังสามารถอธิบายผลกระทบที่เกิดจากค่าความเข้มข้นเริ่มต้นของมลพิษโดยใช้สมการแลงเมียร์-ฮินเชลวูด พบว่ามีค่าคงที่อัตราการเกิดปฏิกิริยาเท่ากับ 2.28×10^{-4} โมลต่อลูกบาศก์เมตรต่อวินาที และมีค่าคงที่การดูดซับที่สถานะสมดุลเท่ากับ 3.41×10^2 ลูกบาศก์เมตรต่อโมล

Liao *et al.* (2012) เปรียบเทียบคุณสมบัติทางด้านการตอบสนองปฏิกิริยาโฟโตคะตะไลซิสของไทเทเนียมไดออกไซด์ และซิงค์ออกไซด์ เพื่อใช้ในการบำบัดฟอร์มัลดีไฮด์ (Formaldehyde) ที่ค่าความเข้มข้นเริ่มต้น 50 พีพีเอ็ม จนกระทั่งลดลงเหลือ 1 พีพีเอ็ม ด้วยอัตราคงที่การเกิดปฏิกิริยาอันดับ

ที่ 1 เท่ากับ 0.05 ต่อนาที และพบว่าไทเทเนียมไดออกไซด์มีประสิทธิภาพในการย่อยสลายฟอร์มาลดีไฮด์ได้ดีกว่าซิงค์ออกไซด์

จากการตรวจเอกสารพบว่า กระบวนการโฟโตคะตะไลซิสเป็นอีกทางเลือกหนึ่งที่น่าสนใจ และถูกนำมาศึกษากันอย่างกว้างขวาง เพื่อนำมาประยุกต์ใช้ในการบำบัดมลพิษทางอากาศ ซึ่งจากการศึกษาที่ผ่านมาโดยส่วนใหญ่มักใช้ไทเทเนียมไดออกไซด์เป็นตัวเร่งปฏิกิริยา และพบว่าการศึกษาโดยใช้ตัวเร่งปฏิกิริยาชนิดอื่นๆ เช่น ทังสแตนไตรออกไซด์ เป็นต้น ยังมีไม่มากนัก ดังนั้นเพื่อเป็นการพัฒนาเทคโนโลยีในการบำบัดมลพิษทางอากาศ โดยการประยุกต์ใช้กระบวนการโฟโตคะตะไลซิส การศึกษาในครั้งนี้จึงนำทังสแตนไตรออกไซด์ ที่ผ่านการสังเคราะห์ด้วยวิธีการแอนโนไดเซชัน จนมีคุณลักษณะเป็นโครงสร้างพรุนขนาดนาโนเมตรมาเป็นตัวเร่งปฏิกิริยาในกระบวนการโฟโตคะตะไลซิส เพื่อศึกษาประสิทธิภาพในการกำจัดคาร์บอนมอนอกไซด์ ซึ่งเป็นตัวแทนของมลพิษทางอากาศที่ถูกนำมาใช้ในครั้งนี้



บทที่ 3

วิธีดำเนินการวิจัย

การวิจัยนี้เป็นการวิจัยเชิงทดลอง (Experimental research) เพื่อประยุกต์ใช้กระบวนการโฟโตคะตะไลซิส ซึ่งเป็นหนึ่งในเทคโนโลยีออกซิเดชันขั้นสูง ที่ได้รับความนิยมในการนำมาใช้บำบัด และปรับปรุงคุณภาพอากาศ มีหลักการเบื้องต้นคือเมื่อมีการกระตุ้นปฏิกิริยา โดยการฉายแสงไปที่ตัวเร่งปฏิกิริยา จะทำให้เกิดปฏิกิริยาออกซิเดชัน-รีดักชันได้อย่างรวดเร็ว ซึ่งสามารถทำให้เกิดการเปลี่ยนแปลงของสารจากที่มีความเป็นพิษ ให้เกิดเป็นสารใหม่ที่มีความเป็นพิษน้อยลง หรือไม่มีความเป็นพิษเลย จึงนำหลักการนี้มาศึกษาเพื่อประยุกต์ใช้ในการบำบัดมลพิษอากาศ โดยมุ่งเน้นในการบำบัดก๊าซคาร์บอนมอนอกไซด์ ซึ่งเป็นตัวการสำคัญที่ก่อให้เกิดผลกระทบต่อสุขภาพอนามัยของมนุษย์ เมื่อหายใจเข้าไปจะรวมตัวกับเฮโมโกลบินในเม็ดเลือดแดงได้ดีกว่าออกซิเจน 200-250 เท่า เกิดเป็น คาร์บอกซีเฮโมโกลบิน ซึ่งจะลดความสามารถของเลือดในการเป็นตัวนำออกซิเจนจากปอดไปยังเนื้อเยื่อต่างๆ ส่งผลให้เกิดอาการปวดศีรษะ คลื่นไส้ อาเจียน หงุดหงิด และในกรณีที่ได้รับก๊าซพิษเข้าไปในปริมาณมากอาจทำให้ถึงตายได้ จึงจำเป็นต้องมีการควบคุมก่อนปล่อยออกสู่ชั้นบรรยากาศ การศึกษาในครั้งนี้จึงนำทังสเดนไดรออกไซด์ ที่ผ่านการสังเคราะห์ด้วยวิธีการแอนโอดเซชันจนมีคุณลักษณะเป็นโครงสร้างพรุนขนาดนาโนเมตร แล้วนำมาใช้เป็นตัวเร่งปฏิกิริยาในกระบวนการโฟโตคะตะไลซิส เพื่อศึกษาประสิทธิภาพในการกำจัดก๊าซคาร์บอนมอนอกไซด์

3.1 สถานที่ทำการศึกษาวิจัย

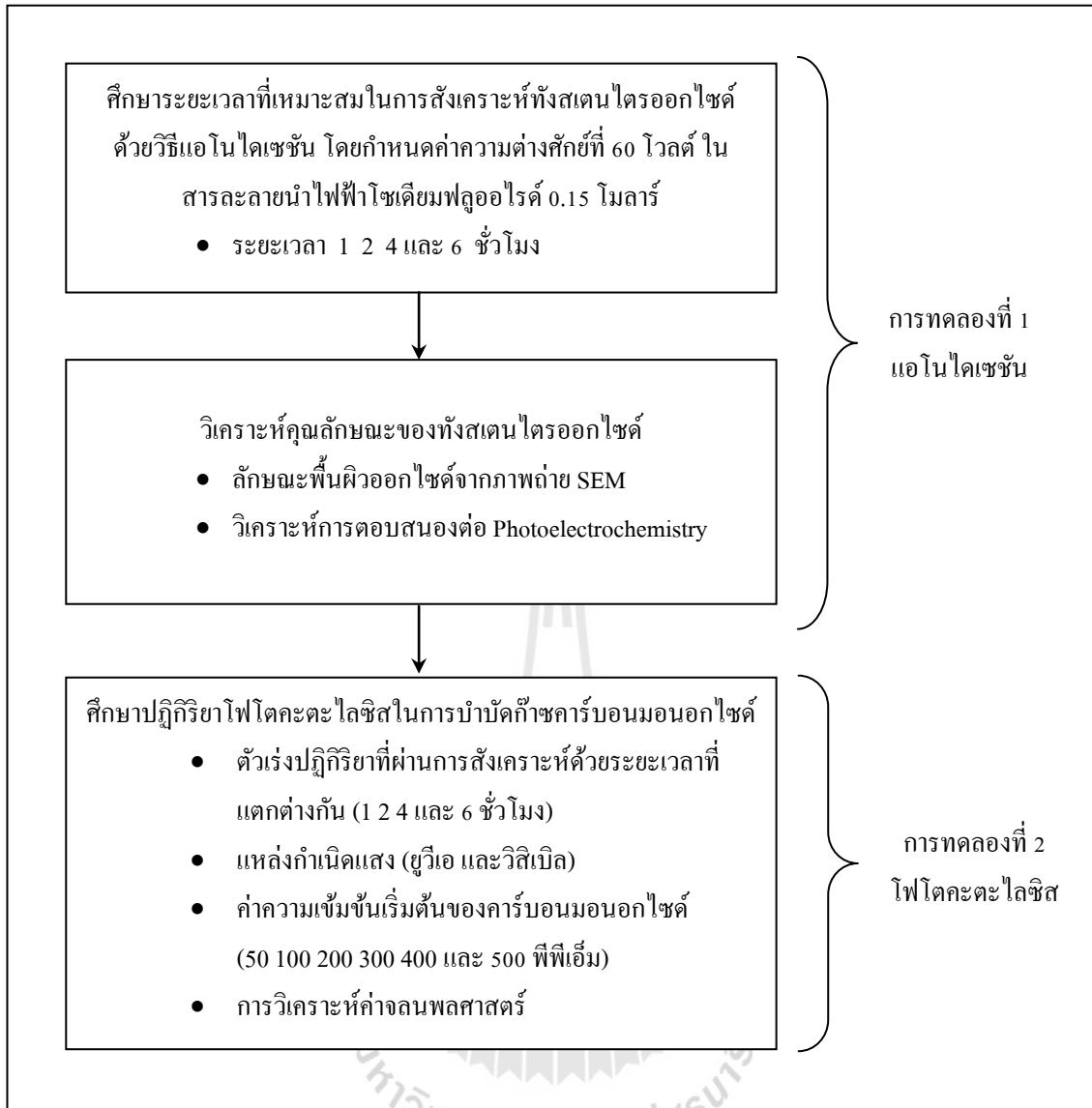
ทำการทดลอง ณ ห้องปฏิบัติการวิศวกรรมสิ่งแวดล้อม บริเวณอาคารศูนย์เครื่องมือ 4 และอาคารศูนย์เครื่องมือ 5 มหาวิทยาลัยเทคโนโลยีสุรนารี อำเภอเมือง จังหวัดนครราชสีมา โดยเริ่มดำเนินการวิจัยจากเดือนพฤศจิกายน 2552 ถึงพฤศจิกายน 2554

3.2 ขั้นตอนการศึกษาวิจัย

แสดงขั้นตอนการศึกษาวิจัยดังรูปที่ 3.1 โดยแบ่งออกเป็น 2 ขั้นตอน คือ

(1) การสังเคราะห์ทังสเดนไดรออกไซด์เป็นตัวเร่งปฏิกิริยาด้วยวิธีแอนโอดเซชัน

(2) การศึกษาปฏิกิริยาโฟโตคะตะไลซิส เพื่อกำจัดก๊าซคาร์บอนมอนอกไซด์ โดยใช้ทังสเดนไดรออกไซด์เป็นตัวเร่งปฏิกิริยา



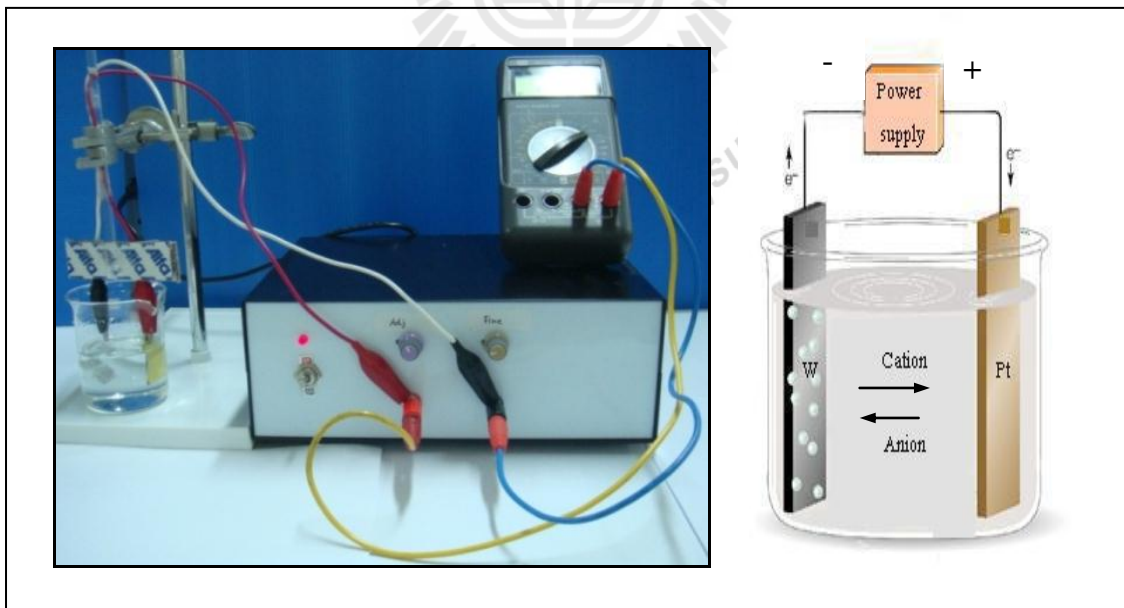
รูปที่ 3.1 ขั้นตอนการศึกษาวิจัย

3.3 การสังเคราะห์ตัวเร่งปฏิกิริยาทั้งสแตนไดรออกไซด์

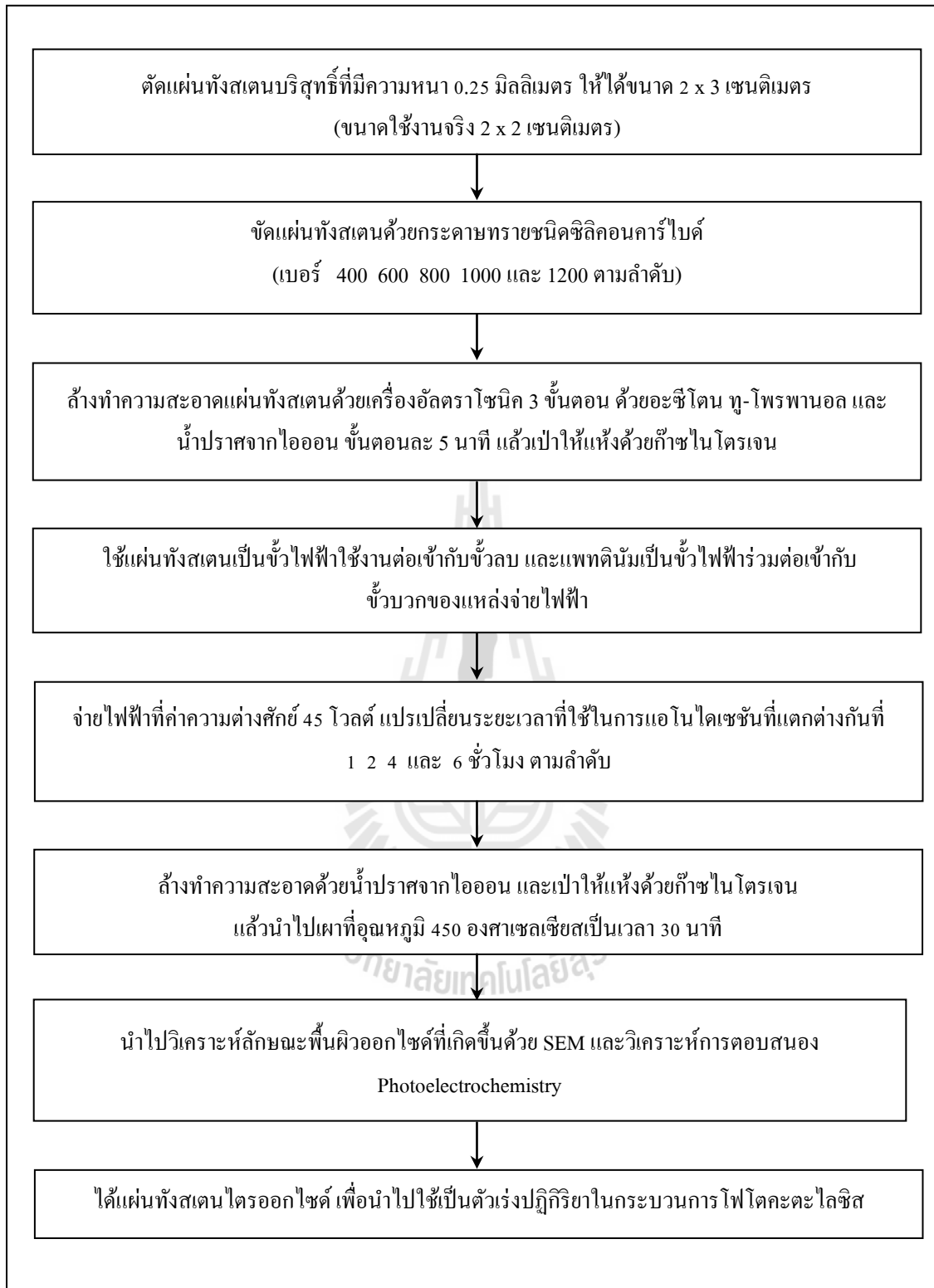
การสังเคราะห์ตัวเร่งปฏิกิริยาทั้งสแตนไดรออกไซด์สามารถทำได้โดยวิธีแอนโนไดเซชัน ซึ่งเป็นเทคนิคการทำให้เกิดออกไซด์บนพื้นผิวหน้าของทั้งสแตนที่มีลักษณะพรุนขนาดนาโนเมตร โดยใช้เซลล์เคมีไฟฟ้า ซึ่งประกอบด้วย 2 ขั้วไฟฟ้า คือ ขั้วไฟฟ้าใช้งาน และขั้วไฟฟ้าร่วม โดยเริ่มจากการเตรียมวัสดุปลูก ซึ่งใช้แผ่นทั้งสแตนบริสุทธิ์ที่มีความหนา 0.25 มิลลิเมตร โดยตัดแผ่นทั้งสแตนด้วยเครื่องจักรกลให้ได้ขนาดกว้าง 2 เซนติเมตร ยาว 3 เซนติเมตร (มีพื้นที่ใช้งานจริงขนาดกว้าง 2 เซนติเมตร ยาว 2 เซนติเมตร) แล้วขัดด้วยกระดาษทรายชนิดซิลิกอนคาร์ไบด์เบอร์ 400 600 800 1000 และ 1200 ตามลำดับ แล้วนำไปล้างด้วยเครื่องอัลตราโซนิค (Ultrasonic) 3 ขั้นตอน ในอะซีโตน

(Acetone) ทุ-โพรพานอล (2-propanol) และน้ำปราศจากไอออน (Deionized water) ตามลำดับ ใช้เวลาขั้นตอนละ 5 นาที จากนั้นนำไปเป่าให้แห้งด้วยก๊าซไนโตรเจน ก่อนนำไปใช้ในกระบวนการแอโนไดเซชัน

เริ่มกระบวนการแอโนไดเซชัน โดยใช้แผ่นทั้งสองที่ได้จากการเตรียมในข้างต้น มาใช้เป็นขั้วไฟฟ้าใช้งาน ต่อเข้ากับขั้วลบของแหล่งจ่ายไฟฟ้า (Power supply) และใช้แพลทินัมเป็นขั้วไฟฟ้าร่วมต่อเข้ากับขั้วบวกของแหล่งจ่ายไฟฟ้า โดยจุ่มขั้วไฟฟ้าทั้งสองในสารละลายนำไฟฟ้าโซเดียมฟลูออไรด์ความเข้มข้น 0.15 โมลาร์ แสดงลักษณะการทดลองดังรูปที่ 3.2 และสามารถอธิบายขั้นตอนในการศึกษาได้ดังรูปที่ 3.3 โดยกำหนดค่าความต่างศักย์ไฟฟ้าที่ 45 โวลต์ และแปรเปลี่ยนระยะเวลาที่ใช้ในการแอโนไดเซชัน 4 ค่า ได้แก่ 1 2 4 และ 6 ชั่วโมง แสดงสภาวะการทดลองดังตารางที่ 3.1 หลังจากนั้นนำมาล้างด้วยน้ำปราศจากไอออน แล้วเป่าให้แห้งด้วยก๊าซไนโตรเจน เพื่อไล่ก๊าซออกซิเจนออกจากพื้นผิวหน้าของตัวอย่าง ป้องกันการเกิดออกไซด์ที่ไม่ได้ถูกสร้างขึ้นจากกระบวนการแอโนไดเซชัน แล้วนำตัวอย่างไปเผาที่อุณหภูมิ 450 องศาเซลเซียส เป็นระยะเวลา 30 นาที โดยทำการทดลองซ้ำอย่างละ 2 ครั้งในทุกสภาวะการศึกษา แล้วนำมาวิเคราะห์ลักษณะความสม่ำเสมอของผิวออกไซด์ ด้วยกล้องจุลทรรศน์อิเล็กตรอนแบบส่องกราด รุ่น JSM-6301F และวิเคราะห์หาค่าประกอบของธาตุด้วยเครื่องเอ็กซ์เรย์ดิฟแฟรคโทมิเตอร์ ยี่ห้อ BRUKER AXS รุ่น D5005



รูปที่ 3.2 ลักษณะการทดลองกระบวนการแอโนไดเซชัน



รูปที่ 3.3 ขั้นตอนการสังเคราะห์ทังสเตนไดรอกไซด์เป็นตัวเร่งปฏิกิริยาด้วยวิธีแอนโอดเซชัน

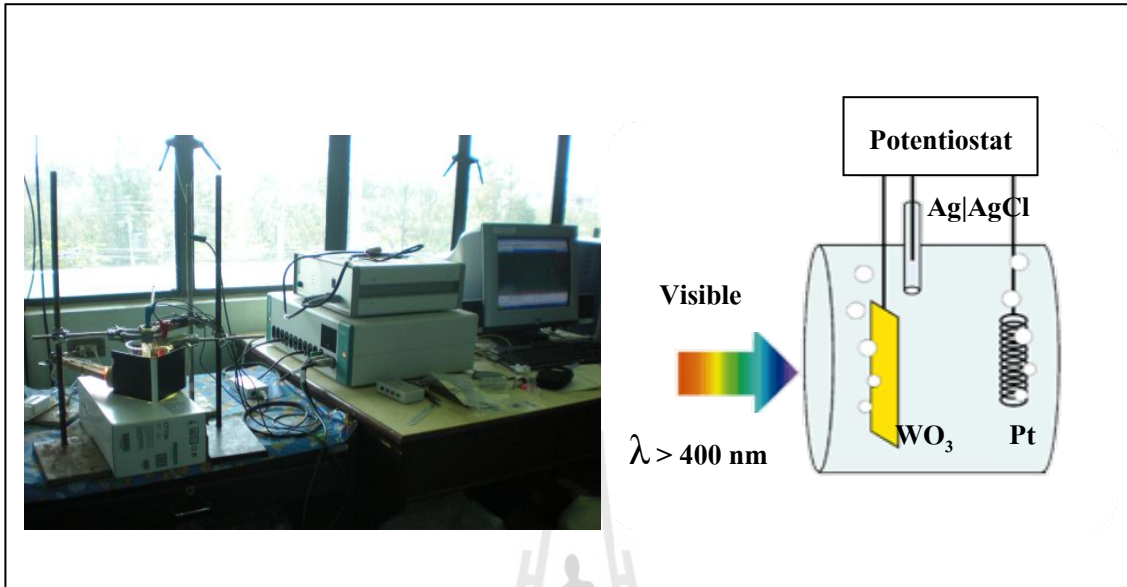
ตารางที่ 3.1 สภาวะการทดลองกระบวนการแอนโนไดเซชัน

ลำดับที่	สารละลายนำไฟฟ้า	ความต่างศักย์ (โวลต์)	ระยะเวลา (ชั่วโมง)
1	โซเดียมฟลูออไรด์ 0.15 โมลาร์	45	1
2			2
3			4
4			6

3.4 วิธีการศึกษาการตอบสนองปฏิกิริยาไฟฟ้าเคมีแสง

จากข้อจำกัดทางด้านเทคนิคที่ไม่สามารถหาค่าพื้นที่ผิวจำเพาะ (Specific surface area) ของทังสเตนไดรอกไซด์ที่ถูกเตรียมขึ้นมาในครั้งนี้ได้ เนื่องจากมีลักษณะรูปร่างเป็นแบบแผ่นที่มีส่วนประกอบของโลหะเป็นส่วนใหญ่ ซึ่งจะไม่ตอบสนองต่อก๊าซที่ดูดติดผิว จึงไม่เหมาะสมที่จะใช้วิธีการวิเคราะห์หาพื้นที่ผิวจำเพาะด้วยเทคนิคบลูเออร์ เอลเม็ท แอนด์เทลเลอร์ (Brunauer emmett and teller, BET) ในการอธิบายความสามารถของตัวเร่งปฏิกิริยาทังสเตนไดรอกไซด์ได้ จึงเลือกใช้วิธีการวิเคราะห์การตอบสนองปฏิกิริยาไฟฟ้าเคมีแสง เพื่ออธิบายความสามารถของตัวเร่งปฏิกิริยาทังสเตนไดรอกไซด์ในการตอบสนองต่อแหล่งกำเนิดแสง โดยใช้วิธีการวัดอิเล็กตรอนที่เกิดขึ้นในรูปของกระแสไฟฟ้า (Photocurrent density) หลังจากการกระตุ้นด้วยการฉายแสงไปยังตัวเร่งปฏิกิริยาทังสเตนไดรอกไซด์ โดยอาศัยหลักการของเซลล์เคมีไฟฟ้า ซึ่งประกอบด้วย 3 ขั้วไฟฟ้า คือ ขั้วไฟฟ้าใช้งาน ขั้วไฟฟ้าร่วม และขั้วไฟฟ้าอ้างอิง (Reference electrode) โดยใช้แผ่นทังสเตนไดรอกไซด์ขนาด 4 ตารางเซนติเมตรต่อเป็นขั้วไฟฟ้าใช้งาน แพลทินัมต่อเป็นขั้วไฟฟ้าร่วม และซิลเวอร์-ซิลเวอร์คลอไรด์ (Ag|AgCl, Saturated sodium chloride) เป็นขั้วไฟฟ้าอ้างอิง จุ่มขั้วไฟฟ้าทั้ง 3 ลงในสารละลายนำไฟฟ้าโซเดียมซัลเฟต (Sodium sulfate, Na_2SO_4) ความเข้มข้น 0.5 โมลาร์ ซึ่งจะถูกกำจัดก๊าซออกซิเจน (Deoxygenated) โดยใช้ก๊าซไนโตรเจนเป่าเป็นเวลาอย่างน้อย 20 นาทีก่อนนำมาใช้งาน และต่อขั้วไฟฟ้าทั้ง 3 เข้ากับเครื่องโพเทนชิโอสแตต (Potentiostat) ยี่ห้อ AUTOLAB PGSTAT30 รุ่น AUT72134 ที่ต่อประสานกับคอมพิวเตอร์ ควบคุมระบบด้วยโปรแกรม NOVA 1.5 ซึ่งกำหนดให้เพิ่มค่าความต่างศักย์อย่างช้าๆ ที่ 5 มิลลิโวลต์ต่อวินาที โดยแหล่งกำเนิดแสงที่ใช้อยู่

ในช่วงวิสิเบิล (ยี่ห้อ PHILIPS Halogen lamp 12 โวลต์ ขนาด 50 วัตต์) ซึ่งอยู่ห่างจากตัวเร่งปฏิกิริยา ทั้งสแตนไดรออกไซด์ประมาณ 5 เซนติเมตร แสดงลักษณะการทดลองดังรูปที่ 3.4



รูปที่ 3.4 ลักษณะการทดลองการตอบสนองปฏิกิริยาไฟฟ้าเคมีแสง

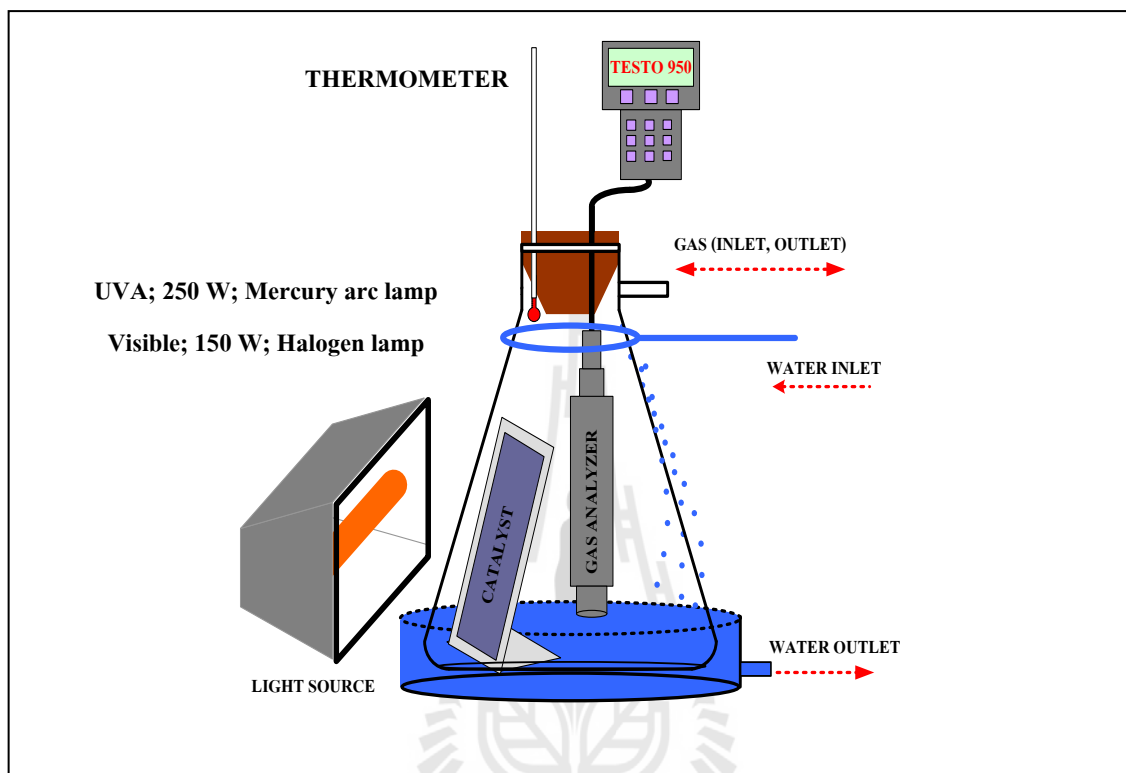
3.5 การศึกษาปฏิกิริยาโฟโตคะตะไลซิส

ศึกษาปฏิกิริยาโฟโตคะตะไลซิส เพื่อการกำจัดก๊าซคาร์บอนมอนอกไซด์ โดยใช้ทั้งสแตนไดรออกไซด์ที่ได้จากการสังเคราะห์ในหัวข้อ 3.3 เป็นตัวเร่งปฏิกิริยา

3.5.1 ชุดการทดลองโฟโตคะตะไลซิส

ชุดการทดลองโฟโตคะตะไลซิสถูกออกแบบให้เป็นกระบวนการแบบเบตซ์ซ์ในทุกชุด การทดลองแสดงดังรูปที่ 3.5 โดยทำการทดลองในโหลกรอง (Suction flask) ปริมาตร 2 ลิตร ที่เป็นระบบปิด โดยใช้จุกยางปิดสนิทที่ด้านบน ด้านข้างมีช่องสำหรับจ่ายก๊าซคาร์บอนมอนอกไซด์เข้าและปล่อยออกจากระบบ ภายในโหลกรองมีโพรบวิเคราะห์ก๊าซ (Testo 950) เพื่อใช้ติดตามวัดค่าความเข้มข้นของก๊าซคาร์บอนมอนอกไซด์ และมีตัวเร่งปฏิกิริยาทั้งสแตนไดรออกไซด์ขนาด 20 ตารางเซนติเมตร (ทั้งสแตนไดรออกไซด์จำนวน 5 แผ่น แผ่นละ 4 ตารางเซนติเมตร) อยู่ห่างจากผนังโหลกรอง 5 เซนติเมตร บริเวณโดยรอบด้านบน และด้านล่างของโหลกรองใช้น้ำประปาหล่อ เพื่อควบคุมอุณหภูมิของชุดทดลอง และป้องกันการเกิดความร้อนสะสมที่เกิดจากการฉายแสงไฟ โดยมีเทอร์โมมิเตอร์วัดอุณหภูมิอยู่ภายในระบบ ใช้แหล่งกำเนิดแสงยูวีเอ (Mercury lamp ขนาด 250 วัตต์)

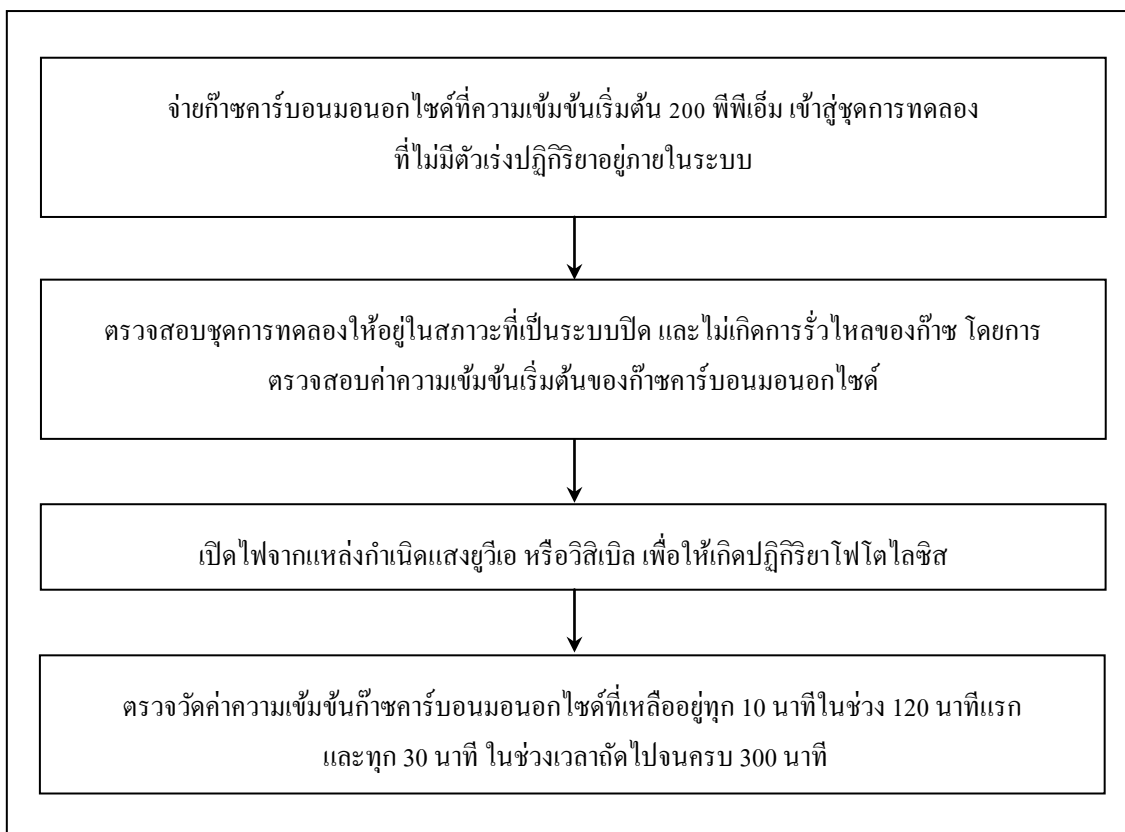
ที่ความยาวคลื่น 365 นาโนเมตร หรือแสงวิลิเบ็ด (Halogen lamp ขนาด 150 วัตต์) ที่ความยาวคลื่นมากกว่า 400 นาโนเมตร กำหนดระยะห่างระหว่างแหล่งกำเนิดแสงกับผนังของโหลกรอง 15 เซนติเมตร



รูปที่ 3.5 ชุดการทดลองโฟโตคะตะไลซิส

3.5.2 วิธีการศึกษาปฏิกิริยาโฟโตไลซิสในการบำบัดก๊าซคาร์บอนมอนอกไซด์

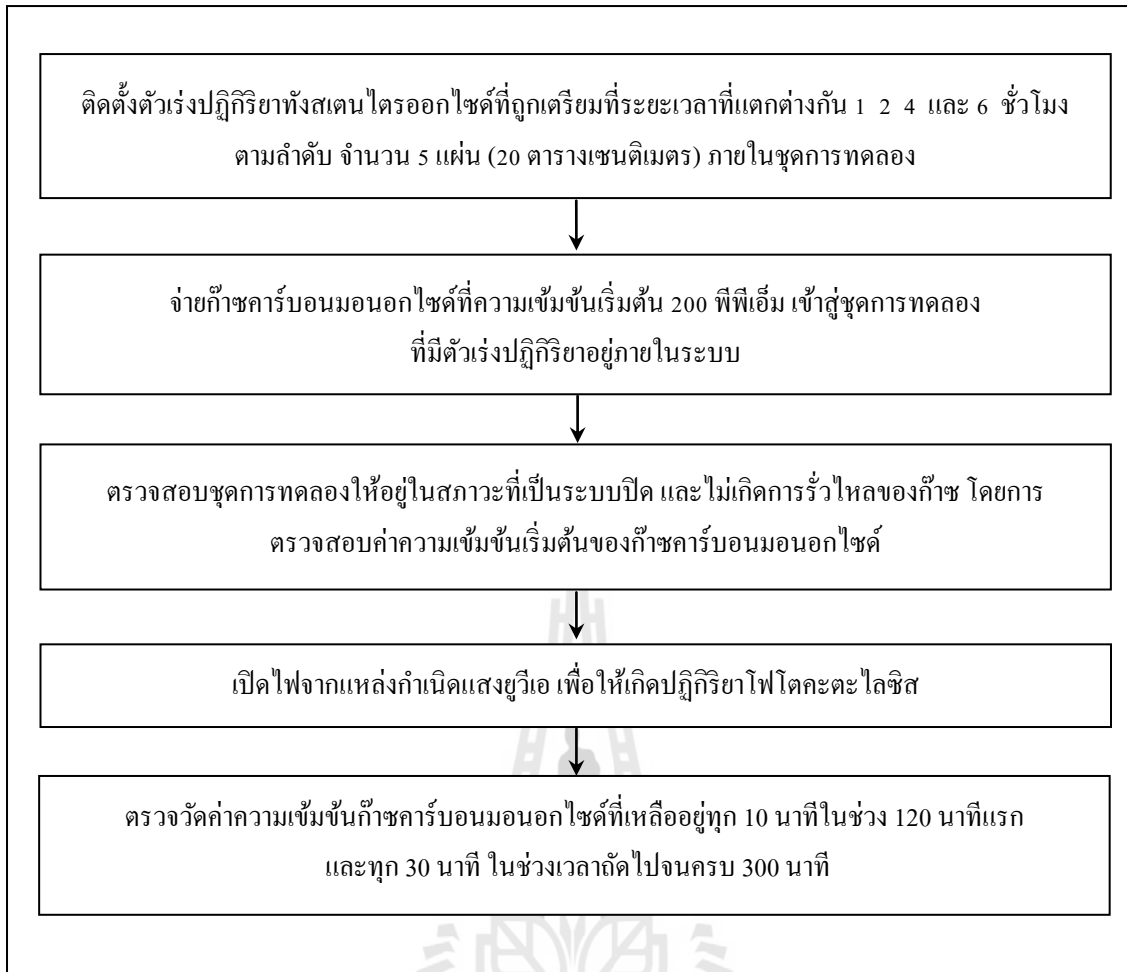
การทดลองชุดควบคุมจะอาศัยหลักการของปฏิกิริยาโฟโตไลซิส โดยการฉายแสงไฟเพียงอย่างเดียวเท่านั้น โดยไม่มีตัวเร่งปฏิกิริยาอยู่ภายในระบบชุดการทดลอง เพื่อดูประสิทธิภาพของแหล่งกำเนิดแสงยูวีเอ (Mercury lamp ขนาด 250 วัตต์) ความยาวคลื่น 365 นาโนเมตร หรือแสงวิลิเบ็ด (Halogen lamp ขนาด 150 วัตต์) ที่มีความยาวคลื่นมากกว่า 400 นาโนเมตร ในการย่อยสลายก๊าซคาร์บอนมอนอกไซด์ที่ความเข้มข้นเริ่มต้น 200 พีพีเอ็ม แสดงขั้นตอนการทดลองดังรูปที่ 3.6 โดยจะทำการทดลองซ้ำอย่างละ 2 ชั่วโมงในทุกสภาวะการศึกษา



รูปที่ 3.6 ขั้นตอนการศึกษาปฏิกิริยาโฟโตไลซิสในการบำบัดกําชคาร์บอนมอนอกไซด์

3.5.3 วิธีการศึกษาผลของระยะเวลาในการสังเคราะห์ทั้งสแตนไดรออกไซด์ที่มีต่อการบำบัด กําชคาร์บอนมอนอกไซด์ด้วยปฏิกิริยาโฟโตคะตะไลซิส

รูปที่ 3.7 แสดงขั้นตอนวิธีการศึกษาผลของระยะเวลาที่ใช้ในการสังเคราะห์ทั้งสแตนไดรออกไซด์ที่มีต่อปฏิกิริยาโฟโตคะตะไลซิส เพื่อใช้ในการบำบัดกําชคาร์บอนมอนอกไซด์ที่ค่าความเข้มข้นเริ่มต้น 200 พีพีเอ็ม ภายในชุดการทดลองจะติดตั้งตัวเร่งปฏิกิริยาทั้งสแตนไดรออกไซด์ที่ถูกรีดที่ระยะเวลาที่แตกต่างกันคือ 1 2 4 และ 6 ชั่วโมงตามลำดับ ขนาดพื้นที่ 20 ตารางเซนติเมตร (ทั้งสแตนไดรออกไซด์จำนวน 5 แผ่น แผ่นละ 4 ตารางเซนติเมตร) โดยใช้แหล่งกำเนิดแสงยูวีเอ (Mercury lamp ขนาด 250 วัตต์) ความยาวคลื่น 365 นาโนเมตร เพื่อประเมินประสิทธิภาพของกระบวนการโฟโตคะตะไลซิสในการบำบัดกําชคาร์บอนมอนอกไซด์ แสดงสภาวะที่ใช้ในการศึกษาดังตารางที่ 3.2 โดยจะทำการทดลองซ้ำอย่างละ 2 ซ้ำในทุกสภาวะการศึกษา



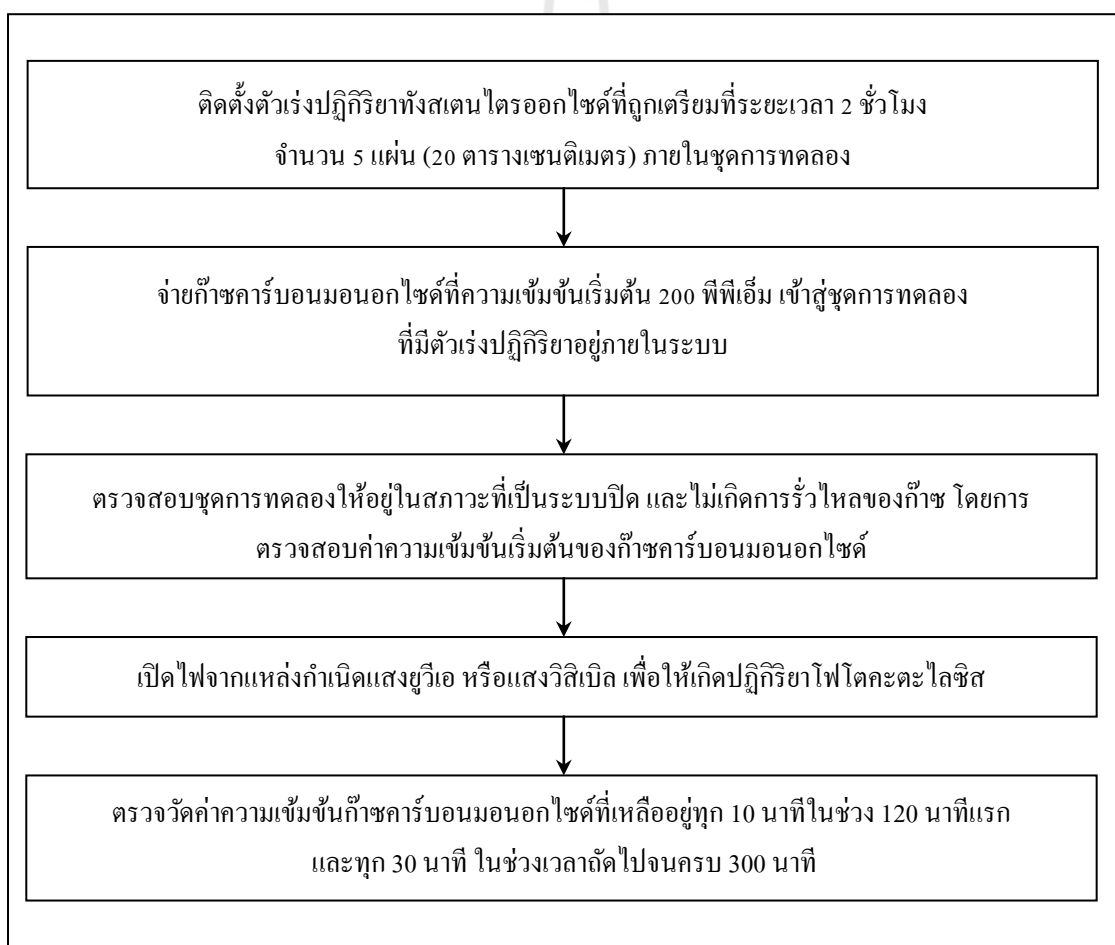
รูปที่ 3.7 ขั้นตอนการศึกษาผลของระยะเวลาในการสังเคราะห์ทั้งสแตนไดรออกไซด์ที่มีต่อการบำบัดก๊าซคาร์บอนมอนอกไซด์ด้วยปฏิกิริยาโฟโตคะตะไลซิส

ตารางที่ 3.2 สถานะการศึกษาผลของระยะเวลาในการสังเคราะห์ทั้งสแตนไดรออกไซด์ที่มีต่อการบำบัดก๊าซคาร์บอนมอนอกไซด์ด้วยปฏิกิริยาโฟโตคะตะไลซิส

ลำดับที่	ความเข้มข้นเริ่มต้นมลพิษ	แหล่งกำเนิดแสง	ระยะเวลาในการเตรียมตัวเร่งปฏิกิริยา (ชั่วโมง)
1	ก๊าซคาร์บอนมอนอกไซด์ 200 พีพีเอ็ม	ยูวีเอ	1
2			2
3			4
4			6

3.5.4 วิธีการศึกษาผลของแหล่งกำเนิดแสงที่มีต่อการบำบัดก๊าซคาร์บอนมอนอกไซด์ด้วยปฏิกิริยาโฟโตคะตะไลซิส

รูปที่ 3.8 แสดงขั้นตอนวิธีการศึกษาผลของแหล่งกำเนิดแสงที่มีต่อปฏิกิริยาโฟโตคะตะไลซิส เพื่อใช้ในการบำบัดก๊าซคาร์บอนมอนอกไซด์ที่ค่าความเข้มข้นเริ่มต้น 200 พีพีเอ็ม ภายในชุดการทดลองจะติดตั้งตัวเร่งปฏิกิริยาทั้งสแตนไดรออกไซด์ที่ถูกเตรียมที่ระยะเวลา 2 ชั่วโมง ขนาดพื้นที่ 20 ตารางเซนติเมตร (ทั้งสแตนไดรออกไซด์จำนวน 5 แผ่น แผ่นละ 4 ตารางเซนติเมตร) โดยแปรเปลี่ยนแหล่งกำเนิดแสงที่แตกต่างกัน 2 ชนิดคือ แสงยูวีเอ (Mercury lamp ขนาด 250 วัตต์) ความยาวคลื่น 365 นาโนเมตร และแสงฮาโลเจน (Halogen lamp ขนาด 150 วัตต์) ที่มีความยาวคลื่นมากกว่า 400 นาโนเมตร เพื่อประเมินประสิทธิภาพของกระบวนการโฟโตคะตะไลซิสในการบำบัดก๊าซคาร์บอนมอนอกไซด์ แสดงสถานะที่ใช้ในการศึกษาดังตารางที่ 3.3 โดยจะทำการทดลองซ้ำอย่างละ 2 ครั้งในทุกสถานะการศึกษา



รูปที่ 3.8 ขั้นตอนวิธีการศึกษาผลของแหล่งกำเนิดแสงที่มีต่อการบำบัดก๊าซคาร์บอนมอนอกไซด์ด้วยปฏิกิริยาโฟโตคะตะไลซิส

ตารางที่ 3.3 สภาวะการศึกษาผลของแหล่งกำเนิดแสงที่มีต่อการบำบัดก๊าซคาร์บอนมอนอกไซด์ด้วยปฏิกิริยาโฟโตคะตะไลซิส

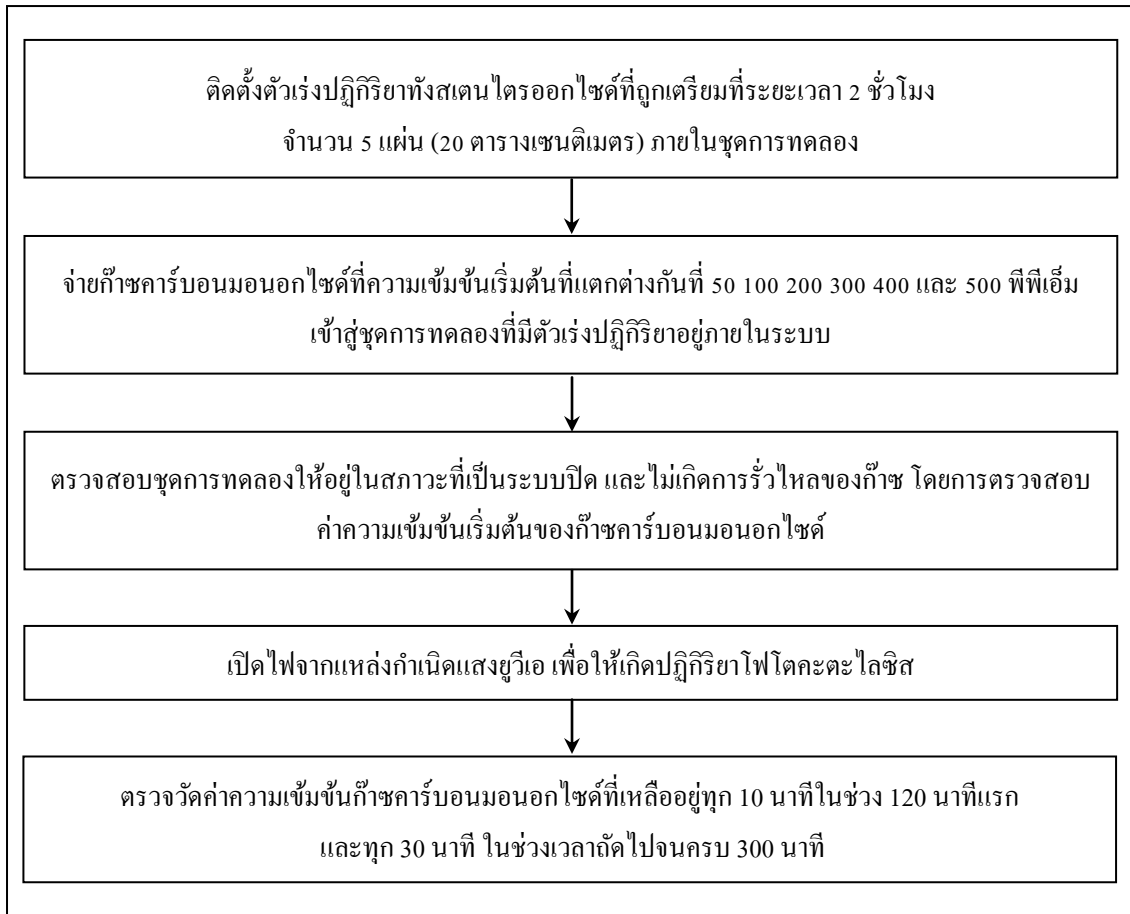
ลำดับที่	ความเข้มข้นเริ่มต้นมลพิษ	ระยะเวลาในการเตรียมตัวเร่งปฏิกิริยา	แหล่งกำเนิดแสง
1	ก๊าซคาร์บอนมอนอกไซด์	2 ชั่วโมง	ยูวีเอ
2	200 พีพีเอ็ม		วิสิเบิล

3.5.5 วิธีการศึกษาผลของความเข้มข้นเริ่มต้นของก๊าซคาร์บอนมอนอกไซด์ที่มีต่อประสิทธิภาพการบำบัดด้วยปฏิกิริยาโฟโตคะตะไลซิส

รูปที่ 3.9 แสดงขั้นตอนวิธีการศึกษาผลของความเข้มข้นเริ่มต้นของก๊าซคาร์บอนมอนอกไซด์ที่มีต่อประสิทธิภาพการบำบัดด้วยปฏิกิริยาโฟโตคะตะไลซิส โดยแปรเปลี่ยนค่าความเข้มข้นเริ่มต้นที่ 50 100 200 300 400 และ 500 พีพีเอ็ม ภายในชุดการทดลองจะติดตั้งตัวเร่งปฏิกิริยาทั้งสแตนไดรออกไซด์ที่ถูกเตรียมที่ระยะเวลา 2 ชั่วโมง ขนาดพื้นที่ 20 ตารางเซนติเมตร (ทั้งสแตนไดรออกไซด์จำนวน 5 แผ่น แผ่นละ 4 ตารางเซนติเมตร) โดยใช้แหล่งกำเนิดชนิด ยูวีเอ (Mercury lamp ขนาด 250 วัตต์) ความยาวคลื่น 365 นาโนเมตร เพื่อประเมินประสิทธิภาพของกระบวนการโฟโตคะตะไลซิสในการบำบัดก๊าซคาร์บอนมอนอกไซด์ สภาวะที่ใช้ในการศึกษาแสดงดังตารางที่ 3.4 โดยจะทำการทดลองซ้ำอย่างละ 2 ซ้ำในทุกสภาวะการศึกษา แล้วนำผลการทดลองที่ได้ไปวิเคราะห์ค่าจลนพลศาสตร์ด้วยสมการแลงเมียร์-อินเซลวูด

3.5.6 วิธีการศึกษาผลของจำนวนรอบที่ใช้ซ้ำของทั้งสแตนไดรออกไซด์ต่อประสิทธิภาพการบำบัดก๊าซคาร์บอนมอนอกไซด์ด้วยปฏิกิริยาโฟโตคะตะไลซิส

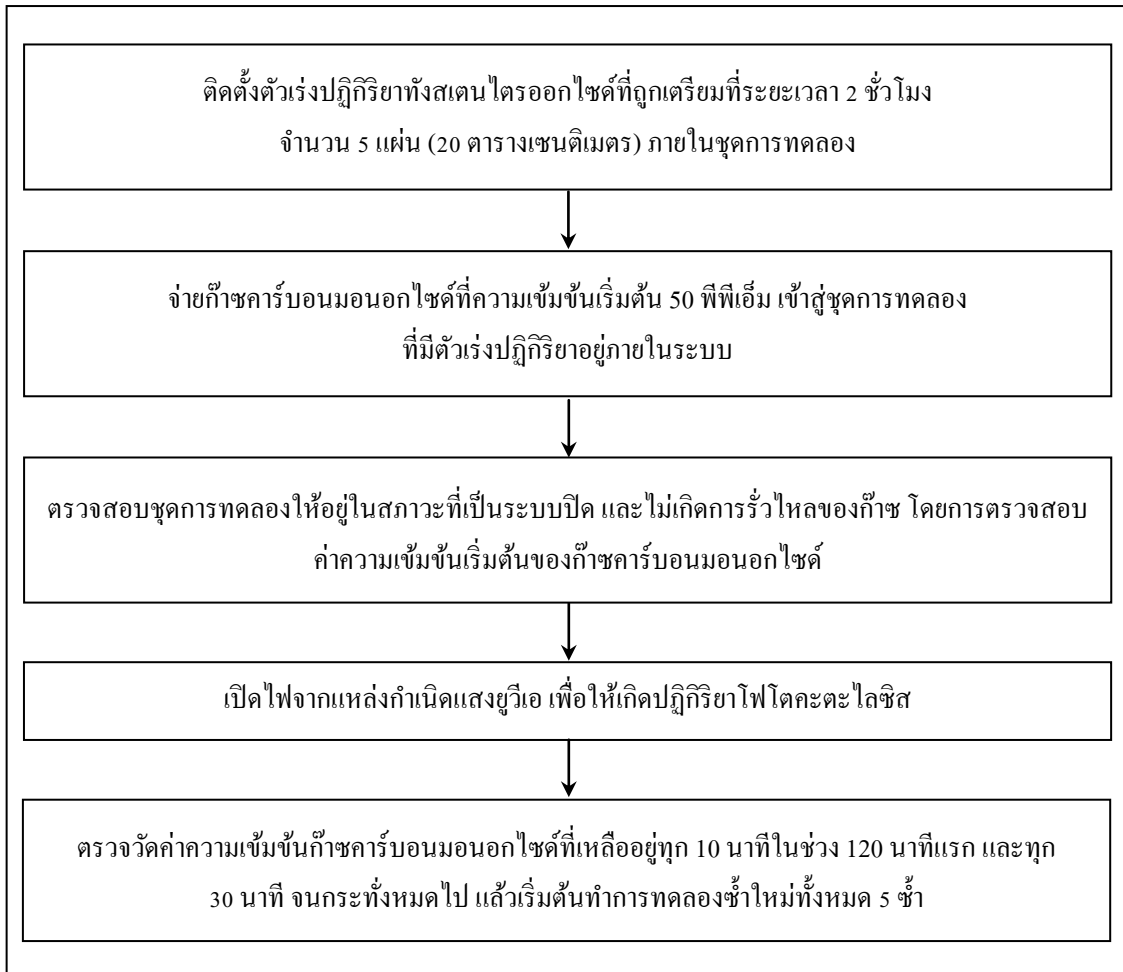
รูปที่ 3.10 แสดงขั้นตอนวิธีการศึกษาผลกระทบจากปฏิกิริยาโฟโตคะตะไลซิสที่มีต่อตัวเร่งปฏิกิริยาทั้งสแตนไดรออกไซด์ เมื่อใช้ในการบำบัดก๊าซคาร์บอนมอนอกไซด์ที่ค่าความเข้มข้นเริ่มต้น 50 พีพีเอ็ม ภายในชุดการทดลองจะติดตั้งตัวเร่งปฏิกิริยาทั้งสแตนไดรออกไซด์ที่ถูกเตรียมที่ระยะเวลา 2 ชั่วโมง ขนาดพื้นที่ 20 ตารางเซนติเมตร (ทั้งสแตนไดรออกไซด์จำนวน 5 แผ่น แผ่นละ 4 ตารางเซนติเมตร) โดยใช้แหล่งกำเนิดชนิดยูวีเอ (Mercury lamp ขนาด 250 วัตต์) ความยาวคลื่น 365 นาโนเมตร เพื่อประเมินคุณภาพของตัวเร่งปฏิกิริยาทั้งสแตนไดรออกไซด์ภายในกระบวนการโฟโตคะตะไลซิส โดยเปรียบเทียบระยะเวลาที่ใช้ในการบำบัดก๊าซคาร์บอนมอนอกไซด์จนกระทั่งหมดไป แล้วเริ่มทำการทดลองซ้ำใหม่ทั้งหมด 5 ซ้ำ โดยใช้แผ่นทั้งสแตนแผ่นเดิมตลอดทั้งการทดลอง



รูปที่ 3.9 ขั้นตอนการศึกษาผลของความเข้มข้นเริ่มต้นของก๊าซคาร์บอนมอนอกไซด์ที่มีต่อประสิทธิภาพการบำบัดด้วยปฏิกิริยาโฟโตคะตะไลซิส

ตารางที่ 3.4 สภาวะการศึกษาผลของความเข้มข้นเริ่มต้นของก๊าซคาร์บอนมอนอกไซด์ที่มีต่อประสิทธิภาพการบำบัดด้วยปฏิกิริยาโฟโตคะตะไลซิส

ลำดับที่	แหล่งกำเนิดแสง	ตัวเร่งปฏิกิริยา	ความเข้มข้นเริ่มต้น (พีพีเอ็ม)
1	ยูวีเอ	ทั้งสแตนด์ไดร้ออกไซด์	50
2			100
3			200
4			300
5			400
6			500



รูปที่ 3.10 ขั้นตอนวิธีการศึกษาผลของจำนวนรอบที่ใช้ซ้ำของตัวเร่งปฏิกิริยาทั้งสแตนไดรออกไซด์ต่อประสิทธิภาพการบำบัดก๊าซคาร์บอนมอนอกไซด์ด้วยปฏิกิริยาโฟโตคะตะไลซิส

3.6 วิธีการวิเคราะห์ตัวอย่าง

วิธีวิเคราะห์ลักษณะสมบัติของของทั้งสแตนไดรออกไซด์ที่ผ่านการสังเคราะห์ด้วยวิธีแอนโนไดเซชัน และการตรวจวัดมลพิษอากาศ แสดงดังตารางที่ 3.5

ตารางที่ 3.5 วิธีการวิเคราะห์ลักษณะสมบัติของทั้งสแตนไดรออกไซด์ ที่ผ่านการสังเคราะห์ด้วยวิธี
แอนโนไดเซชัน และการตรวจวัดมลพิษอากาศ

วิธีการวิเคราะห์	ลักษณะสมบัติ	สถานที่
Scanning electron microscope (SEM)	ลักษณะพื้นผิว	ศูนย์เทคโนโลยีโลหะและวัสดุแห่งชาติ (MTEC)
Potentiostat (AUTOLAB PGSTAT30, serial no.: AUT72134)	วัดอิเล็กตรอนที่เกิดขึ้นในรูปของกระแสไฟฟ้าที่เกิดจากการฉายแสงไปยังทั้งสแตนไดรออกไซด์	มหาวิทยาลัยเทคโนโลยีพระจอมเกล้าธนบุรี
X-ray diffractometer (XRD)	วิเคราะห์หาลักษณะประกอบของธาตุ	ศูนย์เครื่องมือ 1 มหาวิทยาลัยเทคโนโลยีสุรนารี
Gas analyzer (Testo 950)	ก๊าซคาร์บอนมอนอกไซด์	ห้องปฏิบัติการวิศวกรรมสิ่งแวดล้อม ศูนย์เครื่องมือ 5 มหาวิทยาลัยเทคโนโลยีสุรนารี



บทที่ 4

ผลการวิเคราะห์ข้อมูล

กระบวนการโฟโตคะตะไลซิสประกอบด้วยส่วนประกอบหลักสำคัญ 2 ส่วน ได้แก่ ตัวเร่งปฏิกิริยา และพลังงานแสง โดยการศึกษาในครั้งนี้แบ่งการทดลองออกเป็น 2 ขั้นตอนคือ (1) การสังเคราะห์ทั้งสแตนไดรออกไซด์เป็นตัวเร่งปฏิกิริยา และ (2) การศึกษาปฏิกิริยาโฟโตคะตะไลซิสเพื่อการกำจัดก๊าซคาร์บอนมอนอกไซด์โดยใช้ทั้งสแตนไดรออกไซด์เป็นตัวเร่งปฏิกิริยา โดยในบทนี้จะนำเสนอผลการศึกษการสังเคราะห์ทั้งสแตนไดรออกไซด์ด้วยวิธีแอนโนไดเซชัน เพื่อวิเคราะห์ลักษณะพื้นผิวออกไซด์ที่เกิดขึ้น แล้วนำมาใช้เป็นตัวเร่งปฏิกิริยาในกระบวนการโฟโตคะตะไลซิส โดยพิจารณาถึงประสิทธิภาพการกำจัดก๊าซคาร์บอนมอนอกไซด์ที่เกิดจากผลกระทบของปัจจัยต่างๆ ได้แก่ ตัวเร่งปฏิกิริยาที่ถูกเตรียมที่ระยะเวลาที่แตกต่างกัน (1 2 4 และ 6 ชั่วโมง) แหล่งกำเนิดแสง (ยูวีเอ และ วิสิเบิล) และค่าความเข้มข้นเริ่มต้นของก๊าซคาร์บอนมอนอกไซด์ (50 100 200 300 400 และ 500 พีพีเอ็ม) เป็นต้น รวมทั้งศึกษาค่าจลนพลศาสตร์โดยใช้สมการแลงเมียร์-ฮินเชลวูดในการอธิบายการย่อยสลายก๊าซคาร์บอนมอนอกไซด์เพื่อนำมาประยุกต์ใช้เป็นข้อมูลพื้นฐานในการพิจารณาเป็นแนวทางเลือกใช้ในการบำบัดมลพิษอากาศต่อไป

4.1 การสังเคราะห์ทั้งสแตนไดรออกไซด์ด้วยวิธีแอนโนไดเซชัน

4.1.1 การวิเคราะห์ลักษณะพื้นผิวออกไซด์

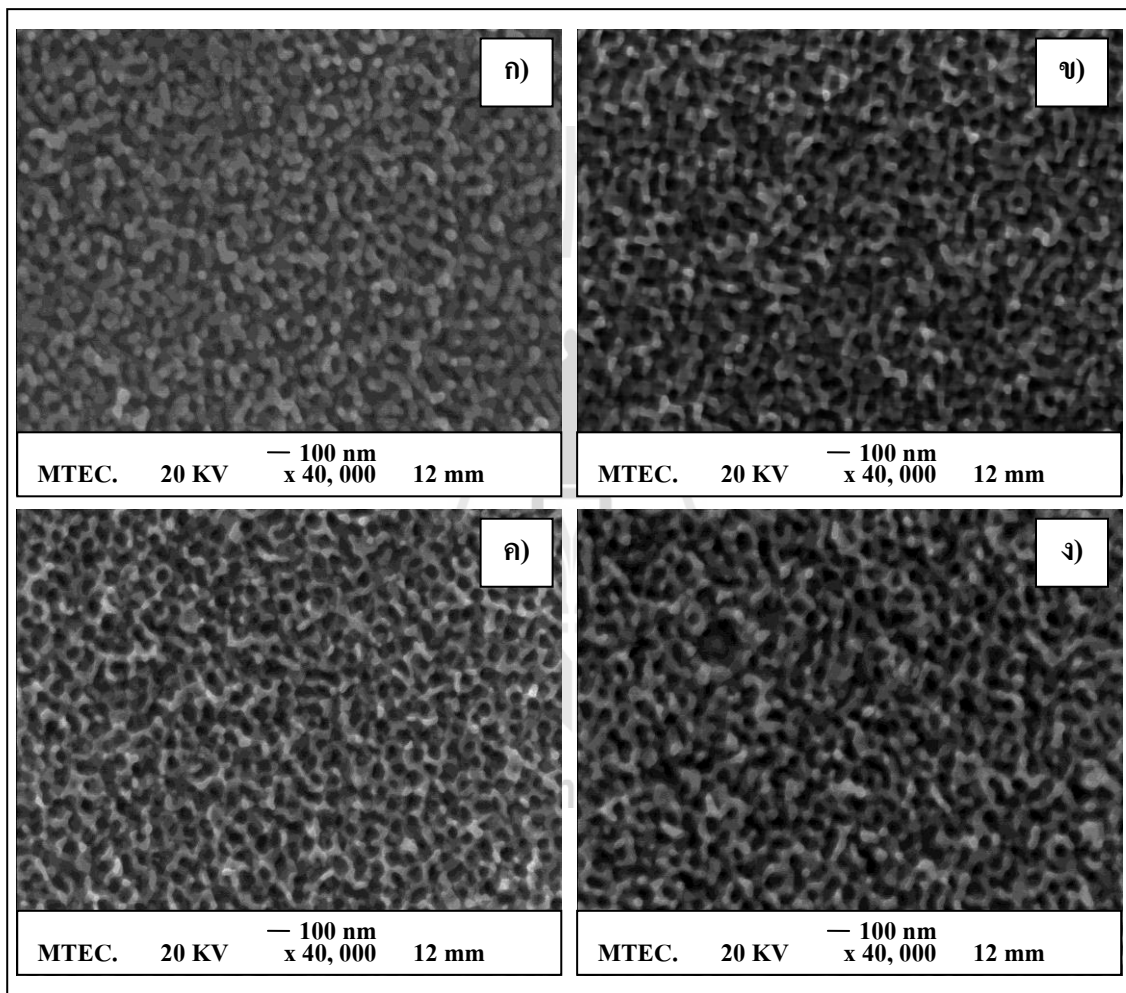
รูปที่ 4.1 ก-ง แสดงภาพถ่ายจากกล้องจุลทรรศน์อิเล็กตรอนแบบส่องกราด ที่ใช้กำลังขยาย 40,000 เท่า เพื่อดูลักษณะออกไซด์บนพื้นผิวทั้งสแตนที่ผ่านการสังเคราะห์ด้วยวิธีแอนโนไดเซชันในสารละลายโซเดียมฟลูออไรด์ความเข้มข้น 0.15 โมลาร์ โดยกำหนดค่าความต่างศักย์ไฟฟ้าที่ 45 โวลต์ และแปรเปลี่ยนระยะเวลาการแอนโนไดเซชันที่แตกต่างกันที่ 1 2 4 และ 6 ชั่วโมง ตามลำดับ พบว่าในทุกสภาวะการทดลองก่อให้เกิดออกไซด์บนพื้นผิวทั้งสแตนที่มีลักษณะเป็นโครงสร้างพรุณขนาดนาโนเมตร รูปที่ 4.1 ก แสดงลักษณะออกไซด์ที่เกิดขึ้นจากระยะเวลาการ แอนโนไดเซชัน 1 ชั่วโมง จะสังเกตเห็นว่าออกไซด์ที่เกิดขึ้นยังมีลักษณะ โครงสร้างพรุณที่ยังไม่เต็มรูปแบบ และยังมีการกระจายตัวแบบเบาบาง ในขณะที่รูปที่ 4.1 ข-ง แสดงลักษณะออกไซด์ที่เกิดจากระยะเวลาในการแอนโนไดเซชันที่ 2 4 และ 6 ชั่วโมง ตามลำดับ พบว่าเกิดเป็นออกไซด์ที่มีลักษณะ โครงสร้างพรุณขนาดนาโนเมตรกระจายตัวอย่างสม่ำเสมอทั่วทั้งแผ่น มีขนาดของความพรุณประมาณ 50-100 นาโนเมตร ซึ่งสอดคล้องกับการศึกษาของ Tsuchiya *et al.* (2005) โดยใช้วิธีแอนโนไดเซชันในการสังเคราะห์

ทั้งสแตนไดรออกไซด์ ผ่านแผ่นทั้งสแตนบริสุทธิในสารละลายโซเดียมฟลูออไรด์ พบว่าออกไซด์ที่เกิดขึ้นบนพื้นผิวมีลักษณะเป็นโครงสร้างพรุนขนาดนาโนเมตรมีขนาดของความพรุนประมาณ 100 นาโนเมตร ต่อมา *Guo et al. (2007)* ได้ศึกษาโดยใช้วิธีแอนโนไดเซชันในการสังเคราะห์ทั้งสแตนไดรออกไซด์เช่นกัน ในสารละลายโซเดียมฟลูออไรด์ความเข้มข้น 0.2 % และไฮโดรฟลูออริกความเข้มข้น 0.3 % ผสมกันในอัตราส่วน 1:1 ที่ค่าความต่างศักย์ 60 โวลต์เป็นระยะเวลา 60 นาที จะก่อให้เกิดความพรุนที่มีขนาดประมาณ 70 นาโนเมตร นอกจากนี้ *Hahn et al. (2007)* ได้ศึกษาวิธีแอนโนไดเซชันในสารละลายที่ปราศจากฟลูออไรด์ โดยใช้ไฮเปอร์คลอริก และโซเดียมเปอร์คลอเรตแทน พบว่าออกไซด์ที่เกิดขึ้นบนพื้นผิวมีลักษณะเป็นรูขนาดประมาณ 30-50 นาโนเมตรด้วยเช่นกัน ซึ่งการเกิดความพรุนจำนวนมากจะส่งผลให้มีพื้นที่ผิวออกไซด์เพิ่มมากขึ้นด้วย โดยคาดว่าจะทำให้มีพื้นที่ในการเกิดปฏิกิริยาโฟโตคะตะไลซิสได้มากขึ้น จะสังเกตเห็นว่าเมื่อกำหนดสถานะในการแอนโนไดเซชันให้นานขึ้นจะทำให้พื้นที่ผิวออกไซด์มีลักษณะโครงสร้างพรุนที่ลึกมากขึ้นด้วย ซึ่งสอดคล้องกับงานวิจัยของ *Watcharenwong et al. (2008)* ที่พบว่าระยะเวลาในการแอนโนไดเซชันมีผลต่อลักษณะพื้นผิวออกไซด์ที่เกิดขึ้นบนพื้นผิวหน้าแผ่นทั้งสแตน โดยจะมีความหนาของชั้นออกไซด์เพิ่มขึ้น และเกิดความพรุนที่ลึกมากขึ้นตามระยะเวลาที่ใช้ในการแอนโนไดเซชัน

4.1.2 วิเคราะห์การตอบสนองปฏิกิริยาไฟฟ้าเคมีแสง

ประสิทธิภาพการตอบสนองปฏิกิริยาไฟฟ้าเคมีแสงของตัวเร่งปฏิกิริยา สามารถนำมาใช้เป็นตัวบ่งชี้ถึงคุณภาพของปฏิกิริยาโฟโตคะตะไลซิสได้ในทางอ้อม (*Baek et al., 2003*) จึงเลือกใช้วิธีการวิเคราะห์การตอบสนองปฏิกิริยาไฟฟ้าเคมีแสง เพื่อนำมาใช้ในการอธิบายความสามารถของตัวเร่งปฏิกิริยาทั้งสแตนไดรออกไซด์ในการตอบสนองต่อแหล่งกำเนิดแสง โดยใช้วิธีการวัดอิเล็กตรอนที่เกิดขึ้นในรูปของกระแสไฟฟ้า หลังจากการฉายแสงผ่านตัวเร่งปฏิกิริยาทั้งสแตนไดรออกไซด์ที่ผ่านการสังเคราะห์ด้วยวิธีแอนโนไดเซชันในสารละลายโซเดียมฟลูออไรด์ 0.15 โมลาร์ ที่ความต่างศักย์ 45 โวลต์ โดยเปรียบเทียบระยะเวลาที่เหมาะสมในการทดลองที่ 1 2 4 และ 6 ชั่วโมง ตามลำดับ เพื่อนำมาใช้เป็นตัวแทนในการวัดความสามารถของทั้งสแตนไดรออกไซด์ในการปลดปล่อยอิเล็กตรอน เมื่อได้รับการกระตุ้นจากการฉายแสง โดยเปรียบเทียบค่ากระแสไฟฟ้าที่ค่าความต่างศักย์ 1.2 โวลต์ หลังจากกระตุ้นให้เกิดปฏิกิริยาไฟฟ้าเคมีแสง แสดงดังตารางที่ 4.1 และรูปที่ 4.2 พบว่าที่สภาวะการทดลองแอนโนไดเซชันในสารละลายโซเดียมฟลูออไรด์ความเข้มข้น 0.15 โมลาร์ ที่ความต่างศักย์ 45 โวลต์เป็นเวลา 2 ชั่วโมง มีค่ากระแสไฟฟ้ามากที่สุดเท่ากับ 0.103 มิลลิแอมป์แปรต่อตารางเซนติเมตร ทั้งที่ใช้เวลาในการแอนโนไดเซชันน้อยกว่าที่ 4 และ 6 ชั่วโมง ซึ่งเกิดกระแสไฟฟ้า 0.076 และ 0.065 มิลลิแอมป์แปรต่อตารางเซนติเมตร ตามลำดับ ทั้งที่ก่อให้เกิดออกไซด์บนพื้นผิวที่มีลักษณะพรุนลึกมากกว่าที่ระยะเวลาแอนโนไดเซชัน 2 ชั่วโมง แต่กลับมี

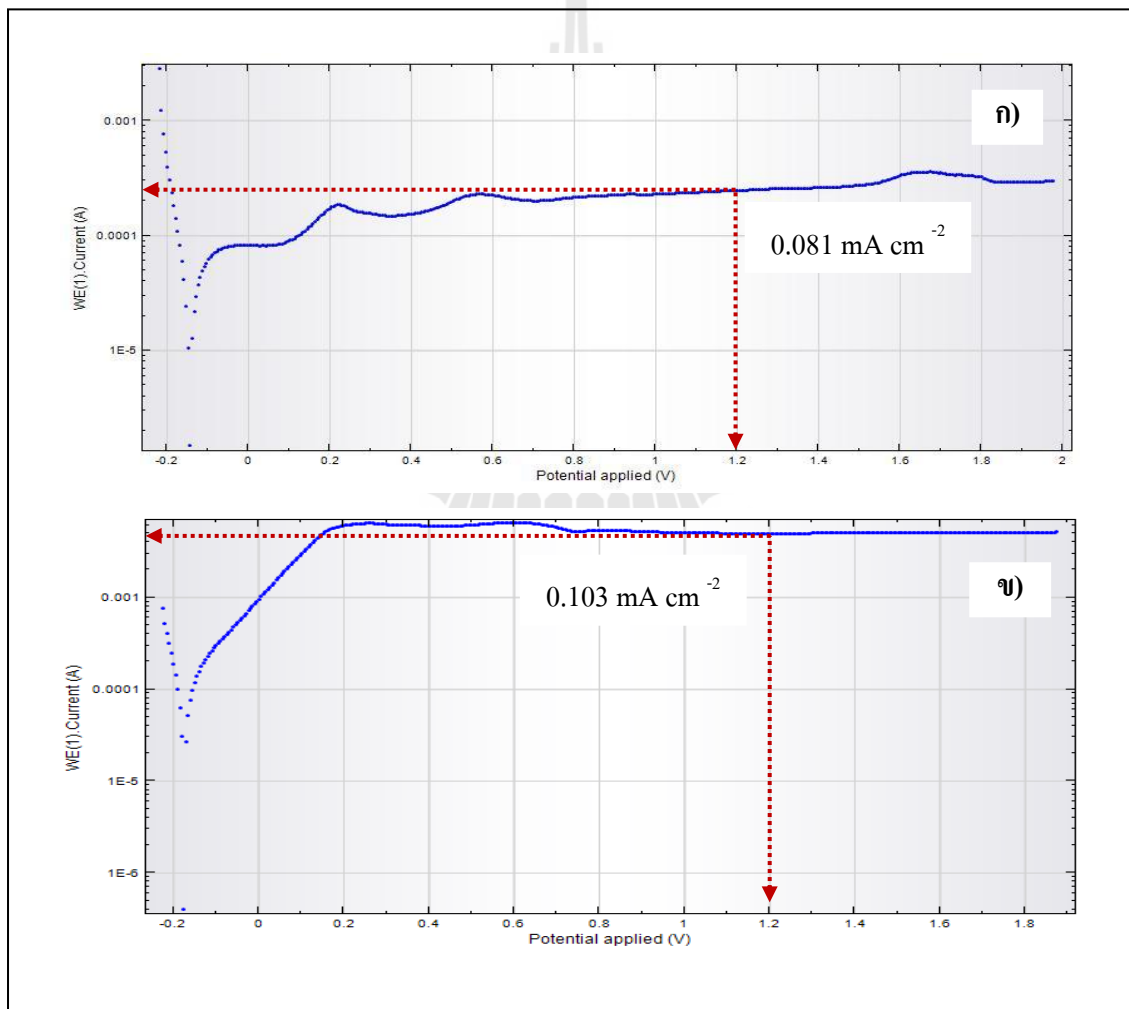
กระแสไฟฟ้ามากที่สุด ซึ่งสอดคล้องกับการศึกษาของ Watcharenwong *et al.* (2008) อธิบายว่าการใช้ระยะเวลาแอนโนไดเซชันเป็นเวลานาน ส่งผลให้ความพรุนที่เกิดขึ้นเรียงตัวกันอย่างไม่เป็นระเบียบ และเกิดเป็นความพรุนที่ซับซ้อนกักร่อนลึกลงไปในตัววัสดุ ซึ่งลักษณะที่เกิดขึ้นดังกล่าวอาจเป็นสาเหตุที่ทำให้พื้นที่ผิวออกไซด์บางส่วนที่อยู่ลึกลงไปด้านในไม่ได้รับการฉายแสง เนื่องจากเกิดการบดบังแสงกันเองของผิวออกไซด์บนแผ่นทั้งสแตนไดรออกไซด์ส่งผลให้ค่ากระแสไฟฟ้าลดน้อยลงเมื่อใช้เวลาในการแอนโนไดเซชันนานขึ้น



รูปที่ 4.1 ภาพถ่าย SEM ของพื้นผิวทั้งสแตนไดรออกไซด์ผ่านการแอนโนไดเซชันในสารละลายโซเดียมฟลูออไรด์ 0.15 โมลาร์ ที่ 45 โวลต์ เป็นเวลา; ก) 1 ข) 2 ค) 4 และ ง) 6 ชั่วโมง

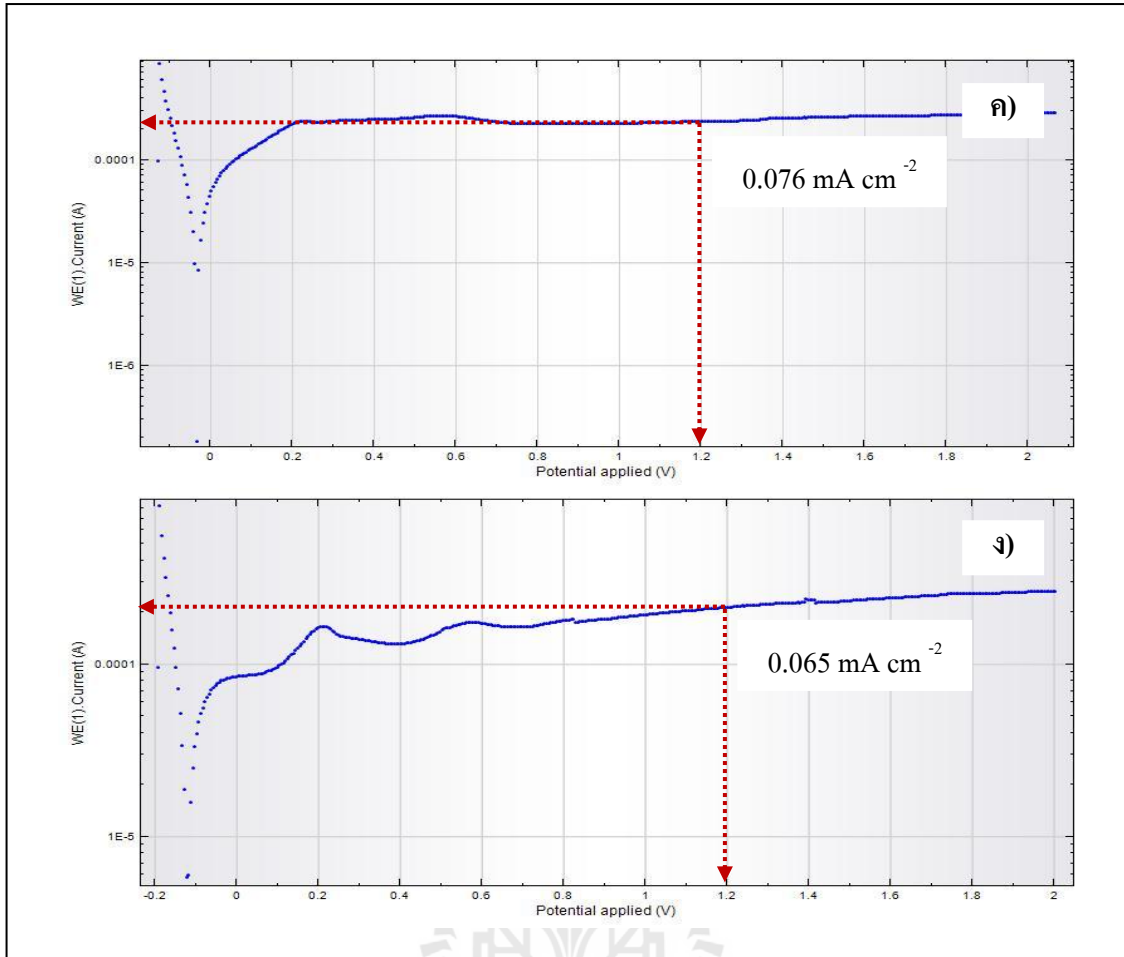
ตารางที่ 4.1 ผลการวิเคราะห์การตอบสนองปฏิกิริยาไฟฟ้าเคมีแสงเพื่อวัดกระแสไฟฟ้าในสารละลาย โซเดียมซัลเฟตความเข้มข้น 0.5 โมลาร์ ที่ 1.2 โวลต์

สารละลาย	ความต่างศักย์, ระยะเวลา	Photocurrent density @ 1.2 V (มิลลิแอมป์แปร์ต่อตารางเซนติเมตร)
โซเดียมฟลูออไรด์ 0.15 โมลาร์	45 โวลต์, 1 ชั่วโมง	0.081
	45 โวลต์, 2 ชั่วโมง	0.103
	45 โวลต์, 4 ชั่วโมง	0.076
	45 โวลต์, 6 ชั่วโมง	0.065



รูปที่ 4.2 ค่า Photocurrent density ที่เกิดจากทั้งสองสแตนไดรออกไซด์ที่ผ่านการเอโนไดเซชันในสารละลาย โซเดียมฟลูออไรด์ความเข้มข้น 0.15 โมลาร์ ที่ 45 โวลต์ เป็นเวลา

ก) 1 ข) 2 ค) 4 และ ง) 6 ชั่วโมง

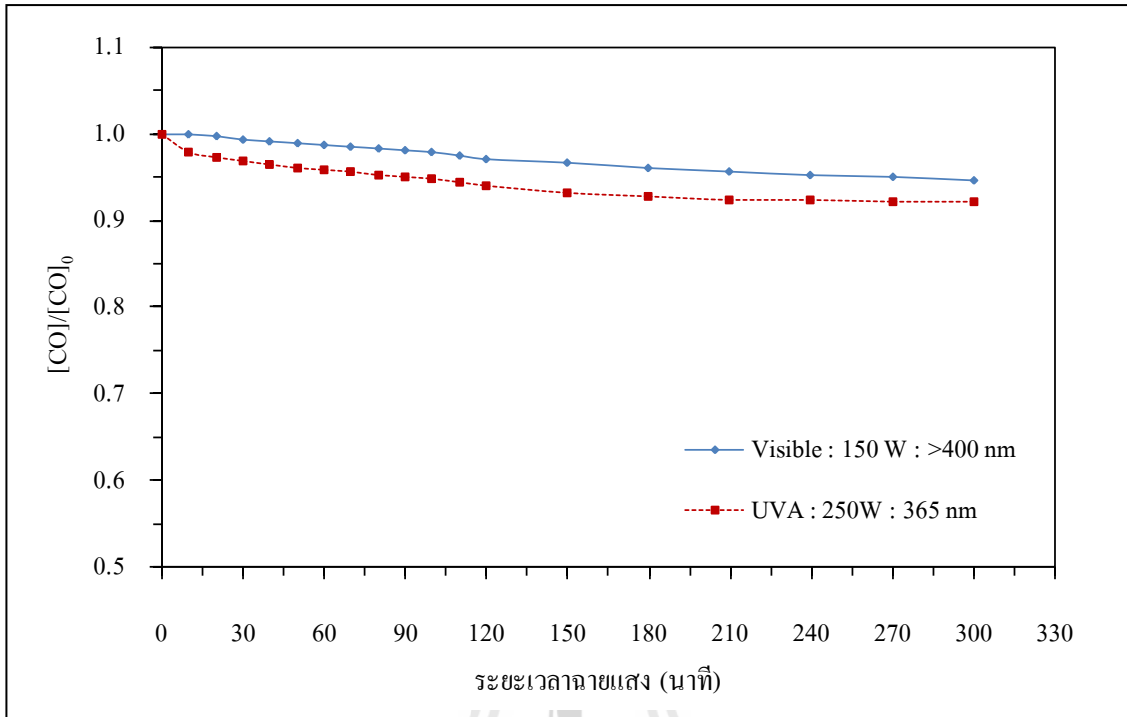


รูปที่ 4.2 ค่า Photocurrent density ที่เกิดจากทั้งสแตนไดรออกไซด์ที่ผ่านการแอนโดเซชันในสารละลายโซเดียมฟลูออไรด์ความเข้มข้น 0.15 โมลาร์ ที่ 45 โวลต์ เป็นเวลา; ก)1, ข) 2, ค) 4, และ ง) 6 ชั่วโมง (ต่อ)

4.2 ปฏิกริยาโฟโตไลซิสเพื่อการบำบัดก๊าซคาร์บอนมอนอกไซด์

ศึกษาปฏิกริยาโฟโตไลซิสเพื่อการบำบัดก๊าซคาร์บอนมอนอกไซด์ ซึ่งใช้เป็นชุดการทดลองควบคุม โดยอาศัยหลักการฉายแสงเพียงอย่างเดียว ไม่มีตัวเร่งปฏิกริยาอยู่ในระบบ และแปรเปลี่ยนแหล่งกำเนิดแสง 2 แหล่ง ได้แก่ ยูวีเอ (Mercury lamp ขนาด 250 วัตต์) ที่ความยาวคลื่น 365 นาโนเมตร หรือแสงวิสิเบิล (Halogen lamp ขนาด 150 วัตต์) ที่ความยาวคลื่นมากกว่า 400 นาโนเมตร กำหนดค่าความเข้มข้นเริ่มต้นของก๊าซคาร์บอนมอนอกไซด์ที่ 200 พีพีเอ็ม โดยทำการทดลองในโหลกรองปริมาตร 2 ลิตร ที่ใช้น้ำหล่อภายนอก เพื่อควบคุมอุณหภูมิของชุดการทดลอง พบว่าที่ระยะเวลาฉายแสง 300 นาที ปฏิกริยาโฟโตไลซิสสามารถย่อยสลายก๊าซคาร์บอนมอนอกไซด์ได้น้อยมาก โดยเมื่อใช้แหล่งกำเนิดแสงยูวีเอจะมีประสิทธิภาพการบำบัดก๊าซคาร์บอนมอนอกไซด์ได้ประมาณ 8% ซึ่งก็ยิ่งมากกว่า เมื่อใช้แสงวิสิเบิลซึ่งจะมีประสิทธิภาพเพียง 5% เท่านั้น แสดงผลการทดลองดังรูปที่

4.3 พบว่าพลังงานจากแหล่งกำเนิดแสงเพียงอย่างเดียว โดยไม่มีตัวเร่งปฏิกิริยาอยู่ภายในระบบจะมีประสิทธิภาพในการย่อยสลายก๊าซคาร์บอนมอนอกไซด์ได้น้อยมาก

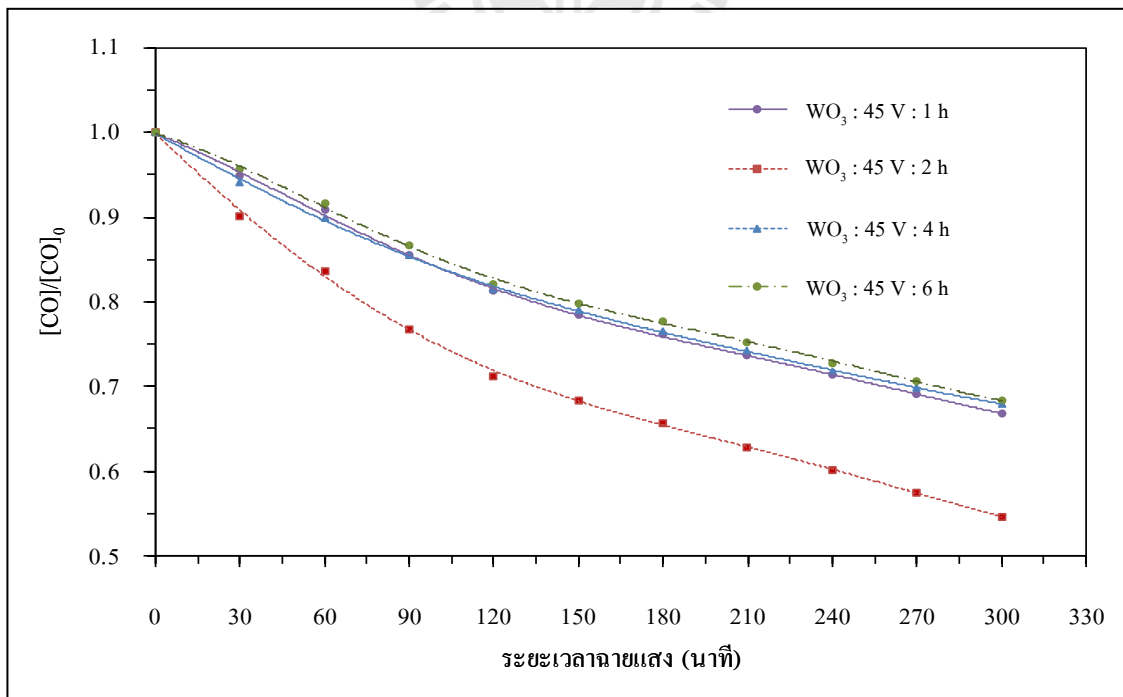
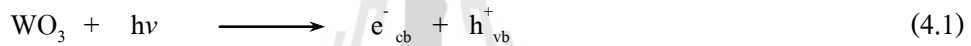


รูปที่ 4.3 ปฏิกิริยาโฟโตไลซิสเพื่อการบำบัดก๊าซคาร์บอนมอนอกไซด์

4.3 การศึกษาผลของระยะเวลาในการสังเคราะห์ทั้งสแตนไดรออกไซด์ที่มีต่อการบำบัดก๊าซคาร์บอนมอนอกไซด์ด้วยปฏิกิริยาโฟโตคะตะไลซิส

จากการศึกษาปฏิกิริยาโฟโตคะตะไลซิสเพื่อการบำบัดก๊าซคาร์บอนมอนอกไซด์ โดยใช้แหล่งกำเนิดแสงยูวีเอ (Mercury lamp ขนาด 250 วัตต์) ที่ความยาวคลื่น 365 นาโนเมตร กำหนดค่าความเข้มข้นเริ่มต้นของก๊าซคาร์บอนมอนอกไซด์ที่ 200 พีพีเอ็ม โดยทำการทดลองในโหลทรงปริมาตร 2 ลิตร ที่ใช้น้ำหล่อภายนอก เพื่อควบคุมอุณหภูมิของชุดการทดลอง และใช้ตัวเร่งปฏิกิริยาทั้งสแตนไดรออกไซด์ที่ผ่านการแอนโดไซเซชันในสารละลายโซเดียมฟลูออไรด์ความเข้มข้น 0.15 โมลาร์ที่ 45 โวลต์เป็นเวลา 1 2 4 และ 6 ชั่วโมง พื้นที่ตัวเร่งปฏิกิริยาเท่ากับ 20 ตารางเซนติเมตร (ทั้งสแตนไดรออกไซด์จำนวน 5 แผ่น แผ่นละ 4 ตารางเซนติเมตร) พบว่าที่ระยะเวลาฉายแสง 300 นาที ปฏิกิริยาโฟโตคะตะไลซิสสามารถย่อยสลายก๊าซคาร์บอนมอนอกไซด์ได้ 33% 45% 32% และ 32% ตามลำดับ แสดงผลการทดลองดังรูปที่ 4.4 โดยระยะเวลาที่เหมาะสมที่สุดในการเตรียมตัวเร่งปฏิกิริยาทั้งสแตนไดรออกไซด์ด้วยวิธีการแอนโดไซเซชันคือ 2 ชั่วโมง เนื่องจากมีประสิทธิภาพในการย่อยสลายก๊าซคาร์บอนมอนอกไซด์ได้มากที่สุดถึง 45% ซึ่งสอดคล้องกับผลการทดลองก่อนหน้านี้ ที่พบว่าระยะเวลาในการแอนโดไซเซชัน 2 ชั่วโมง จะมีกระแสไฟฟ้าที่เกิดจากการศึกษาด้วย

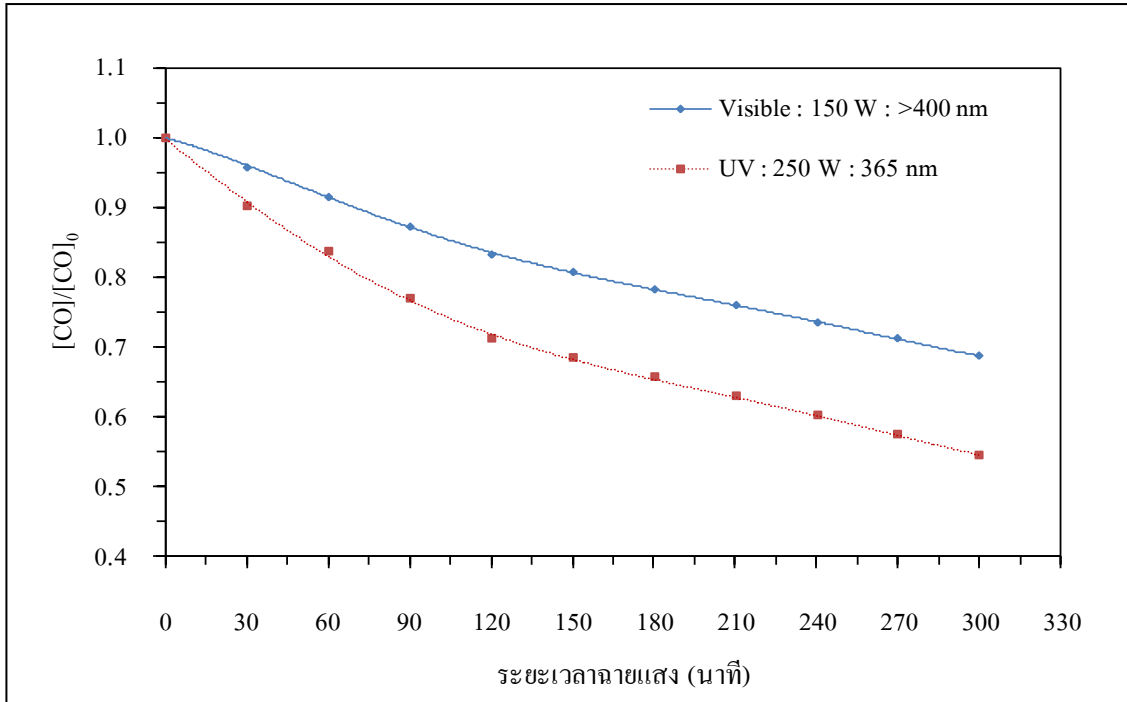
เซลล์เคมีไฟฟ้าดีที่สุดเท่ากับ 0.103 มิลลิแอมป์แปรต่อตารางเซนติเมตร ส่วนที่ระยะเวลาแอนโนไดเซชันที่นานกว่า เช่น 4 และ 6 ชั่วโมง กลับมีประสิทธิภาพการบำบัดก๊าซคาร์บอนมอนอกไซด์ได้ลดน้อยลง ซึ่งอาจเนื่องมาจากออกไซด์ที่เกิดขึ้นบนพื้นผิวทั้งสองด้านมีลักษณะ โครงสร้างพรุนขนาดนาโนเมตรที่มีการเรียงตัวกันอย่างไม่เป็นระเบียบ แต่เกิดเป็นความพรุนที่สลับซับซ้อนบนพื้นผิวทั้งสองด้าน จึงเกิดการบดบังแสงกันเองของพื้นผิวออกไซด์บนแผ่นตัวเร่งปฏิกิริยาทั้งสองด้านไดรอกไซด์ ทำให้มีประสิทธิภาพในการย่อยสลายก๊าซคาร์บอนมอนอกไซด์ในกระบวนการโฟโตคะตะไลซิสได้น้อยกว่าเมื่อใช้ทั้งสองด้านไดรอกไซด์ที่ถูกเตรียมด้วยระยะเวลาแอนโนไดเซชัน 2 ชั่วโมง ซึ่งกลไกการย่อยสลายก๊าซคาร์บอนมอนอกไซด์ด้วยปฏิกิริยาโฟโตคะตะไลซิส คือเมื่อทั้งสองด้านไดรอกไซด์ได้รับพลังงานแสง ($h\nu$) กระตุ้นให้เกิดคู่อิเล็กตรอน และที่ว่างอิเล็กตรอน โดยที่ว่างอิเล็กตรอน (h^+_{vb}) ในวาเลนซ์แบนด์บนอนุภาคทั้งสองด้านไดรอกไซด์ จะทำปฏิกิริยากับไฮดรอกไซด์ไอออน (OH^-) กลายเป็นไฮดรอกซิลเรดิคัล (OH^\cdot) ซึ่งจะสามารรถเข้าทำปฏิกิริยาออกซิเดชันกับโมเลกุลของก๊าซคาร์บอนมอนอกไซด์ให้เปลี่ยนรูปกลายเป็นก๊าซคาร์บอนไดออกไซด์และไฮโดรเจนไอออนดังสมการที่ 4.1-4.3



รูปที่ 4.4 ปฏิกิริยาโฟโตคะตะไลซิสเพื่อการบำบัดก๊าซคาร์บอนมอนอกไซด์โดยใช้ทั้งสองด้านไดรอกไซด์ที่ถูกเตรียมด้วยระยะเวลาที่แตกต่างกัน 1 2 4 และ 6 ชั่วโมง

4.4 การศึกษาผลของแหล่งกำเนิดแสงที่มีต่อการบำบัดก๊าซคาร์บอนมอนอกไซด์ด้วยปฏิกิริยาโฟโตคะตะไลซิส

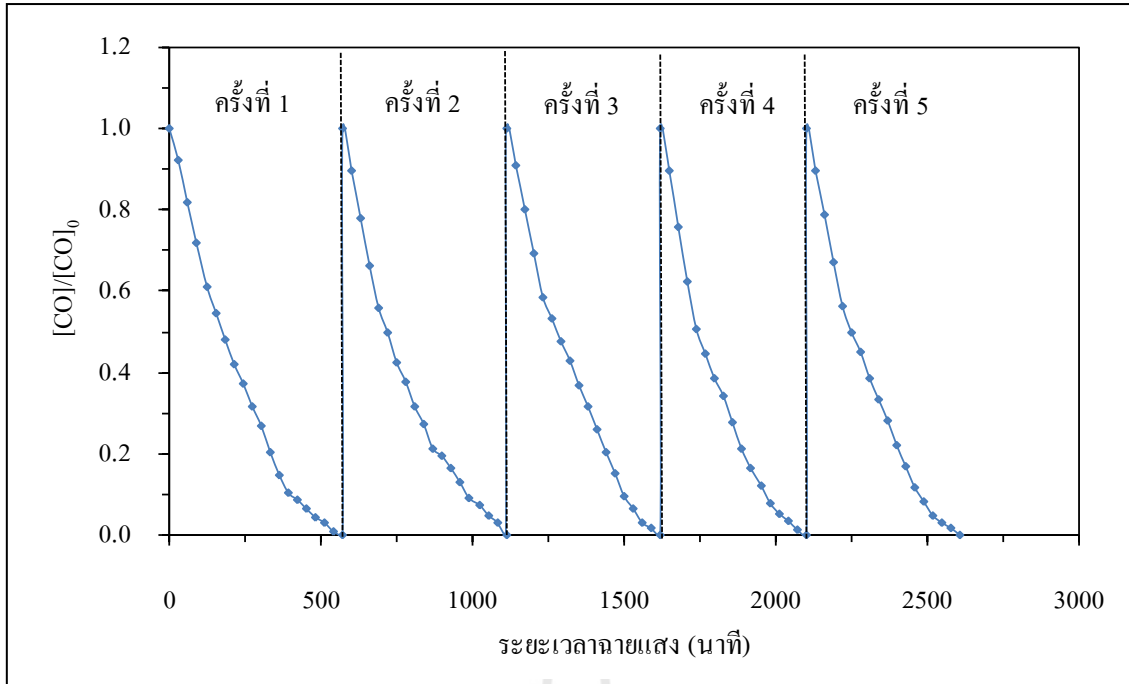
ในปัจจุบันมีการศึกษาเพื่อพัฒนาตัวเร่งปฏิกิริยากันอย่างกว้างขวาง ให้สามารถตอบสนองแหล่งกำเนิดแสงในช่วงความยาวคลื่นแสงวิสิเบิล เนื่องจากพลังงานจากแสงอาทิตย์ซึ่งเป็นแหล่งพลังงานสะอาด และหมุนเวียนเกิดขึ้นเองตามธรรมชาติ ซึ่งมีส่วนประกอบของความยาวคลื่นในช่วงแสงวิสิเบิลมากถึงประมาณ 46% ซึ่งมากกว่าความยาวคลื่นในช่วงยูวี ซึ่งมีเพียงแค่ 4% เท่านั้น จากการศึกษาปฏิกิริยาโฟโตคะตะไลซิสที่ผ่านมาใช้ตัวเร่งปฏิกิริยาทั้งสแตนไดรออกไซด์เพื่อบำบัดก๊าซคาร์บอนมอนอกไซด์ โดยใช้แหล่งกำเนิดแสงยูวีเอ (Mercury lamp ขนาด 250 วัตต์) ที่ความยาวคลื่น 365 นาโนเมตร พบว่ามีประสิทธิภาพในการย่อยสลายก๊าซคาร์บอนมอนอกไซด์ที่ค่าความเข้มข้นเริ่มต้น 200 พีพีเอ็ม ได้ถึง 45% ที่ระยะเวลาฉายแสง 300 นาที แสดงผลการทดลองดังรูปที่ 4.5 และเนื่องจากทั้งสแตนไดรออกไซด์ มีคุณสมบัติในการตอบสนองช่วงความยาวคลื่นแสงได้กว้างครอบคลุมถึงช่วงวิสิเบิล (Chun Song *et al.*, 2010) จึงทดสอบการตอบสนองความยาวคลื่นในช่วงแสงวิสิเบิล (Halogen lamp ขนาด 150 วัตต์) ที่ความยาวคลื่นมากกว่า 400 นาโนเมตรของทั้งสแตนไดรออกไซด์ที่ถูกเตรียมด้วยวิธีเอโนโดเซชันในสารละลายโซเดียมฟลูออไรด์ความเข้มข้น 0.15 โมลาร์ ที่ 45 โวลต์เป็นเวลา 2 ชั่วโมง พื้นที่ตัวเร่งปฏิกิริยาเท่ากับ 20 ตารางเซนติเมตร (ทั้งสแตนไดรออกไซด์จำนวน 5 แผ่น แผ่นละ 4 ตารางเซนติเมตร) โดยทำการทดลองในโหลทรงปริมาตร 2 ลิตรใช้น้ำหล่อภายนอก เพื่อควบคุมอุณหภูมิของชุดการทดลอง เพื่อบำบัดก๊าซคาร์บอนมอนอกไซด์ที่กำหนดค่าความเข้มข้นเริ่มต้น 200 พีพีเอ็ม พบว่าที่ระยะเวลาฉายแสง 300 นาที มีประสิทธิภาพในการย่อยสลายก๊าซคาร์บอนมอนอกไซด์ได้ถึง 31% แสดงดังรูปที่ 4.5 ซึ่งมีประสิทธิภาพน้อยกว่าการใช้ความยาวคลื่นในช่วงยูวีเอ ซึ่งสามารถอธิบายได้จากสเปกตรัมการดูดกลืน (Absorption spectrum) ของทั้งสแตนไดรออกไซด์จะมีความสามารถในการตอบสนองความยาวคลื่นในช่วงยูวีได้ดีกว่าช่วงวิสิเบิล (Liu *et al.*, 2010) จึงส่งผลให้ประสิทธิภาพในการย่อยสลายก๊าซคาร์บอนมอนอกไซด์ในกระบวนการโฟโตคะตะไลซิสด้วยแสงวิสิเบิลจะมีประสิทธิภาพน้อยกว่าแสงยูวี แต่อย่างไรก็ตามสามารถเห็นได้อย่างชัดเจนว่า ทั้งสแตนไดรออกไซด์สามารถตอบสนองต่อแหล่งกำเนิดแสงในช่วงวิสิเบิลได้ ซึ่งควรมีการศึกษาและพัฒนาเพิ่มเติมต่อไปให้มีประสิทธิภาพสูงขึ้น



รูปที่ 4.5 ปฏิกริยาโฟโตคะตะไลซิสเพื่อการบำบัดก๊าซคาร์บอนมอนอกไซด์ โดยใช้แหล่งกำเนิดที่แตกต่างกัน

4.5 การศึกษาผลของจำนวนรอบที่ใช้ซ้ำของตัวเร่งปฏิกริยาทั้งสแตนไดรออกไซด์ต่อประสิทธิภาพการบำบัดก๊าซคาร์บอนมอนอกไซด์ด้วยปฏิกริยาโฟโตคะตะไลซิส

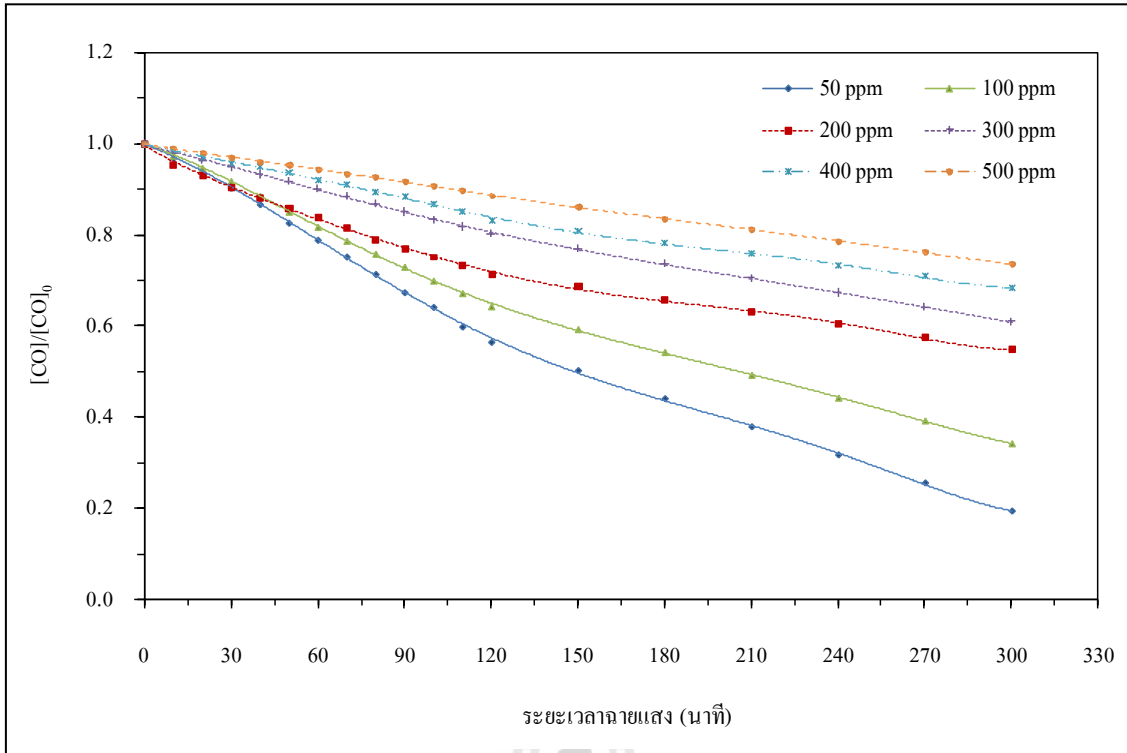
ทดสอบประสิทธิภาพของตัวเร่งปฏิกริยาทั้งสแตนไดรออกไซด์ภายในกระบวนการโฟโตคะตะไลซิสที่ผ่านการใช้งานเป็นระยะเวลานาน โดยทดสอบจากปฏิกริยาโฟโตคะตะไลซิสเพื่อการบำบัดก๊าซคาร์บอนมอนอกไซด์ โดยใช้แหล่งกำเนิดแสงยูวีเอ (Mercury lamp ขนาด 250 วัตต์) ที่ความยาวคลื่น 365 นาโนเมตร ทำการทดลองในโหลทรงปริมาตร 2 ลิตรใช้น้ำหล่อภายนอกเพื่อควบคุมอุณหภูมิของชุดการทดลอง และใช้ตัวเร่งปฏิกริยาทั้งสแตนไดรออกไซด์ที่ผ่านการแอนโดไซซันในสารละลายโซเดียมฟลูออไรด์ความเข้มข้น 0.15 โมลาร์ ที่ 45 โวลต์เป็นเวลา 2 ชั่วโมง พื้นที่ตัวเร่งปฏิกริยาเท่ากับ 20 ตารางเซนติเมตร (ทั้งสแตนไดรออกไซด์จำนวน 5 แผ่น แผ่นละ 4 ตารางเซนติเมตร) กำหนดค่าความเข้มข้นเริ่มต้นของก๊าซคาร์บอนมอนอกไซด์ที่ 50 พีพีเอ็ม พบว่าใช้ระยะเวลาในการฉายแสง เพื่อย่อยสลายก๊าซคาร์บอนมอนอกไซด์ทั้งหมดประมาณ 8-10 ชั่วโมง แล้วทดลองซ้ำทั้งหมด 5 ซ้ำ โดยใช้ทั้งสแตนไดรออกไซด์แผ่นเดิม แสดงค่าความเข้มข้นของก๊าซคาร์บอนมอนอกไซด์ที่ระยะเวลาการฉายแสงต่างๆ ดังรูปที่ 4.6 รวมไปถึงระยะเวลาในการฉายแสงทั้งสิ้นประมาณ 44 ชั่วโมง พบว่าแผ่นทั้งสแตนไดรออกไซด์ยังมีประสิทธิภาพในการย่อยสลายก๊าซคาร์บอนมอนอกไซด์ แม้ผ่านการใช้งานมาแล้วหลายครั้ง



รูปที่ 4.6 ผลของจำนวนรอบที่ใช้ซ้ำของตัวเร่งปฏิกิริยาทั้งสแตนไดรออกไซด์ต่อประสิทธิภาพการบำบัดก๊าซคาร์บอนมอนอกไซด์ด้วยปฏิกิริยาโฟโตคะตะไลซิส

4.6 ค่าจลนพลศาสตร์ของปฏิกิริยาโฟโตคะตะไลซิสเพื่อการย่อยสลายก๊าซคาร์บอนมอนอกไซด์ด้วยสมการแลงเมียร์-อินเซลวูด

จากการศึกษาปฏิกิริยาโฟโตคะตะไลซิสเพื่อการบำบัดก๊าซคาร์บอนมอนอกไซด์ โดยใช้แหล่งกำเนิดแสงยูวีเอ แปรเปลี่ยนค่าความเข้มข้นเริ่มต้นของก๊าซคาร์บอนมอนอกไซด์ที่ 50 100 200 300 400 และ 500 พีพีเอ็ม โดยทำการทดลองในโหลทรงปริมาตร 2 ลิตร ที่ใช้น้ำหล่อภายนอกเพื่อควบคุมอุณหภูมิของชุดการทดลอง และใช้ตัวเร่งปฏิกิริยาทั้งสแตนไดรออกไซด์ที่ผ่านการแอนโดเซชันในสารละลายโซเดียมฟลูออไรด์ความเข้มข้น 0.15 โมลาร์ ที่ 45 โวลต์เป็นเวลา 2 ชั่วโมง พื้นที่ตัวเร่งปฏิกิริยาเท่ากับ 20 ตารางเซนติเมตร (ทั้งสแตนไดรออกไซด์จำนวน 5 แผ่น แผ่นละ 4 ตารางเซนติเมตร) โดยใช้แหล่งกำเนิดแสงยูวีเอ (Mercury lamp ขนาด 250 วัตต์) ที่ความยาวคลื่น 365 นาโนเมตร พบว่าที่ระยะเวลาฉายแสง 300 นาที ปฏิกิริยาโฟโตคะตะไลซิสจะสามารถย่อยสลายก๊าซคาร์บอนมอนอกไซด์ได้ 81% 66% 45% 39% และ 27% ตามลำดับ แสดงความสัมพันธ์ระหว่างระยะเวลาที่ใช้ในการฉายแสง และความเข้มข้นของก๊าซคาร์บอนมอนอกไซด์ดังรูปที่ 4.7

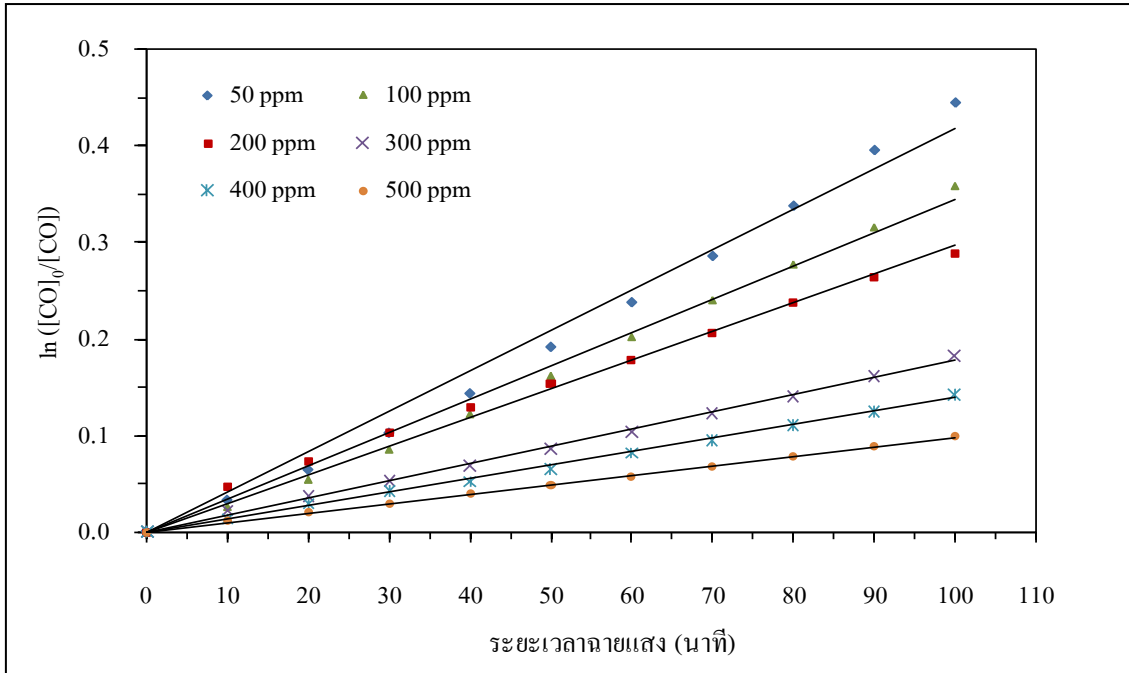


รูปที่ 4.7 ปฏิกิริยาโฟโตคะตะไลซิสเพื่อการบำบัดก๊าซคาร์บอนมอนอกไซด์โดยกำหนดค่าความเข้มข้นของก๊าซคาร์บอนมอนอกไซด์ที่แตกต่างกัน 50 100 200 300 400 และ 500 พีพีเอ็ม

ปฏิกิริยาโฟโตคะตะไลซิสสามารถอธิบายอัตราการเกิดปฏิกิริยาได้โดยใช้สมการของปฏิกิริยาอันดับที่ 1 เทียม (Pseudo first-order) (Guettai *et al.*, 2005; Watcharenwong *et al.*, 2008) ดังสมการที่ 4.4 แสดงความสัมพันธ์ระหว่างค่าระยะเวลาที่ใช้ในการฉายแสงและค่า $\ln [CO]_0/[CO]$ ได้ดังรูปที่ 4.8 จะได้กราฟเส้นตรงที่มีความชันเท่ากับค่าคงที่ของอัตราการเกิดปฏิกิริยา ($k' = k_{app}$) ที่มีจุดตัดแกน y ที่จุด (0,0) ซึ่งสามารถนำมาคำนวณหาค่า Initial reaction rate (r_0) ได้จากสมการที่ 4.5 และแสดงผลการคำนวณดังตารางที่ 4.2 ในการคำนวณนั้นเลือกใช้จุดเริ่มต้นในการคำนวณ เพื่อหาค่าคงที่ของสมการ เนื่องจากในระหว่างที่มีการบำบัดก๊าซคาร์บอนมอนอกไซด์ปฏิกิริยาที่เกิดขึ้นบนพื้นผิวทังสแตนไดรอกไซด์นั้นมีความซับซ้อนมาก เนื่องจากการเกิดปฏิกิริยาการดูดซับและการย่อยสลายไปพร้อมๆ กัน จึงเลือกช่วงที่มีผลกระทบจากปัจจัยอื่น ๆ น้อยที่สุด คือช่วงเริ่มต้นของการทดลองที่มีความเป็นไปได้ว่าจะมีค่าเท่ากับค่าความเข้มข้นที่จุดสมดุล จึงเลือกใช้ข้อมูลในการหาค่า k_{app} ที่ระยะเวลาในการฉายแสงในช่วงเริ่มต้นเพียงแค่ 100 นาทีแรกเท่านั้นในการคำนวณค่าจลนพลศาสตร์

$$\ln\left(\frac{C_0}{C}\right) = k' t \quad (4.4)$$

$$r_0 = k_{app} \times C_0 \quad (4.5)$$



รูปที่ 4.8 ความสัมพันธ์ระหว่าง $\ln ([CO]_0/[CO])$ และระยะเวลาฉายแสงในการเกิดปฏิกิริยาโฟโตคะตะไลซิสของก๊าซคาร์บอนมอนอกไซด์ที่ความเข้มข้นต่างๆ กัน

ตารางที่ 4.2 ค่าจลนพลศาสตร์ที่ความเข้มข้นเริ่มต้นของก๊าซคาร์บอนมอนอกไซด์ที่แตกต่างกัน

ความเข้มข้นเริ่มต้น (พีพีเอ็ม)	k_{app} (ต่อนาที)	Initial reaction rate, r_0 (พีพีเอ็มต่อนาที)	$1/C_0$	$1/r_0$
50	0.00419	0.209	0.020	4.773
100	0.00344	0.344	0.010	2.907
200	0.00297	0.594	0.005	1.684
300	0.00179	0.537	0.003	1.862
400	0.00139	0.556	0.003	1.799
500	0.00098	0.490	0.002	2.041

จากสมการแลงเมียร์-ฮินเชลวูดตั้งสมการที่ 4.6 สามารถจัดรูปไปให้สามารถหาความสัมพันธ์ระหว่างค่า $1/C_0$ และค่า $1/r_0$ ได้ตั้งสมการที่ 4.7 และรูปที่ 4.9

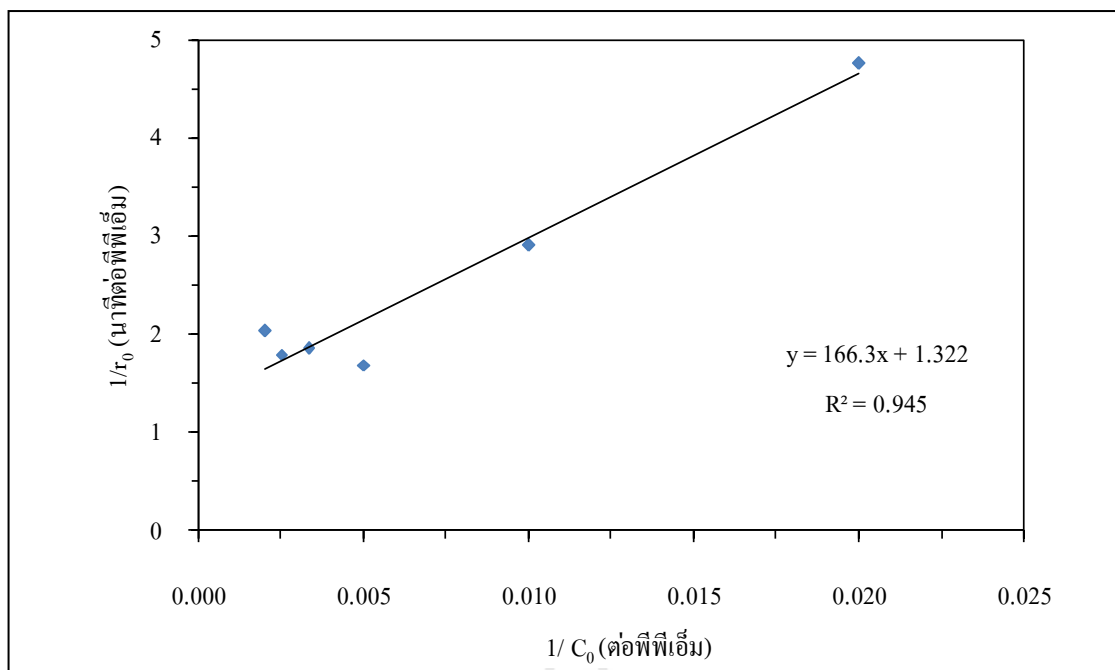
$$r_0 = -\frac{dC}{dt} = \frac{k_r KC}{1 + KC} \quad (4.6)$$

$$\frac{1}{r_0} = \frac{1}{k_r K} \cdot \frac{1}{C_0} + \frac{1}{k_r} \quad (4.7)$$

แสดงความสัมพันธ์ระหว่างส่วนกลับของอัตราการเกิดปฏิกิริยา $\frac{1}{r}$ และส่วนกลับของความเข้มข้นของก๊าซคาร์บอนมอนอกไซด์ $\frac{1}{C_0}$ ได้ดังรูปที่ 4.9 ได้สมการเส้นตรง คือ $y = 166.3x + 1.322$ มีความชันของกราฟคือ $\frac{1}{k_r K}$ มีค่าเท่ากับ 1.633 และจุดตัดแกน y คือ $\frac{1}{k_r}$ มีค่าเท่ากับ 1.322 ซึ่งสามารถคำนวณหาค่าคงที่ของอัตราการเกิดปฏิกิริยา (k_r) เท่ากับ 0.759 พีพีเอ็มต่อนาที และคำนวณค่าคงที่ของการดูดซับที่สภาวะสมดุล (K) เท่ากับ 0.0079 ต่อพีพีเอ็ม ซึ่งเมื่อนำไปเปรียบเทียบกับรายงานการศึกษาอื่นๆ แสดงดังตารางที่ 4.3 ซึ่งพบว่าเมื่อเปรียบเทียบการย่อยสลายก๊าซคาร์บอนมอนอกไซด์ด้วยปฏิกิริยาโฟโตคะตะไลซิส ระหว่างทั้งสแตนไดรออกไซด์กับไทเทเนียมไดออกไซด์ที่มีลักษณะเป็นฟิล์มบางเหมือนกันจะมีค่าจลนพลศาสตร์ (k_r และ K) มีแนวโน้มไปในทิศทางเดียวกันและใกล้เคียงกันมาก แต่หากเปรียบเทียบกับไทเทเนียมไดออกไซด์ที่มาจากทางการค้า (Degussa, P25) จะให้ผลที่แตกต่างกัน โดยจะมีค่าคงที่ของอัตราการเกิดปฏิกิริยา (k_r) เท่ากับ 0.176 พีพีเอ็มต่อนาที ซึ่งมีค่าน้อยกว่าจากผลการทดลอง แต่กลับมีค่าคงที่ของการดูดซับที่สภาวะสมดุล (K) เท่ากับ 0.893 ต่อพีพีเอ็ม ซึ่งมีความมากกว่าเมื่อใช้ทั้งสแตนไดรออกไซด์มาก

ตารางที่ 4.3 เปรียบเทียบค่าจลนพลศาสตร์ที่ได้จากการศึกษาครั้งนี้กับการศึกษาอื่นๆ

รายการอ้างอิง	วิธีการศึกษา	ค่าจลนพลศาสตร์
จากผลการศึกษา	<ul style="list-style-type: none"> • ย่อยสลายก๊าซคาร์บอนมอนอกไซด์ • โดยใช้ทั้งสแตนไดรออกไซด์ชนิดฟิล์มบาง • เมื่อใช้แหล่งกำเนิดที่มีความยาวคลื่น 365 นาโนเมตร 	$k_r = 0.759 \text{ ppm min}^{-1}$ $K = 0.0079 \text{ ppm}^{-1}$
Watcharenwong and Tong-un (2012)	<ul style="list-style-type: none"> • ย่อยสลายก๊าซคาร์บอนมอนอกไซด์ • โดยใช้ไทเทเนียมไดออกไซด์ชนิดฟิล์มบาง • เมื่อใช้แหล่งกำเนิดที่มีความยาวคลื่น 365 นาโนเมตร 	$k_r = 0.460 \text{ ppm min}^{-1}$ $K = 0.0056 \text{ ppm}^{-1}$
Einaga <i>et al.</i> (2003)	<ul style="list-style-type: none"> • ย่อยสลายก๊าซคาร์บอนมอนอกไซด์ให้กลายเป็นคาร์บอนไดออกไซด์ • โดยใช้ไทเทเนียมไดออกไซด์ (Degussa, P25) ที่ถูกเคลือบอยู่บนแผ่นแก้ว • เมื่อใช้แหล่งกำเนิดที่มีความยาวคลื่น 365 นาโนเมตร 	$k_r = 0.176 \text{ ppm min}^{-1}$ $K = 0.893 \text{ ppm}^{-1}$

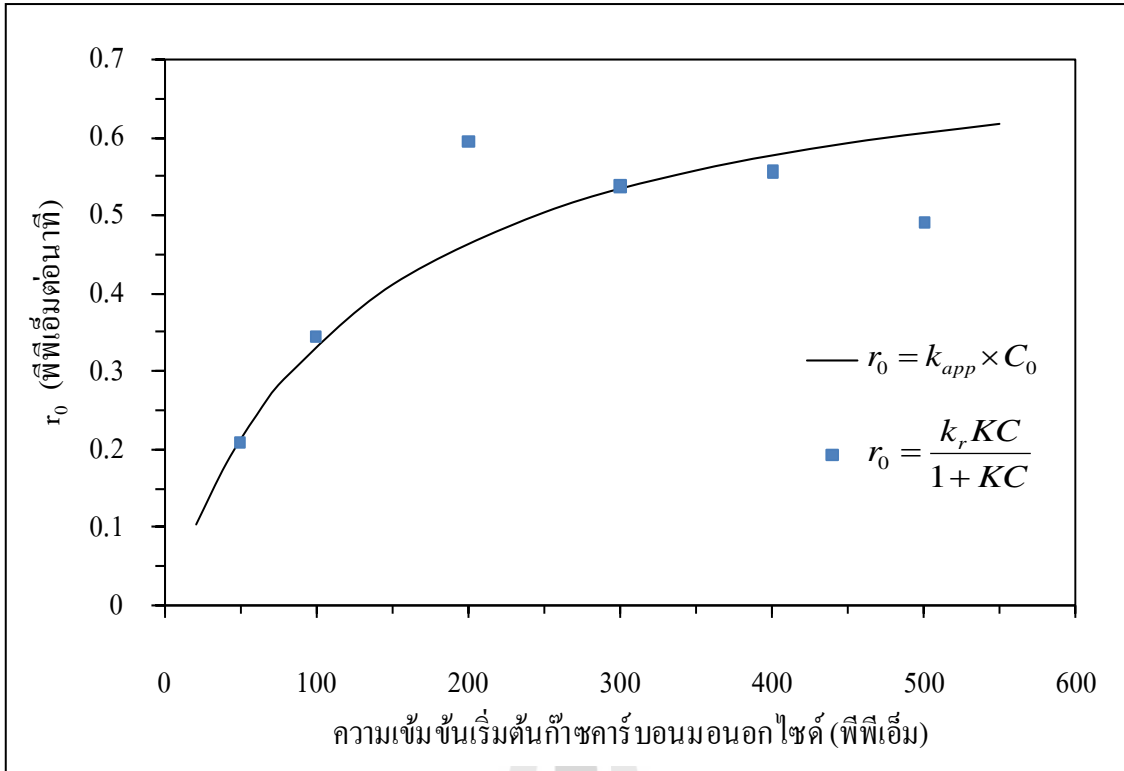


รูปที่ 4.9 ความสัมพันธ์ระหว่าง $1/C_0$ และค่า $1/r_0$

แสดงความสัมพันธ์ระหว่างความเข้มข้นเริ่มต้นของก๊าซคาร์บอนมอนอกไซด์ที่ส่งผลกระทบต่ออัตราการเกิดปฏิกิริยาการย่อยสลายก๊าซคาร์บอนมอนอกไซด์ได้ดังรูปที่ 4.10 ซึ่งสามารถตรวจสอบการคำนวณด้วยการแทนค่าคงที่ k_r (0.759 พีพีเอ็มต่อนาที) และ K (0.0079 ต่อพีพีเอ็ม) ลงในสมการที่ 4.6 แสดงผลการคำนวณดังตารางที่ 4.4 พบว่าสอดคล้องกันเป็นอย่างดีกับค่าที่คำนวณได้จากสมการที่ 4.5 แสดงดังรูปที่ 4.10

ตารางที่ 4.4 ค่าความเข้มข้นเริ่มต้นของก๊าซคาร์บอนมอนอกไซด์ ที่ส่งผลกระทบต่ออัตราการเกิดปฏิกิริยาการย่อยสลายก๊าซคาร์บอนมอนอกไซด์

ความเข้มข้นเริ่มต้นของก๊าซคาร์บอนมอนอกไซด์ (พีพีเอ็ม)	Initial reaction rate, r_0 (พีพีเอ็มต่อนาที)
20	0.103
40	0.182
60	0.244
80	0.294
150	0.411
250	0.503
350	0.557
450	0.592



รูปที่ 4.10 ความสัมพันธ์ระหว่างค่าความเข้มข้นเริ่มต้นของก๊าซคาร์บอนมอนอกไซด์
ต่ออัตราการย่อยสลายปฏิกิริยาโฟโตคะตะไลซิส

ระยะเวลาครึ่งชีวิตของปฏิกิริยา ($t_{1/2}$) เป็นอีกหนึ่งวิธีที่นิยมถูกนำมาใช้เพื่ออธิบายอัตราการเกิดปฏิกิริยา โดยคำนวณมาจากสมการที่ 4.6 ได้ดังสมการที่ 4.8

$$t = -\frac{1}{k_r K} \ln \frac{C}{C_0} - \frac{1}{k_r} (C - C_0) \quad (4.8)$$

เมื่อ t คือระยะเวลาที่ปฏิกิริยาใช้ในการย่อยสลายก๊าซคาร์บอนมอนอกไซด์ ที่ความเข้มข้นเริ่มต้นจนกระทั่งถึงความเข้มข้นใดๆ ดังนั้นที่ระยะเวลาครึ่งชีวิต ($t_{1/2}$) ของปฏิกิริยาจึงแทนค่า $C = 0.5C_0$ ดังสมการที่ 4.9

$$t_{1/2} = \frac{0.5C_0}{k_r} + \frac{\ln 2}{k_r K} \quad (4.9)$$

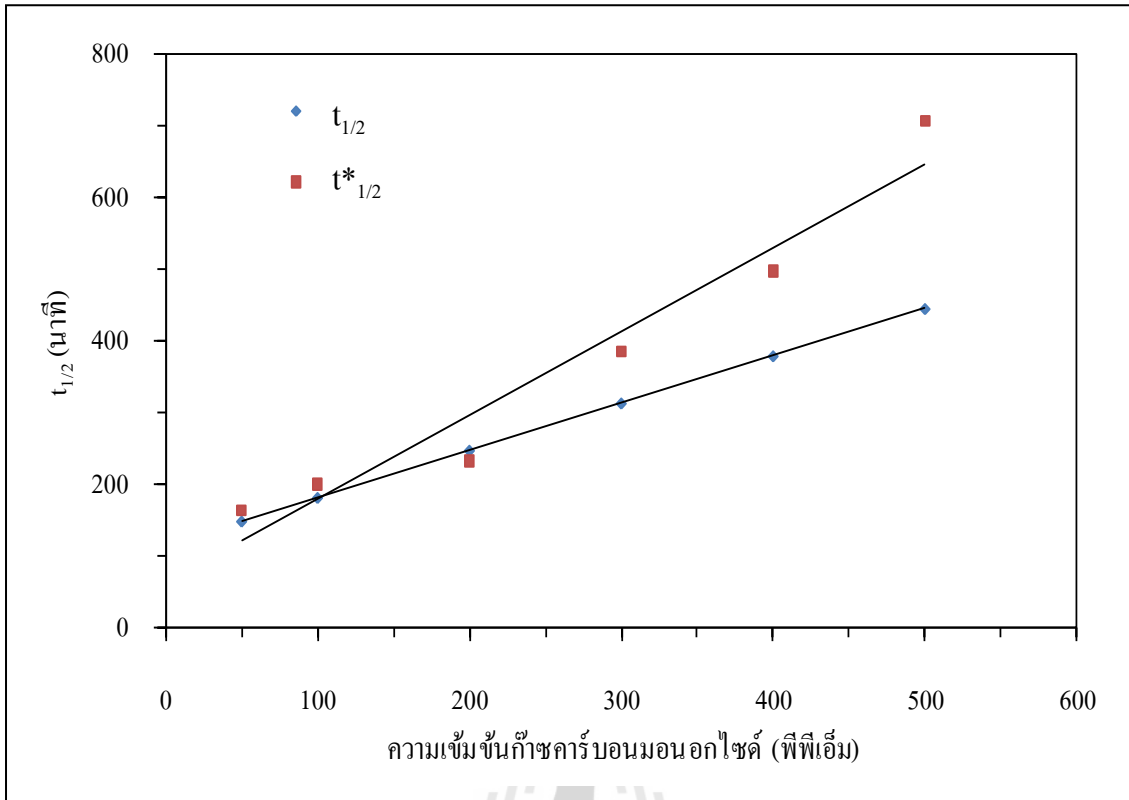
แทนค่า k_r เท่ากับ 0.759 พีพีเอ็มต่อนาที และค่า K เท่ากับ 0.0079 ต่อพีพีเอ็ม ลงในสมการที่ 4.9 เพื่อหาค่า $t_{1/2}$ ของแต่ละค่าความเข้มข้นเริ่มต้นแสดงผลการคำนวณดังตารางที่ 4.5 นอกจากนี้ยังสามารถหาค่าระยะเวลาครึ่งชีวิตของปฏิกิริยาได้จากสมการอันดับ 1 เพื่อคำนวณหาค่าระยะเวลาครึ่งชีวิตของปฏิกิริยา ($t^*_{1/2}$) โดยการแทนค่า $C = 0.5C_0$ ได้ดังสมการที่ 4.10

$$t^*_{1/2} = \frac{\ln 2}{k_{app}} \quad (4.10)$$

แทนค่า k_{app} ลงในสมการที่ 4.10 เพื่อคำนวณหาค่า $t^*_{1/2}$ แสดงความสัมพันธ์ระหว่างค่าความเข้มข้นเริ่มต้นและ $t_{1/2}$ ได้ดังรูปที่ 4.11 แสดงการเปรียบเทียบระหว่าง $t_{1/2}$ และ $t^*_{1/2}$ ดังตารางที่ 4.5 พบว่าที่ความเข้มข้นเริ่มต้นของก๊าซคาร์บอนมอนอกไซด์ต่ำๆ (50 และ 100 พีพีเอ็ม) $t_{1/2}$ และ $t^*_{1/2}$ จะมีความต่างกันน้อยกว่าที่ความเข้มข้นเริ่มต้นของก๊าซคาร์บอนมอนอกไซด์สูงๆ (200 400 และ 500 พีพีเอ็ม) แสดงให้เห็นว่าสมการที่ 4.9 และ 4.10 สามารถนำมาใช้แทนกันได้ ซึ่งสอดคล้องกับการศึกษาของ Guettai *et al.* (2005) ซึ่งอธิบายว่าความสามารถในการคำนวณค่าครึ่งชีวิตสำหรับการย่อยสลายที่ความเข้มข้นเริ่มต้นต่ำๆ ได้ แต่ไม่เหมาะที่นำมาใช้กับค่าความเข้มข้นเริ่มต้นสูงๆ เนื่องจากปฏิกิริยาโฟโตคะตะไลซิสที่เกิดขึ้นบนพื้นผิวดวเร่งปฏิกิริยามีความซับซ้อนมาก มีทั้งปฏิกิริยาดูดซับ และการย่อยสลายก๊าซคาร์บอนมอนอกไซด์ไปพร้อมๆกัน ที่ค่าความเข้มข้นสูงๆ ซึ่งมีอนุภาคจำนวนมากที่ต้องการทำปฏิกิริยาบนพื้นผิวดวเร่งปฏิกิริยา ทำให้ปฏิกิริยาที่เกิดขึ้นมีความยุ่งยากเกินกว่าที่จะอธิบายได้ด้วยสมการแบบง่าย

ตารางที่ 4.5 เปรียบเทียบ $t_{1/2}$ และ $t^*_{1/2}$ ที่ความเข้มข้นเริ่มต้นก๊าซคาร์บอนมอนอกไซด์ที่แตกต่างกัน

C_0 (ppm)	$t_{1/2}$ (นาที)	$t^*_{1/2}$ (นาที)	$\Delta t_{1/2}$ (นาที)
50	148.73	165.40	16.67
100	181.68	201.46	19.78
200	247.58	233.33	14.24
300	313.48	387.16	73.67
400	379.38	498.57	119.18
500	445.28	707.15	261.86



รูปที่ 4.11 ความสัมพันธ์ระหว่างค่าความเข้มข้นเริ่มต้นของก๊าซคาร์บอนมอนอกไซด์
ต่อระยะเวลาครึ่งชีวิตของปฏิกิริยา

ค่าระยะเวลาครึ่งชีวิตของปฏิกิริยาโฟโตไลซิสที่ใช้เป็นชุดการทดลองควบคุม ซึ่งจะอาศัยหลักการฉายแสงเพียงอย่างเดียว โดยไม่มีตัวเร่งปฏิกิริยาอยู่ภายในระบบ เมื่อนำมาเปรียบเทียบกับปฏิกิริยาโฟโตคะตะไลซิส ซึ่งจะอาศัยหลักการของตัวเร่งปฏิกิริยาทำงานร่วมกับพลังงานแสง โดยใช้ทั้งสแตนไดรออกไซด์ที่ผ่านการสังเคราะห์ด้วยระยะเวลา 2 ชั่วโมง เมื่อใช้แหล่งกำเนิดแสงยูวีเอ (Mercury lamp ขนาด 250 วัตต์) ที่ความยาวคลื่น 365 นาโนเมตร และมีค่าความเข้มข้นเริ่มต้นก๊าซคาร์บอนมอนอกไซด์เท่ากับ 200 พีพีเอ็ม พบว่าค่า $t^*_{1/2}$ ของปฏิกิริยาโฟโตไลซิสต้องใช้เวลานานมากถึง 1084.74 นาที ซึ่งนานกว่าค่า $t^*_{1/2}$ ของปฏิกิริยาโฟโตคะตะไลซิสซึ่งจะต้องใช้ระยะเวลาเพียง 233.33 นาที แสดงให้เห็นได้อย่างชัดเจนว่าทั้งสแตนไดรออกไซด์มีส่วนช่วยให้กระบวนการโฟโตคะตะไลซิสมีประสิทธิภาพในการบำบัดก๊าซคาร์บอนมอนอกไซด์ได้เพิ่มมากขึ้น

บทที่ 5

สรุปผลการศึกษา และข้อเสนอแนะ

5.1 สรุปผลการศึกษา

การศึกษานี้มีวัตถุประสงค์เพื่อศึกษาวิธีการสังเคราะห์ตัวเร่งปฏิกิริยาทั้งสแตนไดร ออกไซด์ด้วยวิธีแอนโนไดเซชัน แล้วนำมาใช้เป็นตัวเร่งปฏิกิริยาในกระบวนการโฟโตคะตะไลซิสเพื่อศึกษาประสิทธิภาพการบำบัดก๊าซคาร์บอนมอนอกไซด์ รวมถึงศึกษาค่าจลนพลศาสตร์ในการบำบัดก๊าซคาร์บอนมอนอกไซด์ด้วยปฏิกิริยาโฟโตคะตะไลซิส โดยใช้สมการแลงเมียร์-ฮินเชลวูด สามารถสรุปผลการศึกษาได้ดังนี้

5.1.1 สรุปผลการศึกษาการสังเคราะห์ทั้งสแตนไดรออกไซด์ด้วยวิธีแอนโนไดเซชัน

(1) สังเคราะห์ตัวเร่งปฏิกิริยาด้วยวิธีแอนโนไดเซชันในสารละลายโซเดียมฟลูออไรด์ ความเข้มข้น 0.15 โมลาร์ ที่กำหนดค่าความต่างศักย์ไฟฟ้าที่ 45 โวลต์ และแปรเปลี่ยนระยะเวลาการแอนโนไดเซชันที่แตกต่างกันที่ 1 2 4 และ 6 ชั่วโมง ตามลำดับ เมื่อตรวจสอบลักษณะพื้นผิวด้วยกล้องจุลทรรศน์อิเล็กตรอนแบบส่องกราด พบว่าในทุกสภาวะการทดลองก่อให้เกิดออกไซด์บนพื้นผิวทั้งสแตนไดรที่มีลักษณะ โครงสร้างที่มีความพรุนขนาดนาโนเมตร กระจายตัวอย่างสม่ำเสมอทั่วทั้งแผ่น

(2) ใช้วิธีการวิเคราะห์การตอบสนองปฏิกิริยาไฟฟ้าเคมีแสงเป็นตัวแทนในการวัดความสามารถของทั้งสแตนไดรออกไซด์ที่ถูกเตรียมด้วยวิธีแอนโนไดเซชันที่ระยะเวลาแตกต่างกันที่ 1 2 4 และ 6 ชั่วโมง ตามลำดับ ในการปลดปล่อยอิเล็กตรอนเมื่อได้รับการกระตุ้นจากการฉายแสง โดยเปรียบเทียบค่ากระแสที่เกิดขึ้นหลังจากกระตุ้นให้เกิดปฏิกิริยาที่ 1.2 โวลต์ มีค่าเท่ากับ 0.081 0.103 0.076 และ 0.065 มิลลิแอมป์แปรต่อตารางเซนติเมตร ตามลำดับ พบว่าที่ระยะเวลาแอนโนไดเซชัน 2 ชั่วโมงสามารถตอบสนองปฏิกิริยาไฟฟ้าเคมีแสงได้ดีที่สุด

5.1.2 สรุปผลการศึกษาปฏิกิริยาโฟโตคะตะไลซิสเพื่อการกำจัดก๊าซคาร์บอนมอนอกไซด์โดยใช้ทั้งสแตนไดรออกไซด์เป็นตัวเร่งปฏิกิริยา

(1) จากการทดลองโดยชุดการทดลองควบคุมทำให้ทราบว่า เมื่อทำการบำบัดก๊าซคาร์บอนมอนอกไซด์ที่ค่าความเข้มข้นเริ่มต้น 200 พีพีเอ็ม โดยไม่มีตัวเร่งปฏิกิริยา มีเพียงการฉายแสงเพียงอย่างเดียว พบว่ามีความสามารถในการบำบัดก๊าซคาร์บอนมอนอกไซด์ได้น้อยมากเพียงประมาณ 8% เมื่อใช้แสงยูวีเอ และประมาณ 5% เมื่อใช้แสงวิสิเบิล ที่ระยะเวลาในการฉายแสง 300 นาที

(2) ทั้งสแตนไดรออกไซด์ที่ใช้ระยะเวลาในการสังเคราะห์ด้วยวิธีแอนโคโนเซชันที่แตกต่างกัน เมื่อนำมาใช้เป็นตัวเร่งปฏิกิริยาในกระบวนการโฟโตคะตะไลซิส เพื่อบำบัดก๊าซคาร์บอนมอนอกไซด์ที่ค่าความเข้มข้นเริ่มต้น 200 พีพีเอ็ม พบว่าที่ระยะเวลาการสังเคราะห์ 1 2 4 และ 6 ชั่วโมง ให้ประสิทธิภาพในการบำบัดที่แตกต่างกันคือ 33% 45% 32% และ 32% ตามลำดับ พบว่าที่ระยะเวลาแอนโคโนเซชัน 2 ชั่วโมง มีประสิทธิภาพดีที่สุด

(3) เมื่อใช้แหล่งกำเนิดแสงในช่วงวิสิเบิลขนาด 150 วัตต์ ทำงานร่วมกับตัวเร่งปฏิกิริยาทั้งสแตนไดรออกไซด์ที่ผ่านการสังเคราะห์ด้วยวิธีแอนโคโนเซชันที่ระยะเวลา 2 ชั่วโมง มีความสามารถในการบำบัดก๊าซคาร์บอนมอนอกไซด์โดยกระบวนการโฟโตคะตะไลซิสได้ประมาณ 31% ที่ระยะเวลาในการฉายแสง 300 นาที เมื่อกำหนดค่าความเข้มข้นเริ่มต้นของก๊าซคาร์บอนมอนอกไซด์ที่ 200 พีพีเอ็ม

(4) กำหนดค่าความเข้มข้นเริ่มต้นของก๊าซคาร์บอนมอนอกไซด์ที่ 50 100 200 300 400 และ 500 พีพีเอ็ม เพื่อศึกษาปฏิกิริยาโฟโตคะตะไลซิส โดยใช้แหล่งกำเนิดแสงยูวีเอ ร่วมกับตัวเร่งปฏิกิริยาทั้งสแตนไดรออกไซด์ที่ผ่านการสังเคราะห์ด้วยวิธีแอนโคโนเซชันที่ระยะเวลา 2 ชั่วโมง พบว่ามีประสิทธิภาพในการบำบัดก๊าซคาร์บอนมอนอกไซด์ได้ 81% 66% 45% 39% และ 27% ตามลำดับ ที่ระยะเวลาฉายแสง 300 นาที

(5) ตัวเร่งปฏิกิริยาทั้งสแตนไดรออกไซด์ที่ผ่านการสังเคราะห์ด้วยวิธีแอนโคโนเซชันมีประสิทธิภาพการบำบัดก๊าซคาร์บอนมอนอกไซด์ด้วยปฏิกิริยาโฟโตคะตะไลซิสได้ไม่ต่ำกว่า 44 ชั่วโมง หรือจำนวน 5 รอบที่สามารถใช้ซ้ำได้ โดยที่ประสิทธิภาพไม่ลดลง และเมื่อสังเกตลักษณะทางกายภาพของตัวเร่งปฏิกิริยาทั้งสแตนไดรออกไซด์ แล้วพบว่ายังคงมีลักษณะเหมือนเดิมทุกประการ จึงคาดว่าตัวเร่งปฏิกิริยาทั้งสแตนไดรออกไซด์นี้จะมีคุณสมบัติใช้ซ้ำได้อีกเป็นระยะเวลานาน

5.1.3 สรุปผลค่าจลนพลศาสตร์ของปฏิกิริยาโฟโตคะตะไลซิสเพื่อการย่อยสลายก๊าซคาร์บอนมอนอกไซด์ด้วยสมการแลงเมียร์-อินเซลวูด

ใช้สมการแลงเมียร์ - อินเซลวูด ในการหาค่าจลนพลศาสตร์ของปฏิกิริยาโฟโตคะตะไลซิส เพื่ออธิบายการย่อยสลายก๊าซคาร์บอนมอนอกไซด์ พบว่ามีค่าคงที่อัตราการเกิดปฏิกิริยา (k_p) เท่ากับ 0.759 พีพีเอ็มต่ออนาที และค่าคงที่ของการดูดซับที่สถานะสมดุล (K) เท่ากับ 0.0079 ต่อพีพีเอ็ม

5.2 ข้อเสนอแนะ

(1) ควรมีการศึกษาเพิ่มเติมเกี่ยวกับสภาวะ หรือปัจจัยที่ใช้ในการสังเคราะห์ทั้งสแตนไดรออกไซด์ด้วยวิธีแอนโคโนเซชัน นอกจากระยะเวลาที่ใช้ในการสังเคราะห์ เช่น ชนิดของสารละลายนำไฟฟ้า ความเข้มข้นของสารละลายนำไฟฟ้า ค่าความต่างศักย์ไฟฟ้า และการนำโลหะชนิดอื่นมาผสมเป็นต้น เพื่อพัฒนาตัวเร่งปฏิกิริยาในกระบวนการโฟโตคะตะไลซิสให้มีประสิทธิภาพเพิ่มมากขึ้น

(2) ควรศึกษาพัฒนาเพิ่มเติมเกี่ยวกับการสังเคราะห์ทั้งสแตนด์ไตรออกไซด์ให้มีพื้นที่ตัวเร่งปฏิกิริยาขนาดใหญ่มากขึ้น และมีประสิทธิภาพ เพื่อให้ง่ายต่อการนำไปประยุกต์ใช้

(3) ควรมีการศึกษากระบวนการโฟโตคะตะไลซิส เพื่อการบำบัดมลพิษอากาศชนิดอื่น ที่นอกเหนือจากก๊าซคาร์บอนมอนอกไซด์ เช่น สารประกอบอินทรีย์ระเหยง่าย ไนโตรเจนไดออกไซด์ และซัลเฟอร์ไดออกไซด์ เป็นต้น



บรรณานุกรม

- กรมโรงงานอุตสาหกรรม. (2550). ตำราบำบัดมลพิษอากาศ. พิมพ์ครั้งที่ 2. กรุงเทพฯ.
- วงศ์พันธ์ ลิ้มปเสนีย์, นิตยา มหาผล, ชีระ เกรอด. (2543). มลภาวะอากาศ. พิมพ์ครั้งที่ 6. กรุงเทพฯ: สำนักพิมพ์แห่งจุฬาลงกรณ์มหาวิทยาลัย.
- ศิริกัลยา สุวจิตตานนท์, วิวัฒน์ ตัฒตะพานิชกุล, ชิกาโอะ กานาโอกะ, จุฑามาศ เกตุทัต. (2542). มลภาวะอากาศ. พิมพ์ครั้งที่ 2. กรุงเทพฯ: สำนักพิมพ์มหาวิทยาลัยเกษตรศาสตร์.
- Al-Ekabi, H., G. Edwards, W. Holden, A. Safarazadeh-Amiri and J. Story. (1991). Chemical oxidation. Lancaster: Technomic Publishing.
- Antonaia, A., Addonizio, ML., Minarini, C., Polichetti, T., Vittori-Antisari, M.(2001). Improvement in electrochromic response for an amorphous/crystalline WO₃ double layer. Electrochim. Acta. 46: 2221-2227.
- Becker, R. S., Zheng, T., Elton, J., Saeki M. (2003) Synthesis and photoelectrochemistry of In₂S₃. Solar Energy Materials. 13: 97-107.
- Chanmanee, W., Watcharenwong, A., Chenthamarakshan, C.R., Kajitvichyanukul, P., de Tacconi, N. R., Rajeshwar, K. (2007). Formation and characterization of self-organized TiO₂ nanotube arrays by pulse anodization. J. AM. CHEM. SOC. 130: 965-974.
- Chun Song, X., Yang, E., Liu, G., Zhang, Y., Sheng Liu, Z., Fang Chen, H., Wang, Y. (2010) Preparation and photocatalytic activity of Mo-doped WO₃ nanowires. J Nanopart Res. 12: 2813 - 2819.
- Einaga H., Harada M., Futamura S., Ibusuki T. (2003) Generation of active sites for CO photooxidation on TiO₂ by platinum deposition. J Phys Chem B. 107: 9290-9297.
- Fujishima, A., Rao, T.N., Tryk, D.A. (2000). Titanium dioxide photocatalysis, Journal of Photochemistry and Photobiology. 1: 1-21.
- Gondal, M.A., Hameed, A., yamani., Z.H., Arfaj, A. (2004). Photocatalytic transformation of methane into methanol under UV laser irradiation over WO₃, TiO₂ and NiO catalysts. Chemical Physics Letters. 392: 372-377.
- Guo, Y., Quan, X., Lu, N., Zhao H., Chen, S. (2007). High Photocatalytic Capability of Self-Assembled Nanoporous WO₃ with Preferential Orientation of (002) Planes. Environmental Science & Technology. 41: 4422-4427.

- Guettai, N., Ait Amar, H., (2005). Photocatalytic oxidation of methyl orange in presence of titanium dioxide in aqueous suspension. Part II: kinetics study. Desalination. 185: 439–448.
- Gratzel, M. (2001). Photoelectrochemical cells. Nature. 414: 338-344.
- Hahn, R., Macak, J.M., Schmuki, P. (2007). Rapid anodic growth of TiO₂ and WO₃ nanotubes in fluoride free electrolytes. Electrochemistry Communications. 9: 947-952.
- Hamilton, J.W.J., Byrne, J.A., Dunlop, P.S.M., Brown, N.M.D. (2008) Photo-oxidation of water using nanocrystalline tungsten oxide under visible light. International Journal of Photoenergy. doi:10.1155/2008/185479.
- Herrmann, J.-M. (1999). Heterogeneous photocatalysis: fundamentals and applications to the removal of various types of aqueous pollutants, Catalysis today. 53: 115-129.
- Herrmann, J.-M. (2010). Photocatalysis fundamentals revisited to avoid several misconceptions, Applied Catalysis B: Environmental, 99: 461–468.
- Hoffmann, M.R., Martin, S.T., Choi, W., Behnemann, D.W. (1995). Environmental applications of semiconductor photocatalysis. Chemical reviews. 95(1): 69-96.
- Hwang, S., Lee, M. C., Choi, Wonyong. (2003). Highly enhanced photocatalytic oxidation of CO on titania deposited with Pt nanoparticles: kinetics and mechanism, Applied catalysis. 46: 49-63.
- Liao, Y., Xie, C., Liu, Y., Chen, H., Li, H. and Wu, J. (2012). Comparison on photocatalytic degradation of gaseous formaldehyde by TiO₂, ZnO and their composite. Ceramics International. doi:10.1016/j.ceramint.2012.03.016.
- Litter, M. I. (1999). Review Heterogeneous photocatalysis transition metal ions in photocatalytic systems, Applied catalysis. 23: 89-114.
- Liu, H., Peng, T., Ke, D., Peng, C. and Yan, C. (2007). Preparation and photocatalytic activity of dysprosium doped tungsten trioxide nanoparticles. Materials chemistry and physics. 104: 377–383.
- Liu, Y., Liu, Y. O., Zhang, R., Yanga, Y., Zhang, Z. (2010) Degradation of malachite green on Pd/WO₃ photocatalysts under simulated solar light. Journal of Hazardous Materials. 184: 386–391
- Mukherjee, N., Paulose, M., Varghese, O. K., Mor, G. K. and Grimes C. A. (2003). Fabrication of nanoporous tungsten oxide by galvanostatic anodization. Journal of Materials Research. 18: 2296-2299.

- Oishi, T., Matsubara, T. and Katagiri, A. (2000) Formation of porous TiO₂ by anodic oxidation and chemical etching of titanium. Electrochemistry. 68: 106-111.
- Patra, A., Auddy, K., Ganguli, D., Livage, J., Biswas, P.K. (2004). Sol-gel electrochromic WO₃ coatings on glass. Materials letters. 58: 1059-1063.
- Pucher, P., Azouani, R., Kanaev, A., Krammer, G. (2008). A photocatalytic active adsorbent for gas cleaning in a fixed bed reactor. International Journal of Photoenergy. doi:10.1155/2008/759736.
- Sadek, A.Z., Zheng, H., Latham, K., Wlodarski, W., Kalantar-zadeh, K. (2008). Anodization of Ti thin Film deposited on ITO. Langmuir. 25: 509-514.
- Sieber, I., Hildebrand, H., Friedrich, A., Schmuki P. (2005) Formation of self-organized niobium porous oxide on niobium, Electrochemistry Communications, 7: 97–100.
- Tacconi, N. R. de, Chenthamarakshan, C. R., Yogeewaran, G., Watcharenwong, A., de Zoysa, R. S., Basit, N. A., Rajeshwar, K. (2006). Nanoporous TiO₂ and WO₃ Films by Anodization of Titanium and Tungsten Substrates: Influence of Process Variables on Morphology and Photoelectrochemical Response, J. Phys. Chem. B, 110: 25347-25355.
- Tsuchiya, H. and Schmuki, P. (2004). Thick self-organized porous zirconium oxide formed in H₂SO₄/NH₄F electrolytes. Electrochemistry Communications. 6: 1131–1134.
- Tsuchiya, H. and Schmuki, P. (2005). Self-organized high aspect ratio porous hafnium oxide prepared by electrochemical anodization. Electrochemistry Communications. 7: 49-52.
- Tsuchiya, H., Macak, J. M., Sieber, I., Taveira, L., Ghicov, A., Sirotna, K., Schmuki, P. (2005). Self-organized porous WO₃ formed in NaF electrolytes. Electrochemistry Communications. 7: 295-298.
- Wang, H., Wu, Z., Zhao, W. and Guan B. (2007). Photocatalytic oxidation of nitrogen oxides using TiO₂ loading on woven glass fabric. Chemosphere. 66:185–190.
- Watcharenwong, A., Chanmanee, W., de Tacconi, N. R., Chenthamarakshan, C.R., Kajitvichyanukul, P., Rajeshwar, K. (2008). Anodic growth of nanoporous WO₃ films: Morphology, photoelectrochemical response and photocatalytic activity for methylene blue and hexavalent chrome conversion. Journal of Electroanalytical Chemistry. 612: 112-120.
- Watcharenwong, A., Tong-un, S. (2012). Preparation of TiO₂ Nanotubes as Photocatalyst for Carbon Monoxide Removal. In: Proceeding of NanoThailand 2012 Nanotechnology for the benefits of mankind April 9-11, Khon Kaen, Thailand, 2012.

Wei, W., Macak, J.M. and Schmuki, P. (2008). High aspect ratio ordered nanoporous Ta₂O₅ films by anodization of Ta. Electrochemistry communications, 10: 428–432.

Wernick, S., Pinner, R. and Sheaby, P.G. (1987). The surface treatment and finishing of aluminum and its alloy. Finishing Publications. Middlesex, England.



ประวัติผู้วิจัย หัวหน้าโครงการ

- ชื่อ - นามสกุล (ภาษาไทย) นายอภิชน วัชรินทร์วงศ์
ชื่อ - นามสกุล (ภาษาอังกฤษ) Mr. Apichon Watcharenwong
- เลขหมายบัตรประจำตัวประชาชน 3-3199-0005636-3
- ตำแหน่งปัจจุบัน อาจารย์
- หน่วยงานและสถานที่อยู่ที่ติดต่อได้สะดวก
สาขาวิชาวิศวกรรมสิ่งแวดล้อม
สำนักวิชาวิศวกรรมศาสตร์ มหาวิทยาลัยเทคโนโลยีสุรนารี
111 ถนนมหาวิทยาลัย ตำบลสุรนารี อำเภอเมืองนครราชสีมา
จังหวัดนครราชสีมา 30000
โทรศัพท์/โทรสาร 044-224537/044-224606
E-mail: w.apichon@sut.ac.th
- ประวัติการศึกษา
ปริญญาตรี วิศวกรรมศาสตรบัณฑิต (วิศวกรรมโยธา)
มหาวิทยาลัยขอนแก่น 2544
ปริญญาโท วิศวกรรมศาสตรมหาบัณฑิต (วิศวกรรมสิ่งแวดล้อม)
มหาวิทยาลัยเทคโนโลยีพระจอมเกล้าธนบุรี 2546
ปริญญาเอก ปรัชญาดุสิตบัณฑิต (สหสาขาการจัดการสิ่งแวดล้อมและของเสียอันตราย)
(นานาชาติ)
จุฬาลงกรณ์มหาวิทยาลัย 2551
- สาขาวิชาการที่มีความชำนาญพิเศษ
Environmental engineering
Nano-material preparations
Photocatalysis process for treatment of wastewater and air pollution
Nano-safety
Renewable energy

7. ประสบการณ์ที่เกี่ยวข้องกับการบริหารงานวิจัย

7.1 งานวิจัยที่กำลังทำ

- 1) ชื่อโครงการ: การจัดทำแนวทางการปฏิบัติสำหรับงานวิจัยด้านนาโนวิทยาศาสตร์และนาโนเทคโนโลยี

(Code of Conduct for Nanoscience and Nanotechnology Research)

เจ้าของทุน: สำนักงานกองทุนสนับสนุนการวิจัย

ระยะเวลา: มิถุนายน 2553 - มีนาคม 2555

หัวหน้าโครงการวิจัย: รศ.ดร. พวงรัตน์ ขจิตวิษยานุกุล

- 2) ชื่อโครงการ: นาโนไททาเนียมไดออกไซด์รูปท่อกับการบำบัดก๊าซมลพิษโดยใช้ปฏิกิริยาโฟโตคะตะไลซิส

(TiO₂ nanotubes for treatment of Air Pollution by Photocatalytic Process)

เจ้าของทุน: สำนักงานคณะกรรมการวิจัยแห่งชาติ

ระยะเวลา: พฤศจิกายน 2552 - พฤศจิกายน 2554

หัวหน้าโครงการวิจัย: ดร. อภิชน วัชรนทร์วงศ์

7.2 งานวิจัยที่ทำเสร็จแล้ว

- 1) ชื่อโครงการ: โครงการวิจัยเพื่อพัฒนาฐานข้อมูลสิ่งแวดล้อมของวัสดุพื้นฐานและพลังงานของประเทศ กลุ่มผลิตภัณฑ์การเกษตร กรณีศึกษาข้าว

เจ้าของทุน: ศูนย์เทคโนโลยีและวัสดุแห่งชาติ สำนักงานพัฒนาวิทยาศาสตร์และเทคโนโลยีแห่งชาติ

ระยะเวลา: มกราคม 2552- ธันวาคม 2552

หัวหน้าโครงการวิจัย: ดร. ฉัตรเพชร ยศพล

8. ผลงานวิจัยทั้งหมด

8.1 ผลงานที่ได้รับการตีพิมพ์เผยแพร่ในวารสาร

- 1) **A. Watcharenwong**, W. Chanmanee, N. R. de Tacconi, C. R. Chenthamarakshan, P. Kajitvichyanukul, and K. Rajeshwar (2008) Anodic growth of nanoporous WO₃ films: morphology, photoelectrochemical response and photocatalytic activity for methylene blue and hexavalent chrome conversion, *Journal of Electroanalytical Chemistry*, Vol. 612, pp. 112-120.

- 2) **A. Watcharenwong**, W. Chanmanee, N. R. de Tacconi, C. R. Chenthamarakshan, P. Kajitvichyanukul, and K. Rajeshwar (2007) Self-organized TiO₂ nanotube arrays by anodization of Ti substrate: Effect of anodization time, voltage and medium composition on oxide morphology and photoelectrochemical response, *Journal of Materials Research*, Vol. 22, pp. 3186-3195.
- 3) W. Chanmanee, **A. Watcharenwong**, C. R. Chenthamarakshan, P. Kajitvichyanukul, N. R. de Tacconi, K. Rajeshwar (2007) Titania nanotubes from pulse anodization of titanium foils, *Electrochemistry Communications*, Vol. 9, pp. 2145–2149.
- 4) N. R. de Tacconi, C. R. Chenthamarakshan, G. Yogeewaran, **A. Watcharenwong**, R. S. de Zoysa, N. A. Basit and K. Rajeshwar (2006) Nanoporous TiO₂ and WO₃ Films by Anodization of Titanium and Tungsten Substrates: Influence of Process Variables on Morphology and Photoelectrochemical Response, *Journal of Physical Chemistry B*, Vol. 110, pp. 25347-25355.
- 5) P. Kajitvichyanukul, **A. Watcharenwong** (2005) Role of pH, Organic and Inorganic Anions on Photocatalytic Reduction Of Chromium(VI) using TiO₂ and Ultraviolet Light”, *Asean Journal of Science and Technology for Development*, Vol. 22, No. 1&2, pp. 169-179.
- 6) P. Kajitvichyanukul, K. Daramueng, **A. Watcharenwong** (2005) Acid and Alkali Extraction of Trivalent Chromium from Titanium Dioxide Surface, *Songkhlanakarin Journal of Science and Technology*, Vol. 27, No. 2, pp. 47-53.
- 7) P. Kajitvichyanukul, P. Amornchat, **A. Watcharenwong**, J. Ananpattarachai (2005) Structure and Photocatalytic characteristics of TiO₂ Thin Film coated on Stainless Steel for Chromium(VI) Removal Application, *Chiang Mai University Journal*, Vol. 3, pp.79-86.
- 8) P. Kajitvichyanukul, S. Pongpom, **A. Watcharenwong**, J. Ananpattarachai (2005) Effects of Acetyl Acetone on Property of TiO₂ Thin Film for Photocatalytic Reduction of Chromium (VI) from Aqueous Solution, *Chiang Mai University Journal*, Vol. 3, pp. 87-93.

- 9) P. Kajitvichyanukul, **A. Vatcharenwong** (2004) Contradiction Effect of pH on the Photocatalytic Reduction of Chromium(VI) and Thallium(I), *Asean Journal of Science and Technology for Development*, Vol. 21, No.4, pp. 269-280.
- 10) P. Kajitvichyanukul, **A. Vatcharenwong** (2004) Adsorption Behavior of Chromium (VI) on Titanium Dioxide Surface, *Thai Environmental Engineering Journal*, Vol. 18, No. 1, pp. 87-95.

8.2 ผลงานที่ได้รับการตีพิมพ์เผยแพร่ในการประชุมวิชาการ

- 1) **A. Watcharenwong**, S. Tong-un, "Preparation of TiO₂ Nanotubes as Photocatalyst for Carbon Monoxide Removal", In: Proceeding of NanoThailand 2012 "Nanotechnology for the benefits of mankind" April 9-11, Khon Kaen, Thailand, 2012.
- 2) A. Chuensab, **A. Watcharenwong**, "Photocatalytic Performance of Nanoporous WO₃ for Carbon Monoxide Removal", In: Proceedings of International Conference on Chemical, Environmental and Biological Sciences (ICCEBS'2012), Penang, Malaysia, Feb 11-12, 2012.
- 3) A. Chuensab, **A. Watcharenwong**, "Treatment of CO in Photocatalysis process using WO₃", In: Proceedings of the 10th National Environmental Conference, by Environmental Engineering Association of Thailand, Songkhla, Thailand, March, 2011.
- 4) S. Tong-un, **A. Watcharenwong**, "Titanium Dioxide Nanotubes with Treatment of Carbon monoxide", In: Proceedings of the 10th National Environmental Conference, by Environmental Engineering Association of Thailand, Songkhla, Thailand, March, 2011.
- 5) **A. Watcharenwong**, W. Chanmanee, N. R. de Tacconi, C. R. Chenthamarakshan , P. Kajitvichyanukul, K. Rajeshwar, "Effect of pulsing voltage and electrolyte composition on photoelectrochemical response of composite TiO₂-WO₃ nanotubes obtained from pulse anodization using Ti foil", In: Proceedings of the 1st international conference on NanoThailand Symposium 2008 (NTS 2008) November 6 – 8, 2008, Bangkok, Thailand, 2008.
- 6) **A. Watcharenwong**, W. Chanmanee, P. Kajitvichyanukul, C. R. Chenthamarakshan, N. R. de Tacconi, K. Rajeshwar, "Anodic Growth of Nanoporous TiO₂ and WO₃ films:

- Influence of Process Variables on Morphology, Photoelectrochemical response and Photocatalysis applications”, *In: Proceedings of the 2nd international conference on Advances in Petrochemicals and Polymers (ICAPP 2007) June 25 – 28, 2007, Bangkok, Thailand, 2007.*
- 7) K.Rajeshwar, W. Chanmanee, **A. Watcharenwong**, C. R. Chenthamarakshan, P. Kajitvichyanukul, N. R. de Tacconi, “Titania Nanotubes from Pulse Anodization of Titanium foils”, *In: Proceedings of the Twenty-Ninth DOE Solar Photochemistry Research Conference, Airlie Conference Center Warrenton, Virginia, USA, June 10-13, 2007.*
 - 8) P. Kajitvichyanukul, K. Daramueng, **A. Vatcharenwong**, “Acid and Alkali Extraction of Trivalent Chromium from Titanium Dioxide Surface”, *In: Proceedings of the 3rd National Environmental Conference, by Environmental Engineering Association of Thailand, Songkhla, Thailand, January 28-30, 2004.*
 - 9) P. Kajitvichyanukul, **A. Vatcharenwong**, “Role of pH, organic and inorganic ions on the photocatalytic reduction of Chromium (VI) using TiO₂ and ultraviolet light”, *In: Proceedings of ASIAN WATERQUAL2003, IWA Asia-Pacific conference, Thailand, 2003.*
 - 10) P. Kajitvichyanukul, **A. Vatcharenwong**, “Effect Of pH On Dark Adsorption And Photocatalysis Of Chromium(VI) And Thallium(I) In Aqueous Titanium Dioxide Suspension”, *In: Proceedings of An International Conference on Advances in Petrochemicals and Polymers in the New Millennium, Thailand, July 22-25, 2003.*
 - 11) P. Kajitvichyanukul, **A. Vatcharenwong**, “A Study of Adsorption Behavior of Chromium(VI) on Titanium Dioxide Surface”, *In: Proceedings of the 2nd National Environmental Conference, by Environmental Engineering Association of Thailand, Khon Kaen, Thailand, January, 2003.*

ประวัติผู้วิจัย

ผู้ร่วมวิจัย

1. ชื่อ - นามสกุล (ภาษาไทย) นางสาวอานันท์ปภา ชื่นทรัพย์
ชื่อ - นามสกุล (ภาษาอังกฤษ) Miss. Arnanpapha Chuensab
2. เลขหมายบัตรประจำตัวประชาชน 1-1799-0003518-3
3. ตำแหน่งปัจจุบัน นักศึกษา
4. หน่วยงานและสถานที่อยู่ติดต่อได้สะดวก
สาขาวิชาวิศวกรรมสิ่งแวดล้อม
สำนักวิชาวิศวกรรมศาสตร์ มหาวิทยาลัยเทคโนโลยีสุรนารี
111 ถนนมหาวิทยาลัย ตำบลสุรนารี อำเภอเมืองนครราชสีมา
จังหวัดนครราชสีมา 30000
โทรศัพท์/โทรสาร 044-224537/044-224606
E-mail: ananpapha@hotmail.com
5. ประวัติการศึกษา
ปริญญาตรี วิศวกรรมศาสตรบัณฑิต (วิศวกรรมสิ่งแวดล้อม)
มหาวิทยาลัยเทคโนโลยีสุรนารี 2549
6. สาขาวิชาการที่มีความชำนาญพิเศษ
Environmental engineering
Nano-material preparations
Photocatalysis process for treatment air pollution
7. ประสบการณ์ที่เกี่ยวข้องกับงานวิจัย
 - 7.1 งานวิจัยที่กำลังทำ
 - 1) ชื่อโครงการ: นาโนไททาเนียมไดออกไซด์รูปท่อกับการบำบัดก๊าซมลพิษโดยใน
ปฏิกิริยาโฟโตคะตะไลซิส
(TiO₂ nanotubes for treatment of Air Pollution by Photocatalytic Process)
เจ้าของทุน: สำนักงานคณะกรรมการวิจัยแห่งชาติ
ระยะเวลา: พฤศจิกายน 2552 - พฤศจิกายน 2554
หัวหน้าโครงการวิจัย: ดร. อภิชน วัชรเรนทร์วงศ์

8. ผลงานวิจัยทั้งหมด

8.1 ผลงานที่ได้รับการตีพิมพ์เผยแพร่ในการประชุมวิชาการ

- 1) **A. Chuensab**, A. Watcharenwong, “Photocatalytic Performance of Nanoporous WO_3 for Carbon Monoxide Removal”, *In: Proceedings of International Conference on Chemical, Environmental and Biological Sciences (ICCEBS'2012)*, Penang, Malaysia, Feb 11-12, 2012.
- 2) **A. Chuensab**, A. Watcharenwong, “Treatment of CO in Photocatalysis process using WO_3 ”, *In: Proceedings of the 10th National Environmental Conference*, by Environmental Engineering Association of Thailand, Songkhla, Thailand, March, 2011.

